

552  
A 50

104

А.ГАЛИЕВ А.В.МИНЗБЕРГ  
А.А.НИКОЛАЕВА

КОЛЛЕКТОРСКИЕ СВОЙСТВА  
ПОРОД КИРМАКИНСКОЙ СВИТЫ  
АПШЕРОНСКОГО ПОЛУОСТРОВА

АЗЕРБАЙЧАН ССР ЭЛМЛЭР АКАДЕМИЯСЫ  
Нефт экспедициясы

АКАДЕМИЯ НАУК АЗЕРБАЙДЖАНСКОЙ ССР  
Нефтяная экспедиция

А. Г. АЛИЕВ, Л. В. МИНЗБЕРГ, Л. А. НИКОЛАЕВА

А. Г. АЛИЕВ, Л. В. МИНЗБЕРГ, Л. А. НИКОЛАЕВА

АБШЕРОН ЯРЫМАДАСЫ КИРМАКИ  
ЛАЙ ДЭСТЭСИ СҮХУРЛАРЫНЫН  
КОЛЛЕКТОР ХҮССҮСИЙЙЭТЛЭРИ

КОЛЛЕКТОРСКИЕ СВОЙСТВА  
ПОРОД КИРМАКИНСКОЙ СВИТЫ  
АПШЕРОНСКОГО ПОЛУОСТРОВА

9464

АЗЕРБАЙЧАН ССР ЭЛМЛЭР АКАДЕМИЯСЫ НЭШРИЙЯТЫ  
Бакы — 1956

ИЗДАТЕЛЬСТВО АКАДЕМИИ НАУК АЗЕРБАЙДЖАНСКОЙ ССР  
Баку — 1956

Редактор **Г. А. Ахмедов**

## ПРЕДИСЛОВИЕ

Изучение пород коллекторов кирмакинской свиты Апшеронского полуострова началось одновременно с ее разработкой.

В первый период работы шло накопление фактического материала, главным образом, по гранулометрическому составу и пористости коллекторов.

Первая систематизация и обработка накопленного материала была произведена Э. А. Прозоровичем [10]. Его работа „Пористость и механический состав песков и песчаников промысловых площадей Апшеронского полуострова“, вышедшая в 1935 г., подводит итог лабораторных исследований, проводившихся выше трех лет в АзНИИ. В ней приводятся данные о пористости и гранулометрическом составе пород коллекторов КС с выделением средних значений этих констант для отдельных месторождений Апшеронского полуострова без расчленения свиты на отдельные объекты.

Более планомерное изучение пористости и гранулометрического состава пород коллекторов продуктивной толщи, в том числе и кирмакинской свиты, было проведено в период 1933—1938 гг. в АзНИИ и лабораториях нефтепромысловых управлений. Накопленный к этому сроку весь фактический материал был в 1939 г. систематизирован Н. З. Балицкой.

В 1936 г. Ф. А. Требиным в алятской лаборатории впервые в Азербайджане было начато изучение проницаемости пород коллекторов продуктивной толщи. Это положило начало широкому исследованию нефтеносных отложений с точки зрения их эксплуатационной характеристики.

С 1939 г. подобные же исследования для разрабатываемых промысловых площадей начали практиковаться в АзНИИ ДН В. М. Барышевым, Б. А. Шапиро и П. М. Устиновым. В том же году М. Л. Нуткин в лаборатории нефтепромыслового управления „Сталиннефть“ провела детальное изучение коллекторов кирмакинской свиты Бибиэйбата и дала классификацию коллекторов, обосновав выбор объектов эксплуатации. В 1941 г. В. М. Барышевым изучены коллекторские свойства пород кирмакинской свиты Кирмакинской долины, о-ва Артема и др. Большая работа по изучению коллекторов по разрезам обнажений кирмакинской свиты на дневной поверхности в районах Коби, Кейреки-

шора, Кирмакинской долины и о-ва Артема была проделана в 1944—1946 гг. С. Г. Мовсесяном. Однако отсутствие данных, касающихся эксплуатируемых месторождений Апшеронского полуострова, снижает практическую значимость этой работы.

Необходимо упомянуть и о глубоком изучении коллекторских свойств пород продуктивной толщи Азербайджана А. А. Ахмедовым, Ж. Е. Арутюновой. В своей работе они приводят данные об эффективной пористости и проницаемости пород кирмакинской свиты ряда районов Апшеронского полуострова. Скудный перечень проведенных работ по изучению коллекторских свойств пород кирмакинской свиты показывает, что этому вопросу со стороны научно-исследовательских учреждений не уделялось должного внимания. Между тем, в повседневной практике по нефтедобыче в промысловых управлениях Министерства нефтяной промышленности Азербайджана значительно ощущается отсутствие сводных данных по физическим свойствам коллекторов, в особенности по кирмакинской свите.

В связи со сказанным, в данной работе обобщены и сведены все накопленные к настоящему времени данные по изучению коллекторских свойств пород кирмакинской свиты Апшеронского полуострова. В ней освещаются изменения параметров коллекторов по разрезам и по площади для каждого месторождения, даются средние значения их для отдельных эксплуатируемых объектов и для отдельных площадей по принятой к настоящему времени стратиграфической разбивке разреза кирмакинской свиты.) Кроме того, устанавливаются аналитические зависимости между отдельными физическими константами, облегчающие применение выводов данной работы промысловой практике.

При исследовании коллекторских свойств пород КС авторы руководствовались следующей давно укоренившейся в промысловой практике методикой.

1. Гранулометрический состав устанавливался по седиментационно- ситовой методике без обработки образца соляной кислотой и с разделением его на четыре фракции.

Фракция	$> 0,25$	мм
"	0,25—0,1	"
"	0,1—0,01	"
"	$< 0,01$	"

2. Пористость определялась весовым методом проф. И. А. Преображенского.

3. Карбонатность (содержание  $\text{CaCO}_3$ )—по методу Кларка.

4. Проницаемость—на аппарате ЛП—I;

5. Классификация песчаных и алевритовых пород производилась по классификационному треугольнику Л. В. Пустовалова.

Все исследованные образцы подвергались предварительному экспресс-тестированию четыреххлористым углеродом в аппарате Сокслета. Определения пористости и проницаемости производились по образцам с испорченной структурой.

При выполнении работы большую помощь оказывал старший научный сотрудник Нефтяной экспедиции В. М. Барышев, при участии которого была собрана и систематизирована значительная часть аналитического материала, за что приносим ему благодарность.

Выражаем также благодарность М. В. Дудиной и Н. И. Оборотовой за помощь в лабораторной обработке материалов.

## ВВЕДЕНИЕ

Изучение коллекторов—один из кардинальных вопросов, связанных с разработкой нефтяных месторождений, приобрел особую актуальность в связи с широким внедрением вторичных методов добычи нефти. Отсюда вытекает необходимость самого детального исследования пород коллекторов всех разрабатываемых нефтяных объектов. Для кирмакинской свиты Апшеронского полуострова этот вопрос становится тем более важным, если учесть большую фациальную изменчивость ее коллекторов как по разрезу, так и по площади, что сильно затрудняет параллелизацию разрезов этой свиты и выделение в ней отдельных эксплуатационных объектов.

В настоящей работе авторы ставят перед собой задачу дать по имеющимся фактическим материалам характеристику пород кирмакинской свиты Апшеронского полуострова с точки зрения их коллекторских свойств. Под последними нами подразумевается комплекс свойств, характеризующий коллекторы с эксплуатационной точки зрения. Сюда, в частности, входят такие константы, как гранулометрический состав, содержание  $\text{CaCO}_3$  (показатель степени цементации наравне с содержанием фракции  $<0,01 \text{ м.м.}$ ), пористость и проницаемость, по которым мы располагали довольно большим количеством первичных данных, позволяющих делать те или иные выводы. Эти данные, значительная часть которых была накоплена в геологических отделах нефтепромысловых управлений, центральных научно-исследовательских лабораториях, а также в АзНИИ ДН были дополнены значительным количеством новых исследований Нефтяной экспедиции АН Азерб. ССР, проведенными в период 1952–1955 гг.

К коллекторским свойствам относятся также предложенные П. П. Андусиным и М. А. Цветковой [1] показатели: эффективная пористость  $\Pi$ , и гидравлический коэффициент —  $\phi$ , являющиеся наравне с проницаемостью важным критерием для установления промышленной ценности коллекторов.

По значению эффективной пористости —  $\Pi_9$ , авторы этого метода разбивают все коллекторы на 5 классов: A, B, C, D и E.

А--20      |    Коллекторы большой емкости  
 В--15--20    |

C-10-15 } Коллекторы средней емкости  
 D-5-10 }  
 E-5        Коллекторы малой емкости.

Каждый из пяти классов, в зависимости от степени сложности строения поровых каналов, по величине  $\phi$  разбивается на 3 группы:

- поровых каналов, допускающие значительные скорости ( $\phi > 0,025$ );  
 2. Коллекторы с посредственными фильтрующими свойствами ( $\phi = 0,010 - 0,025$ ).  
 3. Коллекторы, характеризующиеся сложной структурой поровых пространств ( $\phi < 0,010$ ).

Однако, несмотря на определенное значение этих показателей, для всесторонней оценки пород коллекторов кирмакинской свиты мы не имеем исчерпывающих данных о величинах  $\Pi_3$  и  $\Phi$  для всех промышленных площадей Апшеронского полуострова.

Данные же, содержащиеся в настоящей работе об эффективной пористости и гидравлических коэффициентах для ряда площадей (о-в Артема о-в Жилой, Кирмакинская долина и Чахнагляр), были любезно предоставлены в наше распоряжение Г. А. Ахмедовым и Ж. Е. Арутюновой.

Фактический материал, легший в основу нашего исследования, является результатом анализа 2989 образцов, из которых 2311 взяты по скважинам эксплуатационного и разведочного бурения и 678—из естественных обнажений кирмакинской свиты. Неполнота и некоторая бессистемность фактического материала не могли не отразиться на сделанных выводах. По мере получения новых данных эти выводы должны корректироваться. В работе освещены данные по коллекциям КС месторождений: Балахано—Сабунчино—Раманинского, Суралханского, Бузовинского, Бибийбатского, Калинского, о-ва Артема, Чахыаглярского, Бинагадинского, Сулутепинского и Кирмакинского, а из естественных обнажений—по районам: Коби, Кейрекишор, Кирмакинская долина и о-в Артема (рис. 1).

Гранулометрический состав изучен по 2537 образцам, карбонатность—по 2330, пористость—по 2476 и проницаемость по—1311.

При характеристике фактического материала мы исходили из следующего:

1. Образцы, содержащие больше 50 % фракции  $<0,01 \text{ мм}$  не учитывались, так как они, будучи отнесенными к глинам без значительной примеси песчаного и алевритового материала, заведомо не могли рассматриваться как коллектора.
  2. При большом содержании фракции  $<0,01 \text{ мм}$ , что отличает коллектора кирмакинской свиты, количество  $\text{CaCO}_3$ , превышающее 30 %, придает мелкообломочной породе мергельный характер.
  3. При определении проницаемости учитывалась ориентировка образцов относительно напластования. Наибольший практический инте-



Рис. 1

рес представляет определение проницаемости при такой ориентировке, при которой поток воздуха в исследуемом образце соответствует потоку жидкости в разрабатываемом пласте. Известно, что при решении различного рода теоретических и практических вопросов может возникнуть необходимость в данных о проницаемости пласта в направлении, перпендикулярном напластованию. В связи с этим проницаемость коллекторов кирмакинской свиты определялась как параллельно напластованию (преимущественно), так и в перпендикулярном направлении, если допускали размеры образцов. Подобному исследованию, в частности, подвергались образцы из Кирмакинской долины.

Так как для установления степени проницаемости требуются особые условия (сохранение естественной структуры породы в процессе бурения, отсутствие проникновения глинистого раствора, достаточные размеры образца и т. д.), которым удовлетворяют далеко не все образцы, отбираемые из скважин существующими конструкциями грунтоносов, то, по сравнению с рассмотренными выше константами, проницаемость пород коллекторов КС представлена значительно меньшим количеством определений. К тому же из этого числа были исключены анализы образцов, которые, в силу своей очень низкой проницаемости, не могли рассматриваться как коллектора.

В литературе отсутствуют указания относительно критерия для отнесения пород к практически непроницаемым. Такой критерий не может быть общим для всех месторождений, так как зависит от многих

факторов. Исходя из условий кирмакинской свиты и учитывая характер ее нефти в различных месторождениях Ашхеронского полуострова, мы приняли в качестве параметра для отнесения образцов к практическим непроницаемым, проницаемость ниже 0,01 дарси.

Поскольку проницаемость является одним из решающих факторов для промышленной оценки коллекторов нефти, выработка их классификации по этому показателю представляет большой практический интерес. Один из крайних членов такой классификации является порода с проницаемостью 0,01 дарси, т. е. фактически непроницаемая. Другой крайний член может быть определен на основании уже изученных пород как с точки зрения коллекторских свойств, так и с точки зрения продуктивности. В качестве примера можно привести подкирмакинскую свиту восточного Ашхерона. Судя по многочисленным данным, средняя проницаемость пород коллекторов этой свиты составляет примерно 0,5—1,0 дарси и выше; причем наибольшая добыча, как правило, связана с коллекторами, проницаемостью выше 1,0 дарси. Учитывая, что эта свита на Ашхеронском полуострове характеризуется высокими показателями продуктивности (мощные фонтаны, высокие начальные и текущие дебиты скважин, активное продвижение контурной воды, обусловливающее водонапорный режим в большинстве разрабатываемых объектов и т. д.), можно сказать, что ее коллектора отличаются хорошей проницаемостью. Таким образом, к категории коллекторов с хорошей проницаемостью мы будем относить такие, которые имеют проницаемостью  $> 1,0$  дарси. В соответствии с этим мы принимаем классификацию коллекторов по группам:

- I. Хорошо проницаемые (проницаемость  $> 1,0$  дарси).
- II. Средне проницаемые (от 1,0 до 0,1 дарси).
- III. Слабо проницаемые (от 0,1 до 0,01 дарси).
- IV. Практически непроницаемые ( $< 0,01$  дарси).

Необходимо иметь в виду, что, если исходным материалом являются образцы из скважин, средняя проницаемость, вычисленная для горизонта, может оказаться преуменьшенной против средней фактической проницаемости из-за несовершенства методики отбора образцов из скважин. При выборе колодок хорошо сохраняются обычно только образцы крепких пород: песчаники, алевролиты и другие, обладающие заведомо низкой пористостью и проницаемостью и представляющие сравнительно неблагоприятную часть разреза. При выборе колонки эти породы сохраняют вместе с тем и мощность разреза. С увеличением рыхлости проходимых пород степень их деформации при выборе колонки увеличивается; наиболее рыхлые компоненты разреза за вымываются или, в лучшем случае, пропитываются глинистым раствором. В результате в лаборатории доставляются в состоянии, пригодном для определения проницаемости, преимущественно образцы, представляющие наименее благоприятную часть разреза. Правда, имеющиеся в нашем распоряжении данные, может быть, и не дают исходящие в действительности (учитывая большой объем среды) против действительности (учитывая большой объем среды)

фактического материала), но некоторое преуменьшение все же имеет место. Таким образом, несколько искажается и относительная картина распределения проницаемости пород по мощности и по площади. Что касается каменного материала из выходов кирмакинской свиты на поверхность, то при систематическом и детальном отборе образцов результаты изучения проницаемости отражают сравнительно правильную картину, хотя в абсолютных значениях проницаемости могут быть искажения, благодаря влиянию атмосферных агентов. На этом обстоятельстве остановимся более подробно при оценке коллекторских свойств пород тех и других видов исследования.

## КРАТКАЯ ХАРАКТЕРИСТИКА КИРМАКИНСКОЙ СВИТЫ АПШЕРОНСКОГО ПОЛУОСТРОВА

Кирмакинская свита<sup>1</sup>, по выражению Н. И. Ушайкина, "... отличается таким однообразием и нехарактерностью своих отложений, которые даже для продуктивной толщи Апшеронского полуострова являются исключительными."

По литологическому составу кирмакинская свита представляет однородную серию тонкого чередования песков, алевритов и глин. Песчаные и алевритовые породы выражены серыми, темносерыми и реже светлосерыми разностями; они сильно известковистые и встречаются в виде пропластков (от долей  $мм$  до 20—50 см) в чередовании с другими породами. Глинистые породы КС серые, в выветренном виде—бурые, желто-бурые, сильно песчанистые, плотные, плохо или местами хорошо отмученные, карбонатные.

Кирмакинской свите свойственна резкая литофациальная изменчивость как по разрезу, так и по площади ее распространения. При этом особенно сильно изменяется характер песчаных и алевритовых прослоев, которые по простиранию часто переходят в мелкозернистые разности.

Песчаные и алевритовые породы наиболее свойственны разрезам следующих месторождений: Кирмакинская долина, Балаханы—Сабунчи—Раманы, Бузовны, Кала, о-в Артема.

По гранулометрическому составу песчаные породы алевритистые, а алевритовые разности—глинистые. В разрезах отдельных месторождений часто отмечаются и плохо отсортированные разности пород (хлидолиты).

Состав песчаных и алевритовых пород представлен кварцем (20—80%), полевыми шпатами (20—60 %), глинистыми, кремнистыми и карбонатными обломками (до 40 %); реже встречается вулканическое стекло (до 2 %), глауколит (до 1 %) и др.

Одной из характерных особенностей минералогического состава пород кирмакинской свиты является уменьшение содержания кварца и замещение его полевыми шпатами и обломками пород по направле-

<sup>1</sup> Название свиты дано в 1909 г. П. Е. Воловичем по одноименной долине, расположенной в центральной части Апшеронского п-ва, где она выходит на поверхность.

нию от севера и северо-восточной части Алшеронского полуострова (Лжорат, Кирмакинская долина, Кала), в сторону запада (Ясамальская долина, Локбатан, Пута). Содержание кварца в глинистых породах значительно меньше, чем в песчаных и алевритовых разностях и обычно колеблется в пределах 10—30 %. Породообразующими являются полевые шпаты и минералы группы глин. По данным А. Г. Коссовской [7], среди глин КС отмечаются гидрослюдистые, монтмориллонитовые и ферримонтмориллонитовые разности, причем последние наблюдаются в верхней части разреза.

В тяжелой фракции пород отмечаются аллотигенные и аутигенные разности. Среди аллотигенных минералов могут быть отмечены: магнетит и ильменит (до 50 %), устойчивые минералы (до 10 %) (гранат, циркон, турмалин), биотит (до 5 %), мусковит и хлорит (до 80 %), амфиболы (до 8 %), эпидот и цоизит (до 20 %), дистен (до 4 %), ставролит (до 2 %), титанит (до 1 %). Среди аутигенных разностей отмечаются: пирит (до 50 %), гидроокислы железа (до 70 %), барит (до 2 %), глауконит (до 30 %), доломит (до 40 %) и др.

Песчаные и алевритовые породы наиболее обогащены минералами устойчивой группы, дистеном, ставролитом, тогда как глинистые—слюдой, эпидотом, пиритом и гидроокислом железа.

Мощность кирмакинской свиты в пределах Алшеронского полуострова колеблется в больших пределах: от 0 на западе (район Гездекская мульда) до 3°0 м на востоке. В большинстве промыслового площадей мощность кирмакинской свиты колеблется в сравнительно узких пределах от 230 до 270 м. Большая мощность КС (до 250 м) отмечена также в северо-западной части полуострова (Сумгайт, Джейранбатан).

В западной части Алшерона (Шабандаг, Локбатан, Пута) мощность КС колеблется от 80 до 200—250 м, а в крайних западных пунктах (Караэйбат, Шангар, Гюльбахт) она вообще отсутствует.

Содержание песчаных и алевритовых пород по отношению к мощности свиты КС, по данным И. И. Потапова, близко к 55 %. Наибольшим содержанием этой породы (70—75 %) характеризуются разрезы КС районов Бинагады, Бузовны, Кала и о-в Артема. Для районов Сураханы, Карабухур, Зых, о-в Жилой и Бибиэйбат содержание песчаных и алевритовых пород составляет 50—55 %, а для районов, расположенных в западной части полуострова (Шабандаг, Аташка, Локбатан и Сумгайт) лишь 30—35 % мощности свиты.

Граница распространения кирмакинской свиты проходит через с. Гездек в юго-западном направлении, пересекает Кергез-кызылтепинскую антиклинальную складку и далее, продолжаясь в том же направлении, проходит почти вдоль южного крыла Карадагской складки.

## КОЛЛЕКТОРСКИЕ СВОЙСТВА ПОРОД КИРМАКИНСКОЙ СВИТЫ ПО ДАННЫМ ИССЛЕДОВАНИЯ ОБРАЗЦОВ ИЗ СКВАЖИН

### ПЛОЩАДЬ О-В АРТЕМА

Изучение коллекторских свойств пород кирмакинской свиты площади о-в Артема производилось по двум отдельным участкам—по суше и морю—как по всей свите в целом, так и по каждому ее разделу и горизонту в отдельности (табл. 1 и 2).

В пределах изучаемой площади кирмакинская свита подразделяется на семь горизонтов ( $KC_1$ ,  $KC_2$ ,  $KC_3$ ,  $KC_4$ ,  $KC_{4a}$ ,  $KC_5$  и  $KC_{5a}$ ) и восемь глинистых разделов между ними.

В результате проведенных работ нами накоплен определенный фактический материал, характеризующий коллекторские свойства пород кирмакинской свиты данной площади: по гранулометрическому составу —51 определение, по пористости—39, по проницаемости —17, по карбонатности—2 (см. Приложение, табл. I).

Небольшое количество анализов по пористости и проницаемости затрудняет точное определение наиболее часто встречающихся интервалов значений. По имеющимся данным для пористости как по суше, так и по морю наибольшее число случаев падает на интервал 22—30 % (26 случаев из 39), для проницаемости—на интервал от 1 до 100 миллидарси (9 случаев из 14 по морю).

Среднее значение пористости по всему разрезу КС по суше 25,9 % (по 13 анализам), по морю—27,3 % (по 26 анализам).

Среднее значение проницаемости—100 миллидарси (по 14 анализам).

Для установления зависимости между проницаемостью и содержанием фракций  $<0,01$  мм была построена корреляционная таблица, связывающая эти величины.

Подсчитанный коэффициент корреляции ( $r = -0,982$ ) указывает на наличие тесной связи между приведенными величинами, причем отрицательный знак говорит о том, что зависимость эта обратная. На рис. 2 приводится сглаженная кривая (I) для пород КС рассматриваемой площади<sup>1</sup>.

<sup>1</sup> Сглаживание фактических кривых как по этой площади, так и по другим, производилось по формуле  $Igy = bx + a$

Taoist /

Средние данные о коллекционских свойствах песчаных и алевритовых пород кирмакинской свиты площади о-ва Артема (супса)

Горизонты и разделя	Мощность, м	Гранулометрический состав, %				Капиллярная влажность, mm	Содержание органических веществ, %	Поверхность земельных участков, %	Капиллярная влажность, mm	Содержание органических веществ, %	Поверхность земельных участков, %	Капиллярная влажность, mm	Содержание органических веществ, %	Поверхность земельных участков, %	
		> 0,25	0,25—0,1	0,1—0,01	< 0,01										
KC <sub>1</sub>	25	85	3,4	6,3	59,2	31,1	0,055	—	—	—	—	—	—	—	—
KC <sub>2</sub>	18	110	2	0,2	57,5	41,9	0,035	—	—	—	—	—	—	—	—
KC <sub>3</sub>	38	155	1	0,1	69,2	30,5	0,040	—	—	—	—	—	—	—	—
KC <sub>4</sub>	26	190	1	40,0	31,2	21,5	0,187	—	—	—	—	—	—	—	—
KC <sub>4a</sub>	9	213	2	0,1	1,2	53,7	45,0	0,052	—	—	—	—	—	—	—
KC <sub>4a</sub> — KC <sub>5</sub>	13	226	1	0,1	0,2	62,2	37,5	0,037	—	—	—	—	—	—	—
KC <sub>5</sub>	12	238	1	0,2	0,4	57,9	41,5	0,035	—	—	—	—	—	—	—
KC <sub>5</sub> — KC <sub>6a</sub>	17	255	5	0,7	4,2	56,8	38,3	0,042	—	—	—	—	—	—	—
KC <sub>6a</sub>	12	267	9	3,9	9,9	50,5	35,7	0,060	—	—	—	—	—	—	—
Среднее значение по горизонтам		140	—	17	4,7	7,7	51,9	35,7	0,061	1	7,2	9	25,0	3	0,077
Среднее значение по разделям		131	—	6	0,6	3,6	57,7	38,1	0,040	—	—	4	27,7	—	—
Среднее значение по всей KC		271	23	3,6	6,6	53,5	36,3	0,056	1	7,2	13	25,9	3	0,077	

Таблица 2

Горизонты и разделы	Породы, %	Песчаные	Алевритовые	Песчано-глинистые
Горизонты Разделы		11,8 —	64,7 66,7	23,5 33,3
Среднее значение по всей КС		8,7	65,2	26,1

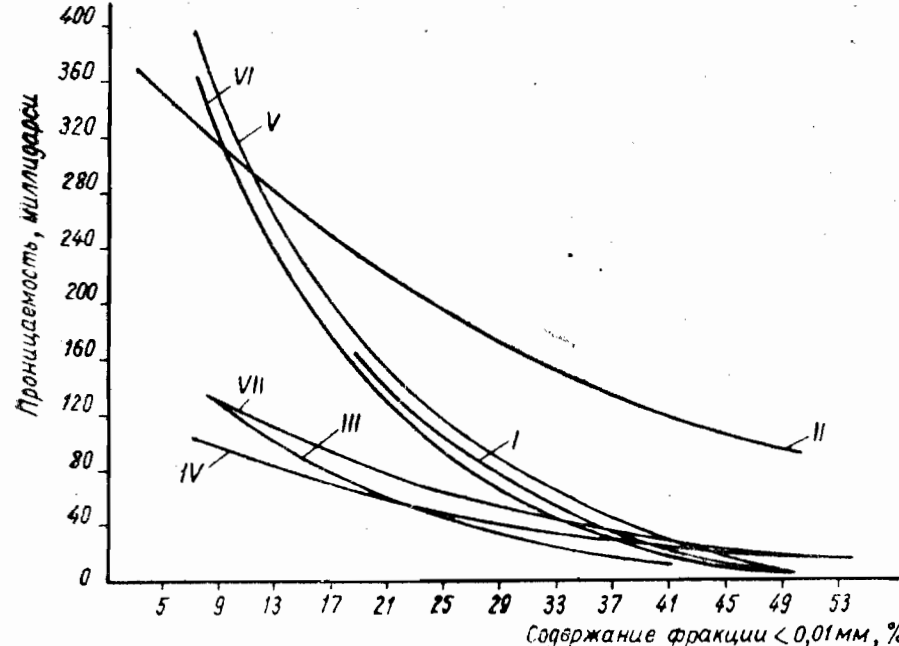


Рис. 2

Зависимость между проницаемостью ( $K$ ) и содержанием фракции  $< 0,01 \text{ мкм}$   
для пород коллекторов кирмакинской свиты Апшеронского полуострова.  
I о-в Артема; II Бузовны; III Кала; IV Сураханы; V Балаханы—Сабунчи—  
Раманы; VI Бибизейбат; VII Бинагады, Чахнагляр, Сулутепе

## Характеристика пород коллекторов площади о-в Артема (суша)

Как видно из таблицы 1, средний гранулометрический состав пород кирмакинской свиты (в %) следующий:

Фракция > 0,25 <i>мм</i>	-3,6
" 0,25-0,1 <i>мм</i>	-6,6
" 0,1 -0,01 <i>мм</i>	-53,5
" <0,01 <i>мм</i>	-36,3

Таблица 3

Средние данные о коллекторских свойствах песчаных и алевритовых пород кирмакинской свиты площади о-в Артема (море)

Горизонты и разделы	Мощность, м	Гранулометрический состав, %			Гранулометрический состав, %
		>0,25 м.м.	0,25—0,1 м.м.	0,1—0,01 м.м.	
KC <sub>1</sub>	20	85	3	0,1	8,2
KC <sub>2</sub>	33	124	1	0,4	1,9
KC <sub>3</sub>	21	147	10	0,1	1,6
KC <sub>4</sub> —KC <sub>4a</sub>	4	208	3	0,2	3,5
KC <sub>5</sub>	13	221	1	0,4	15,2
KC <sub>5</sub> —KC <sub>5a</sub>	10	239	3	0,6	15,7
KC <sub>5a</sub>	8	247	1	0,2	14,7
	16	263	6	0,3	4,9
Среднее значение по горизонтам	146	—	24	0,2	5,6
Среднее значение по разделям	121	—	4	0,2	6,3
Среднее значение по всей KC	267	—	28	0,2	5,7
					60,3
					33,9
					0,050
					1
					0,042
					0,037
					0,053
					0,042
					0,063
					0,058
					0,060
					0,044
					1
					10,4
					6
					26,7
					3
					0,087
					0,153
					0,101

Коллекторы кирмакинской свиты этой площади представлены, в основном, алевритами (65,2%). Песчаные разности по горизонтам составляют 11,8%, песчано-глинистые—23,5%. В разделах песчаные разности отсутствуют, а песчано-глинистые не превышают—33,3% (табл.2).

В песчаных и алевритовых породах на долю кварца приходится 60—80%; обломки кремнистых, глинистых, карбонатных пород составляют 10—20%, полевые шпаты и другие минералы—5—10%; цемент—глинистый, известковисто-глинистый, редко известковистый.

Размер средневзвешенного диаметра зерен по горизонтам 0,061 м.м., по разделам—0,040, а по всему разрезу KC—0,056 м.м<sup>1</sup>.

Величина пористости (см. Приложение, табл. 1) по всему разрезу кирмакинской свиты колеблется от 21,1 до 28,6%.

Среднее значение пористости пород (%) по горизонтам KC—25,0 (по 9 анализам), по разделам KC—27,7 (по 4 анализам) и по всему разрезу—25,9 (по 13 анализам).

#### Характеристика пород коллекторов площади о-в Артема (море)

Как видно из таблицы 3, средний гранулометрический состав пород кирмакинской свиты в морской части площади (%) следующий:

Фракция > 0,25 м.м	—0,2
“ 0,25—0,1 м.м	—5,7
“ 0,1—0,01 м.м	—60,2
“ 0,01 м.м	—33,9

Средняя величина средневзвешенного диаметра зерен по всему разрезу KC равна 0,050 м.м.

Коллекторы представлены в основном алевритами (92,9%); песчано-глинистые разности составляют—3,5%, (табл.4).

Таблица 4

Подсвиты	Породы, %	Плохо отсортированные		Песчано-глинистые
		Алевритовые	Средне-глинистые	
Горизонты KC <sub>1</sub> —KC <sub>5a</sub> Разделы между горизонтами	4,2	—	91,6 100,00	4,2
Среднее значение по всей KC	3,6	92,9	—	3,5

По петрографическому составу песчаные и алевритовые породы отнесены к полимиктовым разностям. Кварца содержится до 75—80%, полевых шпатов—до 10% и обломков пород—15—20%.

Средневзвешенный диаметр частиц вычислялся по формуле  

$$d_{cp} = \frac{0,3 \cdot I \text{ фр. \%} + 0,175 \cdot II \text{ фр. \%} + 0,055 \cdot III \text{ фр. \%} + 0,005 \cdot IV \text{ фр. \%}}{100}$$

Величина пористости продколлекторов по всему разрезу КС колеблется от 20,8 до 31,5% (см. Приложение, табл. I). Среднее значение пористости пород (в %) по горизонтам—26,4 (22 анализа) по разделам—29,1 (4 анализа), а по всему разрезу—27,3 (26 анализов).

Величина проницаемости по всему разрезу КС колеблется от 28 до 150 **миллидарси** (см. Приложение, табл. I) и в среднем составляет 100 **миллидарси** (14 анализов).

### ПЛОЩАДЬ БУЗОВНЫ

Коллекторские свойства пород кирмакинской свиты площади Бузовны изучались как по всему разрезу в целом, так и по каждому его горизонту в отдельности (табл. 5).

По этой площади, где кирмакинская свита подразделяется на две-надцать горизонтов— $KC_1-KC_{12}$ , мы располагаем следующими данными, характеризующими коллекторские свойства пород.

По гранулометрическому составу 536 определений, по карбонатности пород—772, по пористости—532, по проницаемости—323.

В результате проделанной работы получены сведения о породах коллекторов всего месторождения в целом (см. Приложение, табл. II).

На основании данных, приведенных в таблице, составлен разрез, характеризующий гранулометрический состав, карбонатность, пористость и проницаемость пород кирмакинской свиты (рис. 3).

В таблицах 6, 7 и 8 приводится распределение величин карбонатности, пористости и проницаемости по интервалам их значений.

Среднее значение величины карбонатности пород на основании 772 анализов для всего разреза кирмакинской свиты равно 11,1%.

По пористости пород наибольшее число случаев приходится на интервал от 20 до 30%, а среднее значение ее для всей кирмакинской свиты составляет 24,8% (по 532 анализам).

Наиболее характерным для величин проницаемости пород как по верхам, так и по низам КС является интервал со значением проницаемости от 1 до 200 **миллидарси**.

Среднее значение проницаемости пород по данным 323 определений для всего разреза кирмакинской свиты равно 269 **миллидарси**.

Коллекторы кирмакинской свиты состоят, в основном, из алевритов; песчаные и глинистые разности почти не отмечаются, а плохо отсортированные разности (хлидолиты) присутствуют крайне редко (рис. 4 *a, б*).

В таблице 9 приводятся процентные соотношения указанных разностей пород по верхам и низам кирмакинской свиты.

Из этой таблицы следует, что в низах кирмакинской свиты содержание песков сильно возрастает за счет уменьшения алевритов и песчаноглинистых разностей.

По гранулометрическому составу (табл. 5) породы коллектора кирмакинской свиты площади Бузовны в целом характеризуются следующими средними значениями (в %):

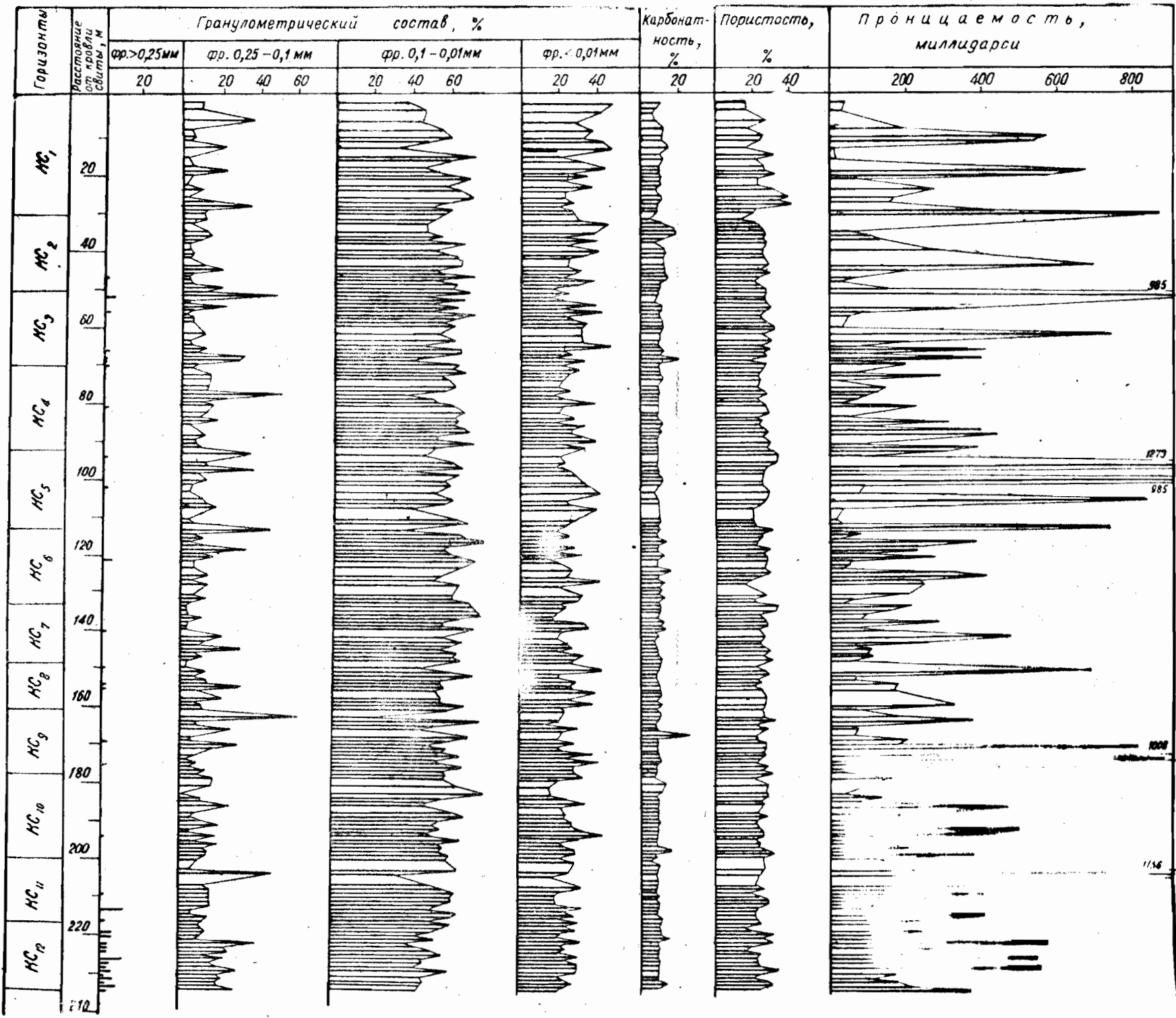


Рис. 3  
Коллекторские свойства пород кирмакинской свиты площади Бузовы

Cette technique d'analyse de la géométrie topographique et géochimique a été développée pour aider à la caractérisation des zones minérales.

Tagauya 5

Таблица 6

Поминарвальные значения карбонатности пород коллектиров кирмакинской свиты площади Бузовны

Горизонты	Интервалы значений карбонатности, %										Среднее значение карбонатности, %	
	1—6	7—11	12—16	17—19	19—21	21—23	23—25	25—27	27—29	29—31	31—33	
	Число срезов										Общее число анализов	
Верхн KC1-6 Низы KC7-12	12 50	47 111	140 125	92 69	30 30	13 12	4 3	3 2	2 2	3 2	— —	1 1
KC1-12	62	158	265	161	60	25	16	6	6	2	5	2

Таблица 7

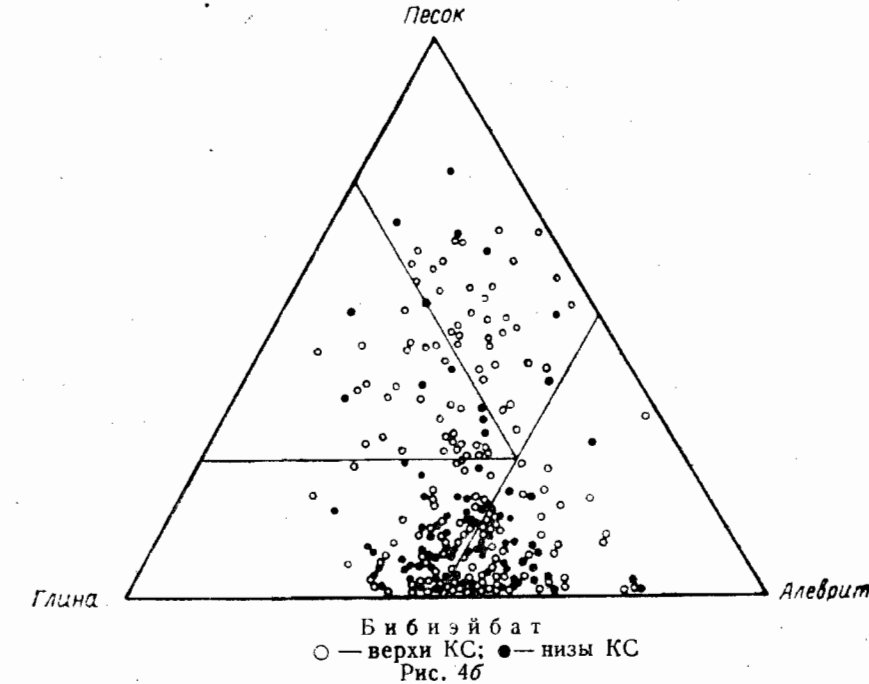
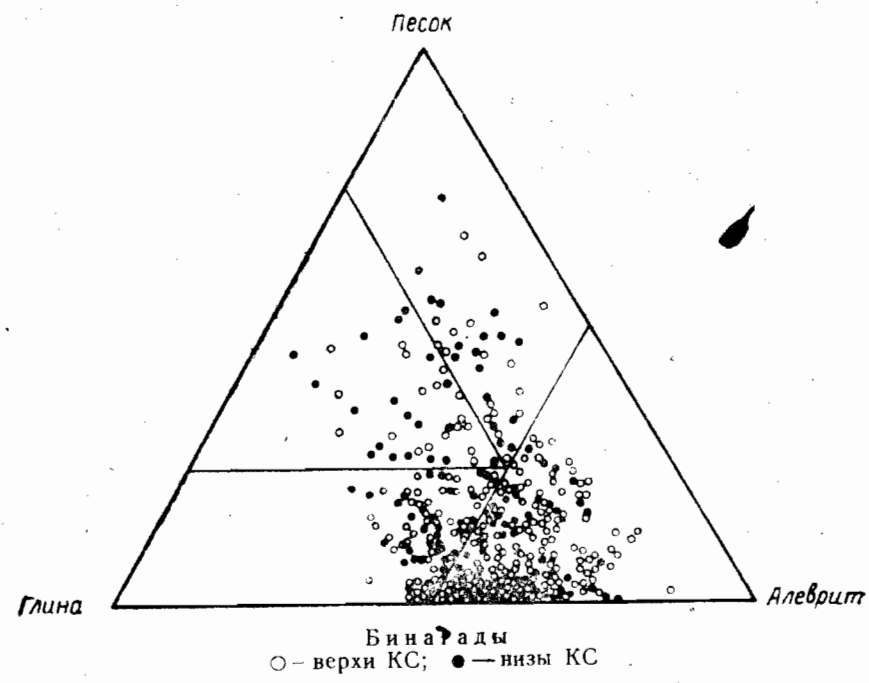
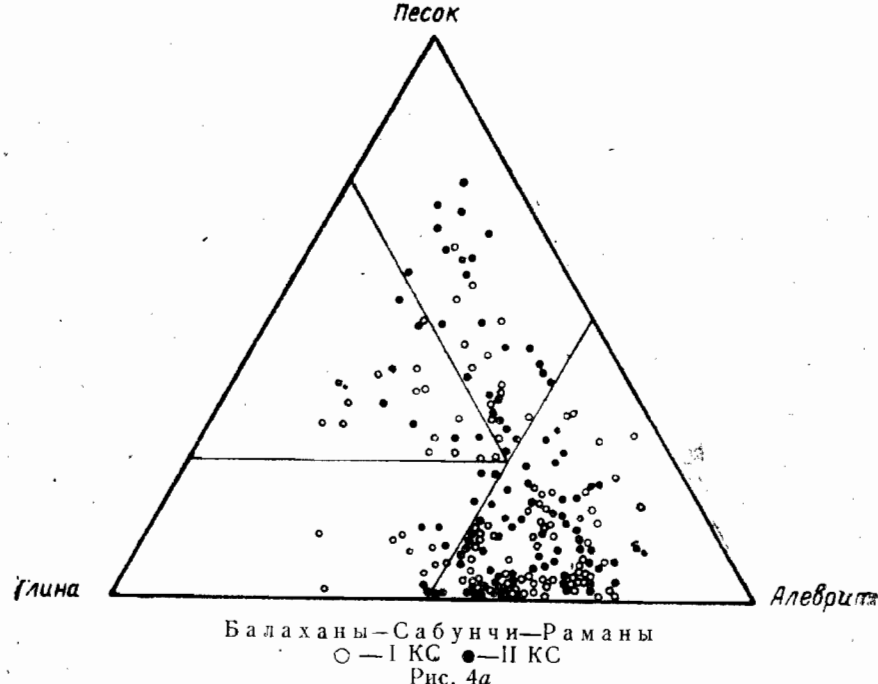
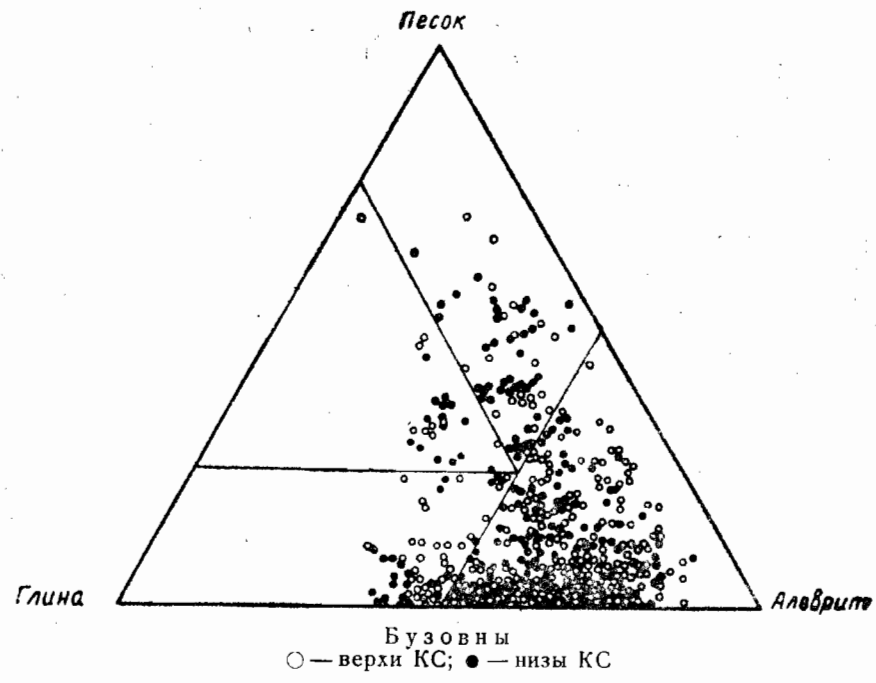
Поминарвальные значения пористости пород коллектиров кирмакинской свиты площади Бузовны

Горизонты	Интервалы значений пористости, %										Среднее значение пористости, %	
	12—14	14—16	16—18	18—20	20—22	22—24	24—26	26—28	28—30	30—32	32—34	Общее число анализов
	Число срезов										Число анализов	
Верхн KC1-6 Низы KC7-12	5 13	5 8	5 10	16 15	27 32	41 29	44 35	57 38	50 37	10 14	7 20	261 271
KC1-12	18	13	15	25	59	70	99	95	87	24	27	532

Таблица 8

Поминарвальные значения проницаемости пород коллектиров кирмакинской свиты площади Бузовны

Горизонты	Интервалы значений проницаемости, миллидарси										Среднее значение проницаемости, дактрии									
	1—50	50—100	100—150	150—200	200—250	250—300	300—350	350—400	400—450	450—500	500—550	550—600	600—650	650—700	700—750	750—800	800—850	850—900	900—950	950—1000
	Число срезов										Число срезов									
Верхн KC1-6	44	20	14	16	10	12	4	6	5	2	.5	1	1	4	1	1	2	1	—	5
Низы KC7-12	52	20	21	20	6	7	7	5	2	4	3	2	3	4	1	2	1	1	1	154
KC1-12	96	40	35	36	16	19	11	11	7	6	8	3	4	8	2	3	3	2	1	12



Средневзвешенный диаметр зерен в среднем по верхам кирмакинской свиты—0,057  $\text{мм}$ , по низам—0,064  $\text{мм}$ .

По минералогическому составу коллекторы в основном кварцевые; содержание кварца в них колеблется в пределах 40—75%, составляя в среднем, примерно, 60%. Полевых шпатов 3—8%; остальная часть представлена обломками пород и минералов тяжелой фракции. Цемент песчаных и алевритовых пород глинисто-известковистый.

Таблица 9

Горизонты	Породы, %	Плохо отсортированные	Песчаные	Алевритовые	Песчано-глинистые	Средн. значение фрак. < 0,01 мм											
						5	9	13	17	21	25	29	33	37	41	45	49
Верхи КС <sub>1</sub> —КС <sub>6</sub>	2,8	6,8	77,3	13,1													
Низы КС <sub>1</sub> —КС <sub>12</sub>	6,7	17,6	66,5	9,2													
Среднее значение по всей КС	4,8	12,5	71,7	11,0													
Фракция > 0,25 $\text{мм}$			—1,2														
“ 0,25—0,1 $\text{мм}$			—13,5														
“ 0,1—0,01 $\text{мм}$			—58,0														
“ < 0,01 $\text{мм}$			—27,3														

Содержание  $\text{CaCO}_3$  по всему разрезу КС колеблется от 6,0 до 18,1% (см. Приложение, табл. II).

В среднем содержание  $\text{CaCO}_3$  для пород верхов КС (в %) составляет 11,3 (348 анализов), для низов—10,9 (424 анализа) и для всей свиты—11,1 (772 анализа).

Пористость пород по всему разрезу кирмакинской свиты колеблется от 10 до 32,8% (см. Приложение, табл. II).

В среднем значение пористости пород для верхов КС (в %) составляет 25,1 (261 анализ), для низов—24,0 (271 анализ) и для всей КС—24,8 (532 анализа).

По разрезу кирмакинской свиты значение проницаемости пород колеблется от 10 до 985 **миллидарси**.

В среднем величина проницаемости пород (в **миллидарси**) для верхов КС—243 (154 анализа), для низов—292 (169 анализов) и для всей КС—269 (353 анализа).

Для установления зависимости между проницаемостью, с одной стороны, карбонатностью и содержанием фракции < 0,01  $\text{мм}$ —с другой, были построены корреляционные таблицы, связывающие указанные величины.

Было установлено, что между проницаемостью и карбонатностью зависимость отсутствует.

Относительно тесная связь оказалась между проницаемостью и содержанием фракции < 0,01  $\text{мм}$  (рис. 5) ( $r = -0,352$ ). На рис. 2 пред-

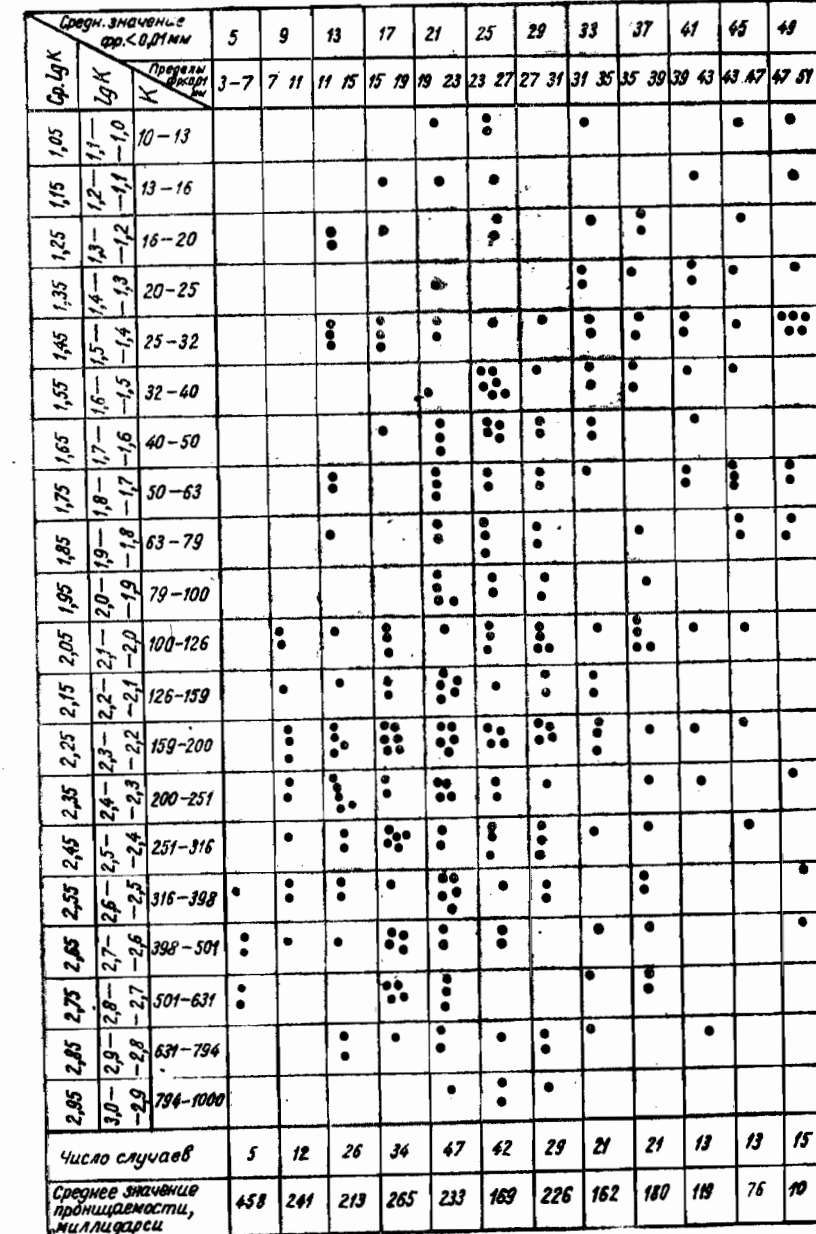


Рис. 5

Корреляционная таблица проницаемости (К)—содержания фракции < 0,01  $\text{мм}$  для пород коллекторов кирмакинской свиты площа́ди Бузовны

ставлена сглаженная кривая (II) зависимости между проницаемостью и содержанием фракции  $\leq 0,01 \text{ mm}$ .

### ПЛОЩАДЬ КАЛА

По площади Кала располагаем следующими данными, характеризующими коллекторские свойства пород кирмакинской свиты.

По гранулометрическому составу 70 определений, по карбонатности—68, по пористости—63, по проницаемости—43.

В пределах описываемой площади кирмакинская свита подразделяется на 6 горизонтов—KC<sub>1-2</sub>, KC<sub>5-6</sub>, KC<sub>3-4</sub>, KC<sub>7-8</sub>, KC<sub>9-10</sub> и KC<sub>11-12</sub>.

Коллекторские свойства пород кирмакинской свиты изучались как по всей свите в целом, так и по каждому ее горизонту в отдельности (табл. 10).

В результате проделанной работы получены данные, характеризующие коллекторские свойства пород по всему разрезу кирмакинской свиты (см. Приложение, табл. III).

Карбонатность пород по всему разрезу кирмакинской свиты этой площади характеризуется содержанием CaCO<sub>3</sub> от 7 до 15%. Среднее значение карбонатности для всего разреза КС равно 11,5% (68 анализов). Наибольшее число случаев приходится на интервал со значением пористости от 20 до 26%. Среднее значение пористости по всему разрезу КС—23,3% (63 анализа).

Подавляющее число случаев величин проницаемости пород коллекторов КС приходится на интервал со значениями от 1 до 100 миллидарси (33 случая из 43).

Коллекторы кирмакинской свиты представлены в основном алевритами—90,0%; другие разности пород отмечаются редко (плохо отсортированные—1,4%, песчаные—8,6%).

Минералогический состав песчаных и алевритовых пород на площадях Кала и Бузовны очень схож.

Средний гранулометрический состав пород коллекторов кирмакинской свиты площади Кала (в %) следующий:

Фракция $\geq 0,25 \text{ mm}$	—1,4
$0,25-0,1 \text{ mm}$	—9,1
$0,1-0,01 \text{ mm}$	—68,2
$< 0,01 \text{ mm}$	—21,3

Средневзвешенный диаметр зерен в среднем—0,059 mm.

Пористость пород коллекторов по всему разрезу кирмакинской свиты колеблется от 4 до 32,1% (см. Приложение, табл. III) и среднее значение ее для всей КС составляет 23,3% (63 анализа).

По всему разрезу кирмакинской свиты значение проницаемости пород колеблется от 12 до 616 миллидарси (см. Приложение, табл. III).

В среднем значение проницаемости пород для всей КС 0,101 дарси (43 анализа).

Для выявления зависимости проницаемости от фракции  $< 0,01 \text{ mm}$  была построена корреляционная таблица, при этом  $r^1 = -0,435$ . На

<sup>1</sup> Коэффициент корреляции.

Таблица 10

Средние данные о коллекторских свойствах песчаных и алевритовых пород кирмакинской свиты площади Кала

Горизонты и разделы	Гранулометрический состав, %	0,1—0,01 mm						0,01 mm						Карбонатные зерна, массовая доля, %						Иногда харисоб						Иногда харисоб						Иногда харисоб						Проницаемость, дарси					
		0,25 mm	0,25—0,1 mm	0,1—0,01 mm	0,01 mm	0,01—0,001 mm	< 0,0001 mm	0,25 mm	0,25—0,1 mm	0,1—0,01 mm	0,01 mm	0,01—0,001 mm	< 0,0001 mm	0,25 mm	0,25—0,1 mm	0,1—0,01 mm	0,01 mm	0,01—0,001 mm	< 0,0001 mm	0,25 mm	0,25—0,1 mm	0,1—0,01 mm	0,01 mm	0,01—0,001 mm	< 0,0001 mm	0,25 mm	0,25—0,1 mm	0,1—0,01 mm	0,01 mm	0,01—0,001 mm	< 0,0001 mm	0,25 mm	0,25—0,1 mm	0,1—0,01 mm	0,01 mm	0,01—0,001 mm	< 0,0001 mm						
KC <sub>1-2</sub>	38	38	20	3,4	7,6	67,5	21,5	0,064	19	12,8	15	24,6	14	0,105																													
KC <sub>3-4</sub>	49	87	7	0,1	1,6	71,2	27,1	0,045	7	12,2	6	21,1	5	0,043																													
KC <sub>5-6</sub>	41	128	18	0,1	6,6	74,7	18,6	0,054	18	12,6	18	9,5	7	22,9	16	0,060																											
KC <sub>7-8</sub>	31	159	7	0,2	5,3	74,8	19,7	0,052	6	9,5	7	24,4	2	0,056																													
KC <sub>9-10</sub>	31	190	9	0,1	2,6	70,2	27,1	0,045	9	8,6	4	25,5	1	0,027																													
KC <sub>11-12</sub>	30	220	9	3,3	32,6	47,4	16,7	0,095	9	10,1	9	20,9	5	0,315																													
Среднее значение по всей	220	220	70	1,4	9,1	68,2	21,3	0,059	68	11,5	63	23,3	43	0,101																													

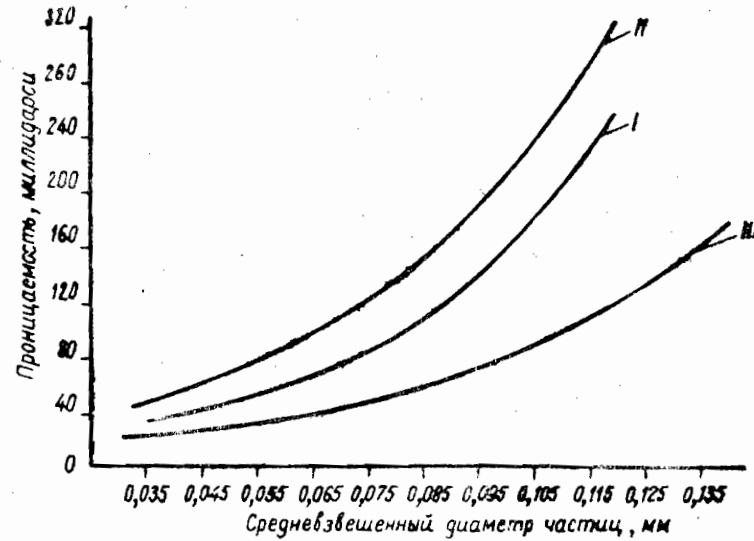


Рис. 6

Зависимость между проницаемостью ( $K$ ) и средневзвешенным диаметром частиц ( $d_{cp}$ ) для пород коллекторов кирмакинской свиты Ашшеронского полуострова.

I Кала; II Балаханы—Сабунчи—Раманы; III Бибиэйбат

рис. 2 дается сглаженная кривая (III) зависимости между содержанием фракции  $< 0,01 \text{ мкм}$  и проницаемостью для данного района. Более тесная связь оказалась для этого района между средневзвешенным диаметром зерен и проницаемостью пород  $r = -0,732$  (рис. 6).

### ПЛОЩАДЬ СУРАХАНЫ

По Сураханам располагаем следующими данными, характеризующими коллекторские свойства пород кирмакинской свиты: по гранулометрическому составу 182 определения, по карбонатности—187, по пористости—179 и по проницаемости—105.

Образцы были отобраны из оценочных скважин № 1600 и 1602.

В пределах указанной площади кирмакинская свита делится на восемь горизонтов: КС<sub>1</sub>—КС<sub>8</sub>, отделяющихся друг от друга девятью разделами.

Коллекторские свойства пород кирмакинской свиты по этой площади изучались как по всей свите в целом, так и по каждому горизонту и разделу в отдельности (табл. 11).

В результате проделанной работы получены данные, характеризующие породы коллекторов по разрезу кирмакинской свиты (см. Приложение, табл. IV). На основе этой таблицы составлен разрез, характеризующий гранулометрический состав, карбонатность, пористость и проницаемость пород КС (рис. 7).

Таблица 11

Средние данные о коллекторских свойствах песчаных и алевритовых пород кирмакинской свиты площади Сураханы									
Горизонты и разделы	$M_{\text{н}}$	Гранулометрический состав, %			Карбонатные центры, %	Мощность, м	Пачкорные от породы до конца зональной части, м	Гранулометрический состав, %	Проницаемость емкость для воды, мл/с
		$> 0,25$	$0,25-0,1$	$0,1-0,01$					
КС <sub>1</sub>	20	50	12	1,9	23,5	52,1	22,5	0,076	13
КС <sub>2</sub>	17	93	13	0,7	12,0	64,4	22,9	0,060	13
КС <sub>3</sub>	16	123	15	0,1	11,6	69,9	18,4	0,054	10,2
КС <sub>4</sub>	11	136	9	0,3	10,5	60,8	28,4	0,062	9
КС <sub>5</sub>	15	159	13	1,1	12,7	64,2	22,0	0,081	15
КС <sub>6</sub>	14	179	15	3,2	23,1	53,9	19,8	0,062	11,0
КС <sub>7</sub>	17	202	12	0,2	18,1	51,1	30,6	0,065	12
КС <sub>8</sub>	13	218	19	0,5	18,2	55,4	25,9	0,065	19
Среднее зна- чение	123	218	108	1,0	16,5	59,0	23,5	0,066	11,3
КС—КС <sub>1</sub>	30	30	20	1,1	18,1	58,0	22,8	0,068	20
КС <sub>1</sub> —КС <sub>2</sub>	26	76	19	1,6	17,2	58,5	22,3	0,066	19
КС <sub>2</sub> —КС <sub>3</sub>	14	107	21	0,8	10,5	65,1	23,6	0,058	21
КС <sub>3</sub> —КС <sub>4</sub>	2	125	3	4,5	44,2	39,6	11,7	0,113	3
КС <sub>4</sub> —КС <sub>5</sub>	9	145	1	0,2	5,6	76,8	17,4	0,054	2
КС <sub>5</sub> —КС <sub>6</sub>	5	165	4	5,2	31,5	40,2	23,1	0,094	4
КС <sub>6</sub> —КС <sub>7</sub>	6	185	3	0,1	7,9	55,6	36,4	0,047	3
КС <sub>7</sub> —КС <sub>8</sub>	3	205	2	1,9	20,4	45,6	32,1	0,053	2
КС <sub>8</sub> —ПК	3	221	1	0,1	27,3	54,5	18,1	0,079	1
Среднее зна- чение по раз- делам	96	221	74	1,5	17,1	58,3	23,1	0,066	12,5
Среднее зна- чение по ЕСБ КС	21	221	182	1,2	16,7	58,7	23,4	0,066	11,8

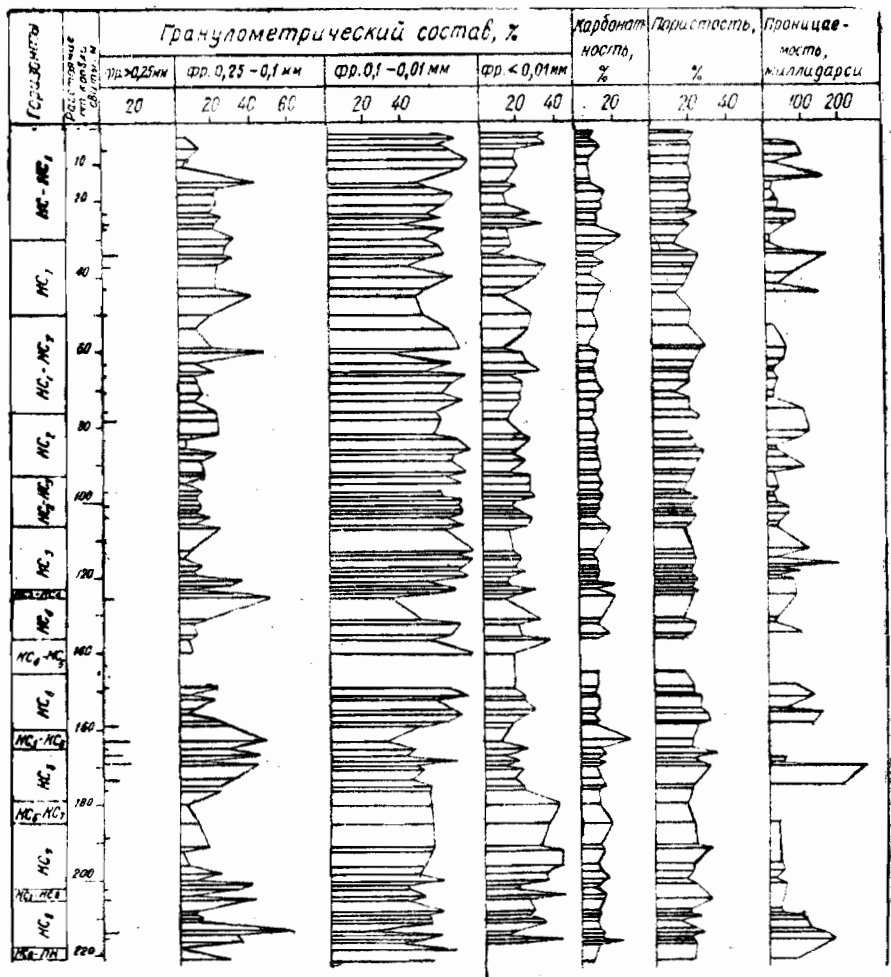


Рис. 7

Коллекторские свойства пород кирмакинской свиты площади Сураханы

Содержание  $\text{CaCO}_3$  наиболее часто приходится на интервалы от 7 до 15%. Среднее значение карбонатности пород по всему разрезу КС равно 11,8% (187 образцов).

Наибольшее число случаев пористости приходится на интервалы со значением пористости от 12 до 26%.

Среднее значение пористости пород коллекторов на основании 179 определений по всему разрезу КС составляет 20,5%.

Наибольшее число случаев проницаемости как по горизонтам, так и по разделам приходится на интервалы со значением проницаемости от 1 до 100 миллидарси (82 случая из 105).

Среднее значение проницаемости пород по 105 образцам для всего разреза кирмакинской свиты составляет 64 миллидарси.

Коллекторы кирмакинской свиты рассматриваемой площади представлены в основном алевритами—73,1%; песчаные разности составляют 14,8%, песчано-глинистые—8,2%, а плохо отсортированные—3,9%.

В таблице 12 приводятся средние данные указанных разностей пород по горизонтам и разделам КС.

Таблица 12

Породы, %	Плохо-отсортированные	Песчаные	Алевритовые	Песчано-глинистые
Горизонты и разделы				
КС <sub>1</sub> —КС <sub>8</sub> Разделы между горизонтами	2,8 5,4	16,7 12,2	72,2 74,3	8,3 8,1
Среднее значение по всей КС	3,9	14,8	73,1	8,2

В минералогическом составе указанных пород доминирует кварц (до 80%); полевые шпаты составляют 12%, далее отмечаются обломки пород—10—15%.

Средний гранулометрический состав (табл. 11) пород кирмакинской свиты этого района (в %) следующий:

Фракции > 0,25 мм	—1,2
0,25—0,1 мм	—16,7
0,1—0,01 мм	58,7
<0,01 мм	—23,4

Средневзвешенный диаметр зерен по горизонтам (КС<sub>1</sub>—КС<sub>8</sub>) и по разделам составляет в среднем 0,066 мм.

Карбонатность пород коллекторов колеблется от 6,8 до 35,1% (см. Приложение, табл. IV) и составляет в среднем (в %) для горизонтов 11,3 (111 образцов), для разделов—12,5 (76 образцов), а для всей КС—11,8 (187 образцов).

Пористость пород коллекторов колеблется в пределах 12,5—34,1%, среднее значение пористости (в %) для горизонтов 21,3 (105 образцов), для разделов—19,4 (74 образца), а для всей КС—20,5 (179 образцов).

Значение проницаемости пород по всему разрезу кирмакинской свиты колеблется от 5 до 258 миллидарси (см. Приложение, табл. IV).

Среднее значение проницаемости пород (в миллидарси) для горизонтов—77 (63 анализа), для разделов—45 (42 анализа) и для всей КС—64 (105 анализов).

Для установления зависимости между проницаемостью и содержанием фракции <0,01 мм была построена корреляционная таблица, связывающая эти величины.

При этом установлено, что связь между ними определяется коэффициентом корреляции  $r = -0,383$ . На рис. 2 представлена сглаженная кривая (IV) зависимости между проницаемостью и содержанием фракций  $< 0,01 \text{ м.м.}$

**ПЛОЩАДЬ БАЛАХАНЫ—САБУНЧИ—РАМАНЫ**

По площади Балаханы—Сабунчи—Раманы подверглись изучению на гранулометрический анализ 220 образцов, на карбонатность пород—233, на пористость—215, на проницаемость—100. Образцы были отобраны из 61 скважины.

Ввиду того, что в пределах указанной площади характер отложений кирмакинской свиты меняется как по разрезу, так и по простиранию, изучение коллекторских свойств пород проводилось по трем отдельным участкам: западной части площади, восточной и Кошанаур.

В пределах всей нефтяной площади кирмакинская свита подразделяется на две подсвиты: I КС и II КС. I КС в свою очередь расчленяется на 4 горизонта ( $I\ KC_1$ ,  $I\ KC_2$ ,  $I\ KC_3$  и  $I\ KC_4$ ), а II КС — на 5 ( $II\ KC_1$ ,  $II\ KC_2$ ,  $II\ KC_3$ ,  $II\ KC_4$  и  $II\ KC_5$ ). В последнее время II КС стали делить на два объекта: II КС верхи ( $II\ KC_{1+2}$ ) и II КС низы ( $II\ KC_{3+4+5}$ ).

Коллекторские свойства пород кирмакинской свиты изучались как по каждой подсвите (I КС, II КС), так и по каждому слагающему их горизонту (табл. 13, 14 и 15).

В результате проведенной работы были получены данные, характеризующие коллекторские свойства пород кирмакинской свиты по разрезу (см. Приложение, табл. V).

Коллекторские свойства описываемой площади отражены на рис. 8.

Наиболее характерным для карбонатности является интервал с содержанием  $\text{CaCO}_3$  от 7 до 15%. Среднее значение карбонатности пород коллекторов на основании 233 анализов для всего разреза кирмакинской свиты—11,9%.

Подавляющее большинство случаев падает на интервалы с пористостью от 20 до 30%.

Среднее значение пористости пород для всего разреза кирмакинской свиты на основании 215 анализов—24,5%.

Наибольшее число случаев как по подсвите I КС, так и по подсвите II КС приходится на интервалы со значением проницаемости от 1 до 100 миллидарси. Среднее значение проницаемости пород коллекторов по данным 100 определений для всего разреза кирмакинской свиты—112 миллидарси.

Для выявления зависимости между проницаемостью и средневзвешенным диаметром частиц была построена корреляционная таблица, отражающая взаимосвязь этих величин (рис. 9) и подсчитан коэффициент корреляции ( $r = -0,215$ ).

На рис. 6 нами приводится характеризующая эту зависимость сглаженная кривая (II).

*Средние данные о коллекторских свойствах песчаных и аллювиальных пород кирмакинской свиты площиади Балаханы — Сабунчи-Раманы (запад)*

Горизонты	Мощность, м	Гранулометрический состав, %						Капилляр- ные, мк	Средне- годи- мые размеры зерен, мк	Норма засорения	Норма емкости	Норма адекват- ности		
		>0,25 мк	0,25—0,1 мк	0,1—0,01 мк	<0,01 мк	0,25—0,1 мк	0,1—0,01 мк							
I KC <sub>1</sub>	43	43	13	0,3	15,3	59,4	25,0	0,063	14	11,0	12	25,4	8	0,227
I KC <sub>2</sub>	46	89	9	—	4,8	67,7	27,5	0,047	16	13,5	10	21,9	5	0,060
I KC <sub>3</sub>	35	124	5	0,2	5,2	65,8	28,8	0,047	5	12,3	4	27,2	1	0,020
I KC <sub>4</sub>	42	166	14	3,8	14,5	56,2	25,5	0,069	14	12,5	14	20,3	7	0,168
Среднее значе- ние по вер- хам	166	166	41	1,4	11,5	60,9	26,2	0,060	49	12,4	40	24,2	21	0,158
II KC <sub>1</sub>	20	186	11	3,1	14,4	58,6	23,9	0,067	11	11,5	12	25,2	6	0,132
II KC <sub>2</sub>	15	201	3	0,9	6,4	65,5	27,2	0,051	3	11,7	3	25,4	3	0,073
II KC <sub>3</sub>	22	223	4	17,9	8,7	44,7	28,7	0,078	3	13,8	4	17,4	3	0,038
II KC <sub>4</sub>	22	245	1	0,3	2,4	62,9	34,4	0,051	—	12,3	12	24,5	4	—
II KC <sub>5</sub>	25	270	14	10,8	25,6	41,1	22,5	0,103	25	—	—	—	—	—
Среднее значе- ние по ни- зам	104	270	33	7,9	17,4	50,2	24,5	0,082	42	12,2	31	24,0	16	0,114
Среднее значе- ние по всей KC	270	270	74	4,3	14,1	56,1	25,5	0,070	91	12,3	71	24,1	37	0,139

Таблица 14

Средние данные о коллекторских свойствах песчаных и алевритовых пород кирмакинской свиты площади Рамана  
(восток)

Горизонты	Mouhochт, %	Paccюorиe, % от kpoBиHиe ашарин3оa	Гранулометрический состав, %			Kap6oHат, %	Hинco ашарин3оa	Lopncoct, %	Hинco ашарин3оa	Lopncoct, %	Hинco ашарин3оa	Lopncoct, %
			>0,25 M.M.	0,25—0,1 M.M.	0,1—0,01 M.M.							
I KC <sub>1</sub>	39	38	17	0,4	24,5	40,7	34,4	0,070	17	13,6	16	22,6
I KC <sub>2</sub>	47	85	10	0,3	20,6	46,7	32,4	0,048	10	14,0	10	26,3
I KC <sub>3</sub>	31	116	8	0,3	11,1	53,8	34,8	0,052	8	12,2	8	22,3
I KC <sub>4</sub>	33	149	22	0,8	24,5	45,5	29,2	0,046	19	10,4	21	23,7
Среднее значение по верхам	149	149	57	0,5	22,0	45,4	32,1	0,054	54	12,3	55	24,0
II KC <sub>1</sub>	22	171	14	2,5	15,1	56,0	26,4	0,063	14	11,2	14	24,6
II KC <sub>2</sub>	18	189	11	0,2	17,6	53,2	29,0	0,037	11	11,3	11	23,8
II KC <sub>3</sub>	20	209	15	0,5	22,1	51,3	26,1	0,066	15	9,8	14	25,1
II KC <sub>4</sub>	24	233	6	2,1	22,5	44,4	31,0	0,018	6	10,1	6	23,2
II KC <sub>5</sub>	20	253	6	1,5	27,5	40,2	30,8	0,023	6	12,2	6	24,1
Среднее значение по нижним зам	104	353	52	1,3	19,9	50,8	28,0	0,049	52	10,8	51	24,3
Среднее значение по всей KC	253	253	109	0,9	21,0	48,0	30,1	0,052	106	11,6	106	24,2
Среднее значение по верхам	213	213	10	4,1	9,7	56,8	29,4	0,063	10	12,0	11	24,7
Среднее значение по всей	343	343	27	1,7	11,1	59,8	27,4	0,054	26	12,3	27	27,2
Среднее значение по всем KC	346	346	37	2,3	10,7	59,0	28,0	0,056	36	12,2	38	26,4

Таблица 15

Средние данные о коллекторских свойствах песчаных и алевритовых пород кирмакинской свиты площади Кошанаур

Горизонты	Mouhochт, %	Paccюorиe, % от kpoBиHиe ашарин3оa	Гранулометрический состав, %			Kap6oHат, %	Hинco ашарин3оa	Lopncoct, %	Hинco ашарин3оa	Lopncoct, %	Hинco ашарин3оa	Lopncoct, %
			>0,25 M.M.	0,25—0,1 M.M.	0,1—0,01 M.M.							
I KC <sub>1</sub>	54	51	1	1,2	1,5	53,8	43,5	0,038	2	11,3	1	24,8
I KC <sub>2</sub>	62	116	3	1,3	6,3	56,9	35,5	0,052	3	12,4	3	22,7
I KC <sub>3</sub>	49	165	1	1,9	27,1	66,0	3,0	0,091	—	12,1	6	28,6
I KC <sub>4</sub>	48	213	5	6,9	9,8	55,0	28,3	0,063	5	12,1	6	25,1
Среднее значение по верхам	213	213	10	4,1	9,7	56,8	29,4	0,063	10	12,0	11	24,7
II KC <sub>1</sub>	23	236	4	0,3	11,0	63,1	25,6	0,062	1	11,7	3	21,7
II KC <sub>2</sub>	22	258	5	0,3	4,6	67,6	27,5	0,047	5	11,5	5	21,2
II KC <sub>3</sub>	26	284	8	0,2	14,4	57,1	28,3	0,055	7	12,1	8	25,9
II KC <sub>4</sub>	30	314	1	1,4	28,2	55,5	14,9	0,085	2	18,0	2	17,6
II KC <sub>5</sub>	32	316	9	4,4	9,9	56,8	28,9	0,063	8	10,7	9	24,4
Среднее значение по верхам	133	343	27	1,7	11,1	59,8	27,4	0,054	26	12,3	27	27,2
Среднее значение по всей	346	346	37	2,3	10,7	59,0	28,0	0,056	36	12,2	38	26,4

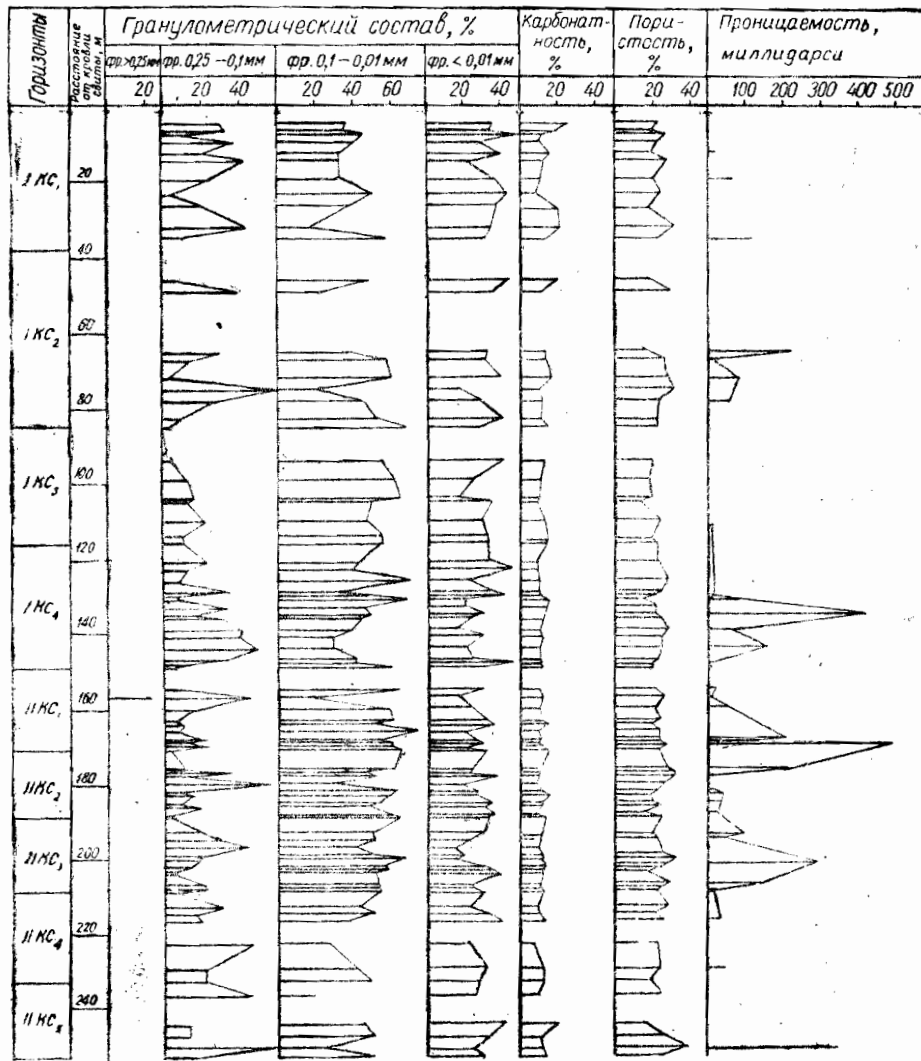


Рис. 8

Коллекторские свойства пород кирмакинской свиты площади Балаханы—Сабунчи—Раманы (восток)

При построении подобной корреляционной таблицы было установлено отсутствие зависимости между проницаемостью и карбонатностью. Зависимость проницаемости от содержания фракции  $< 0,01 \text{ мм}$  оказалась более тесной —  $r = -0,650$  (рис. 2).

Результаты гранулометрического анализа пород коллекторов были нанесены на классификационный треугольник (рис. 3, II). При этом

Средн.значен. $d_{cp}$	$d_{cp} \cdot lg K$										Число случаев	Средн.значение проницаемости, миллидарси														
	0,035	0,045	0,055	0,065	0,075	0,085	0,095	0,105	0,115																	
2,65	2,45	2,35	2,25	2,15	2,05	1,95	1,85	1,75	1,65	1,55	1,45	1,35	1,25	1,15	1,05	0,030	0,040	0,050	0,060	0,070	0,080	0,090	0,100	0,110		
2,7	2,6	2,5	2,4	2,3	2,2	2,1	2,0	1,9	1,8	1,7	1,6	1,5	1,4	1,3	1,2	1,1	0,040	0,050	0,060	0,070	0,080	0,090	0,100	0,110	0,120	
-2,6	-2,5	-2,4	-2,3	-2,2	-2,1	-2,0	-1,9	-1,8	-1,7	-1,6	-1,5	-1,4	-1,3	-1,2	-1,1	-1,0										
501	398	316	251	200	159	126	100	79	63	50	40	32	25	20	16	13	10									
398	316	251	200	159	126	100	79	63	50	40	32	25	20	16	13	10										

Рис. 9

Корреляционная таблица проницаемости ( $K$ )—средневзвешенный диаметр частиц ( $d_{cp}$ ) для пород коллекторов кирмакинской свиты площади Балаханы—Сабунчи—Раманы

○—I КС; ●—II КС

выяснено, что слагающие кирмакинскую свиту коллекторы в основном состоят из алевритов. Песчаные и плохо отсортированные разности (хлидолиты) присутствуют относительно редко.

В таблице 16 приведены процентные соотношения указанных разностей пород для отдельных подсвит КС.

Таблица 16

Подсвиты	Породы, %	Плохо отсортированные	Песчаные	Алевритовые	Песчано-глинистые
I КС	14,8	14,8	60,2	10,2	
II КС	6,2	25,0	61,6	7,2	
Среднее значение по всей КС	10,8	18,9	60,8	9,5	

По петрографическому составу терригенный материал указанных разностей пород представлен кварцем (до 90%), полевым шпатом (до 7%), обломкам глинистых, кремнистых и карбонатных пород и другими материалами (до 25%). Цементирующим материалом является глинистое вещество (до 12%) и известковисто-глинистое (до 10%). Тип цементации—заполнения пор, реже—базальный.

#### Характеристика пород коллекторов площади Балаханы—Сабунчи (западная часть)

Гранулометрический состав кирмакинской свиты этой площади (%) на основании имеющихся 74 анализов характеризуется следующими соотношениями различных фракций (табл. 13):

Фракция > 0,25 мм	-4,3
" 0,25—0,1 мм	-14,1
" 0,1—0,01 мм	-56,1
" < 0,01 мм	-25,5

Указанные данные свидетельствуют, что отложения кирмакинской свиты представлены в основном заиленными тонкозернистыми песчаниками.

При этом необходимо отметить, что в нижней подсвите (II КС) наблюдается увеличение фракций 0,1—0,01 мм, в связи с чем средневзвешенный диаметр зерен по II КС увеличивается до 0,082 мм (в отличие от I КС, где он равен 0,060 мм).

Данные анализов по определению карбонатности показывают, что коллекторы кирмакинской свиты в основном характеризуются сравнительно невысоким содержанием  $\text{CaCO}_3$ . Среднее значение  $\text{CaCO}_3$  пород КС на основании 91 анализа составляет 12,3% (см. Приложение, табл. V).

Значение пористости пород коллекторов разреза кирмакинской свиты колеблется в пределах 13,6—34,8% (см. Приложение, табл. V).

Среднее значение пористости (в %) для I КС—24,2 (40 анализов), для II КС—24,0 (31 анализ), а для всей кирмакинской свиты—24,1 (71 анализ).

Величина проницаемости песчаных и алевритовых пород по всему разрезу кирмакинской свиты колеблется от 9 до 790 миллидарси (см. Приложение, табл. V).

Среднее значение проницаемости (в миллидарси) для I КС—158 (21 анализ), для II КС—114 (16 анализов), а для всей КС—139 (37 анализов).

#### Характеристика пород коллекторов площади Рамана (восточная часть)

Средний гранулометрический состав пород коллекторов кирмакинской свиты этой площади (в %) следующий:

Фракция > 0,25 мм	-0,9
" 0,25—0,1 мм	-21,0
" 0,1—0,01 мм	-48,0
" < 0,01 мм	-30,1

Средневзвешенный диаметр зерен I КС—0,054 мм и II КС—0,049 мм.

Результаты определения показывают, что в восточной части нефтяной площади карбонатность пород коллекторов КС по всему разрезу колеблется в пределах 7,5—26,3% (см. Приложение, табл. V).

Значение пористости пород коллекторов по всему разрезу КС колеблется от 10,8 до 40,0% (см. Приложение, табл. V).

Среднее значение пористости (в %) для I КС—24,0 (55 анализов), для II КС—24,3 (51 анализ) и для всей КС—24,2 (106 анализов).

Проницаемость пород коллекторов по всему разрезу КС колеблется в пределах 480 миллидарси (см. Приложение, табл. V). Среднее значение проницаемости (в миллидарси) для I КС 93 (17 анализов) для II КС—108 (24 анализа), а для всей КС—102 (41 анализ).

#### Характеристика пород коллекторов площади Кошанаур

Средний гранулометрический состав пород коллекторов кирмакинской свиты этой площади (%) следующий:

Фракция > 0,25 мм	-2,3
" 0,25—0,1 мм	-10,7
" 0,1—0,01 мм	-59,0
" < 0,01 мм	-28,0

Средневзвешенный диаметр зерен увеличивается с 0,054 мм по I КС до 0,063 мм в I КС.

В пределах площади Кошанаур содержание  $\text{CaCO}_3$  в коллекторах по разрезу кирмакинской свиты колеблется в пределах 6,5—36,6% (см.

Приложение, табл. V) и в среднем составляет 12,2% (36 анализов). Среднее содержание  $\text{CaCO}_3$  (%) для I КС—12,0 (10 анализов), для II КС—12,3 (26 анализов), а для всей КС—12,2 (36 анализов).

Величина пористости пород коллекторов по всему разрезу КС колеблется от 11,0 до 31,3% (см. Приложение, табл. V).

Среднее значение пористости пород (в%) по I КС 24,7 (11 анализов), по II КС—27,2 (27 анализов), а по всей КС—26,4 (38 анализов).

Величина проницаемости пород коллекторов для всего разреза КС колеблется от 9 до 316 **миллидарси** (см. Приложение, табл. V).

Необходимо отметить, что проницаемость пород коллекторов I КС, по сравнению с II КС, намного меньше.

Среднее значение проницаемости пород коллекторов (в **миллидарси**) для I КС—71, для II КС—89, а для всей КС—86.

### ПЛОЩАДИ БИНАГАДЫ, ЧАХНАГЛЯР, СУЛУТЕПЕ

По площадям Бинагады, Чахнагляр, Сулутепе проведено следующее число анализов:

#### Бинагады Чахнагляр Сулутепе

Гранулометрический состав	393	160	23
Карбонатность	370	146	17
Пористость	380	190	32
Проницаемость	158	87	15

В пределах указанных площадей кирмакинская свита подразделяется на две подсвиты (верхи и низы КС), каждая из которых делится соответственно на 4 горизонта (КС<sub>1</sub>—КС<sub>4</sub>) и 5 горизонтов (КС<sub>5a</sub>, КС<sub>5b</sub>, КС<sub>5c</sub>, КС<sub>5d</sub>, КС<sub>6</sub>).

Коллекторские свойства пород кирмакинской свиты изучались как по всей свите в целом, так и по каждому ее горизонту в отдельности (табл. 17, 18 и 19).

В результате проделанной работы получены данные о коллекторских свойствах пород разреза кирмакинской свиты описываемых площадей.

Карбонатность пород по всему разрезу кирмакинской свиты для всех площадей характеризуется содержанием  $\text{CaCO}_3$  в пределах 7,8—29,0%. Среднее значение содержания карбонатности пород коллекторов (в%) для всего разреза КС по площади Бинагады 15,7, по Чахнагляру—4,9, по Сулутепе—15,6.

Наибольшее число случаев приходится на интервал со значением пористости от 20 до 26%, а среднее значение этого параметра по всему разрезу КС (в%) составляет для площади Бинагады—24,5, для Чахнагляра—23,9, для Сулутепе—22,8 (табл. 17, 18 и 19).

В подавляющем большинстве случаев проницаемость пород коллекторов КС колеблется в пределах 1—130 **миллидарси** (231 случай из 260). Среднее значение для Бинагады—110, Чахнагляр—142 Сулутепе—118 **миллидарси**.

Коллекторы кирмакинской свиты этих площадей представлены в основном алевритами и реже песками (рис. 3).

Таблица 17

Средние данные о коллекторских свойствах песчаных и алевритовых пород кирмакинской свиты площади Бинагады

Горизонты	Мощность, м	Гранулометрический состав, %			Капилляр-ное содержание, %	Проницаемость, мк	Средне-е значение, мк	Гранулометрический состав, %	Капилляр-ное содержание, %	Проницаемость, мк	Средне-е значение, мк
		> 0,25 мк	0,25—0,1 мк	0,1—0,01 мк				> 0,25 мк			
КС <sub>1</sub>	50	50	41	2,4	53,1	31,9	0,058	37	15,0	45	0,204
КС <sub>2</sub>	45	95	58	1,5	53,5	31,5	0,065	83	16,7	82	0,164
КС <sub>3</sub>	10	105	36	3,1	52,6	34,1	0,58	33	16,3	39	0,092
КС <sub>4</sub>	42	147	89	3,1	53,3	31,0	0,060	87	15,2	101	0,088
Среднее значение по верхам КС <sub>1</sub> —КС <sub>4</sub>	147	—	244	2,6	53,2	31,7	0,061	240	15,8	267	0,126
КС <sub>5a</sub>	20	167	49	2,6	56,3	29,6	0,056	49	16,1	43	0,039
КС <sub>5b</sub>	24	191	15	1,0	6,2	62,1	0,046	9	15,8	15	0,075
КС <sub>5c</sub>	10	201	6	3,3	24,6	39,6	0,060	6	15,2	4	0,126
КС <sub>5d</sub>	23	224	23	2,7	19,5	45,9	0,066	22	13,7	14	0,065
КС <sub>6</sub>	24	248	46	6,3	20,8	39,7	0,077	44	15,7	37	0,079
Среднее значение по низам КС <sub>5a</sub> —КС <sub>6</sub>	101	248	139	3,7	15,9	45,0	0,064	130	15,5	113	0,068
Среднее значение по всей КС	246	248	393	3,0	13,7	51,7	0,062	370	15,7	380	0,110

Средние данные о коллекторских свойствах песчаных и алевритовых пород кирмакинской свиты площади Чахнаглыр

Горизонты	Гранулометрический состав, %	>0,25				0,25—0,1				0,1—0,01				<0,01					
		M	W	centri,	%	M	W	centri,	%	M	W	centri,	%	M	W	centri,	%		
KC <sub>1</sub>	42	42	19	1,2	11,5	57,3	30,0	0,058	16	15,6	17	26,6	4	0,186	Hincio centri, % шарниров от коллекторов	Hincio centri, % шарниров от коллекторов	Hincio centri, % шарниров от коллекторов		
KC <sub>2</sub>	30	72	29	1,7	12,1	55,7	30,5	0,058	26	14,0	35	28,4	20	0,160					
KC <sub>3</sub>	13	85	9	0,4	13,8	58,2	27,6	0,059	7	11,7	11	25,0	6	0,175					
KC <sub>4</sub>	32	117	12	0,8	7,5	58,8	32,9	0,051	10	15,0	10	26,4	7	0,108					
Среднее значение по верхам KC <sub>1</sub> —KC <sub>4</sub>	117	117	69	1,2	11,4	57,0	30,4	0,056	59	14,3	73	27,2	37	0,139					
KC <sub>5a</sub>	32	146	—	—	13,0	59,9	27,0	0,058	—	1	16,7	—	—	5	0,183	Hincio centri, % шарниров от коллекторов	Hincio centri, % шарниров от коллекторов	Hincio centri, % шарниров от коллекторов	
KC <sub>5b</sub>	27	176	2	0,1	11,6	65,6	22,6	0,058	7	15,5	7	22,3	3	0,101					
KC <sub>5c</sub>	15	91	7	0,2	15,2	51,5	31,7	0,061	52	14,9	70	21,7	22	0,138					
KC <sub>5d</sub>	20	211	54	1,6	22,0	45,1	28,1	0,078	27	15,8	33	21,5	20	0,150					
KC <sub>6</sub>	41	252	28	4,8															
Среднее значение по низам KC <sub>5a</sub> —KC <sub>6</sub>	135	252	91	2,5	17,0	50,8	29,7	0,065	87	15,3	117	21,9	50	0,145					
Среднее значение по всей KC	252	252	160	1,9	14,5	53,5	30,1	0,061	146	14,9	190	23,9	87	0,142					

Таблица 19

Средние данные о коллекторских свойствах песчаных и алевритовых пород кирмакинской свиты площади Сулутепе

Горизонты	Гранулометрический состав, %	>0,25				0,25—0,1				0,1—0,01				<0,01				
		M	W	centri,	%	M	W	centri,	%	M	W	centri,	%	M	W	centri,	%	
KC <sub>1</sub>	42	42	6	0,3	1,3	56,7	—	41,7	0,036	1	10,0	7	24,1	2	0,027	Hincio centri, % шарниров от коллекторов	Hincio centri, % шарниров от коллекторов	Hincio centri, % шарниров от коллекторов
KC <sub>2</sub>	30	72	—	—	—	—	—	—	—	—	—	—	—	—	—			
KC <sub>3</sub>	13	85	2	0,5	8,7	69,2	21,6	0,056	2	15,6	2	22,2	2	0,366				
KC <sub>4</sub>	32	117	2															
Среднее значение по верхам KC <sub>1</sub> —KC <sub>4</sub>	117	117	8	0,3	3,2	59,8	36,7	0,041	3	13,7	9	23,7	4	0,196				
KC <sub>5a</sub>	32	149	4	0,2	3,0	73,4	23,4	0,043	4	12,2	5	25,0	2	0,072	Hincio centri, % шарниров от коллекторов	Hincio centri, % шарниров от коллекторов	Hincio centri, % шарниров от коллекторов	
KC <sub>5b</sub>	27	176	1	0,1	6,9	64,5	28,5	0,049	1	11,0	1	24,0	—	—				
KC <sub>5c</sub>	15	191	8	1,4	22,2	46,5	29,9	0,070	7	18,3	10	21,5	5	0,091				
KC <sub>5d</sub>	20	211	1	1,5	22,7	50,6	25,2	0,073	1	20,6	3	23,1	2	0,062				
KC <sub>6</sub>	41	252	1	0,6	31,4	51,7	16,3	0,086	1	16,2	4	20,8	2	0,133				
Среднее значение по низам KC <sub>5a</sub> —KC <sub>6</sub>	135	252	15	0,9	16,7	55,5	26,9	0,063	14	16,1	23	22,5	11	0,090				
Среднее значение по всей KC	252	252	23	0,7	1,0	57,0	0,3	0,055	17	15,6	32	22,8	15	0,118				

В таблице 20 приводятся средние данные разностей коллекторов по род по каждой из подсвит КС и по всей КС площадей Бинагады, Чахнагляя и Сулутепе.

Таблица 20

Площадь	Подсвиты	Породы, %	Плохо отсортированные	Песчаные	Алевритовые	Песчано-глинистые
Бинагады	Верхи КС	7,1		7,9	63,8	21,2
	Низы КС	13,7		12,9	43,2	30,2
Чахнагляр	КС	9,4		9,7	56,5	24,4
	Верхи КС	4,4		2,9	72,5	20,2
Сулутепе	Низы КС	7,7		19,8	65,9	6,6
	КС	12,5		6,3	68,7	12,5
Бинагады	Верхи КС	—		—	75	25
	Низы КС	13,3		6,7	80,0	—
Чахнагляр	КС	8,7		4,4	78,3	8,6
	Верхи КС	—		—	—	—
Сулутепе	Низы КС	—		—	—	—
	КС	—		—	—	—

Минералогический состав пород коллекторов указанных районов характеризуется повышенным содержанием кварца (50–80%) и полевых шпатов (3–10%). Количество обломков глинистых, карбонатных и кремнистых пород в среднем 10–15%.

#### Характеристика пород коллекторов КС площади Бинагады

Средний гранулометрический состав пород кирмакинской свиты этого района табл. (в%) следующий:

Фракция >0,25 мм	—3,0%
" 0,25–0,1 мм	—13,7
" 0,1–0,01 мм	—51,7
" <0,01 мм	—31,6

Средневзвешенный диаметр зерен в среднем—0,062 мм.

Содержание  $\text{CaCO}_3$  в породах по всему разрезу кирмакинской свиты колеблется от 7,8 до 29,0% (см. Приложение, табл. VI). В среднем содержание  $\text{CaCO}_3$  (в%) для пород верхов КС—15,8 (240 анализов), для низов—15,5 (130 анализов), для всей КС—15,7 (370 анализов).

Пористость пород коллекторов по всему разрезу кирмакинской свиты колеблется от 12,7 до 32,6% (см. Приложение, табл. VI). В среднем величина пористости для пород верхов КС—24,9 (267 анализов), для низов—23,4 (113 образцов) для всей КС—24,5 (380 анализов).

Проницаемость пород коллекторов ко всему разрезу кирмакинской свиты колеблется от 10 до 705 миллидарси (см. Приложение, табл. VI). В среднем проницаемость пород (в миллидарси) для верхов КС—126 (114 анализов), для низов—68 (44 анализа) и для всей КС—110 (158 анализов).

#### Характеристика пород коллекторов КС площади Чахнагляя

Средний гранулометрический состав пород коллекторов кирмакинской свиты этой площади (в%) следующий:

Фракция >0,25 мм	—1,9
" 0,25–0,1 мм	—14,5
" 0,1–0,01 мм	—53,5
" <0,01 мм	—30,1

Средневзвешенный диаметр зерен в среднем—0,061 мм.

Содержание  $\text{CaCO}_3$  в коллекторах по всему разрезу кирмакинской свиты колеблется от 9,8 до 23,2% (см. Приложение, табл. VI). В среднем содержание  $\text{CaCO}_3$  (в%) для пород верхов КС—14,3 (59 анализов), для низов—15,3 (87 анализов), для всей КС—14,9 (146 анализов).

Пористость пород коллекторов разреза кирмакинской свиты колеблется в пределах 17,3–34,8%. В среднем значение пористости (в%) для пород коллекторов верхов КС—27,2 (73 анализа), для низов—21,9 (117 анализов), для всей КС—23,9 (190 анализов).

Проницаемость пород коллекторов колеблется от 11 до 878 миллидарси (см. Приложение, табл. VI). В среднем проницаемость коллекторов (в миллидарси) для верхов КС—139 (37 анализов), для низов—145 (50 анализов), для всей КС—142 (87 анализов).

#### Характеристика пород коллекторов площади Сулутепе

Средний гранулометрический состав пород коллекторов кирмакинской свиты этой площади (в%) следующий:

Фракция >0,25 мм	—0,7
" 0,25–0,1 мм	—12,0
" 0,1–0,01 мм	—57,0
" <0,01 мм	—30,3

Средневзвешенный диаметр зерен в среднем—0,055 мм.

Содержание  $\text{CaCO}_3$  по всему разрезу кирмакинской свиты колеблется от 10,0 до 24,10% (см. Приложение, табл. VI).

В среднем содержанием  $\text{CaCO}_3$  (в %) для пород верхов КС—13,7 (3 анализа), для низов—16,1 (14 анализов), для всей КС—15,6 (17 анализов).

Пористость пород коллекторов по всему разрезу кирмакинской свиты колеблется от 16,3 до 35,2% (см. Приложение, табл. VI). В среднем значение пористости (в %) для пород верхов КС—23,7 (9 анализов), низов—22,5 (23 анализа), всей КС—22,8 (32 анализа).

Проницаемость пород коллекторов колеблется от 15 до 619 **миллидарси**. В среднем значение проницаемости (в **миллидарси**) для пород верхов КС—196 (4 анализа), для низов—90 (11 анализов), для всей КС—118 (15 анализов).

### ПЛОЩАДЬ БИБИЭЙБАТ

По площади Бибиэйбат располагаем следующими данными, характеризующими коллекторские свойства пород кирмакинской свиты: по гранулометрическому составу 247 определений, по карбонатности—197, по пористости—275, по проницаемости—124.

В пределах указанной площади кирмакинская свита подразделяется на верхи и низы КС.

Верхи КС в свою очередь расчленяются на 6 горизонтов (I КС<sub>1</sub>, I КС<sub>2</sub>, I КС<sub>3</sub>, II КС<sub>1</sub>, II КС<sub>2</sub> и II КС<sub>3</sub>), а низы—на 7 (III КС<sub>1</sub>, III КС<sub>2</sub>, III КС<sub>3</sub>, IV КС<sub>1</sub>, IV КС<sub>2</sub>, IV КС<sub>3</sub> и V КС).

Коллекторские свойства пород кирмакинской свиты изучались как по всей свите в целом, так и по каждому ее горизонту в отдельности (табл. 21).

В результате наших исследований получены данные, характеризующие коллекторы по всему разрезу кирмакинской свиты (см. Приложение, табл. VII).

На основании этих данных составлен разрез, дающий представление о гранулометрическом составе, карбонатности, пористости и проницаемости КС (рис. 10).

Карбонатность пород разреза кирмакинской свиты характеризуется содержанием  $\text{CaCO}_3$  от 5 до 25%. Среднее значение карбонатности для всего разреза КС 11,3% (197 анализов).

Наибольшее число случаев пористости пород приходится на интервал от 12 до 26%, при среднем значении ее по всему разрезу КС—17,8% (275 анализов).

Подавляющее число случаев величин проницаемости КС приходится на интервалы со значениями от 1 до 100 **миллидарси** (101 случай из 124), среднее же значение этого параметра для пород кирмакинской свиты равно 50 **миллидарси** (по 124 анализам).

Коллекторы верхов кирмакинской свиты представлены алевритами (32,7%); песчаные разности составляют 23,8%, песчано-глинистые—25,8%, а плохо отсортированные—17,7%. В низах кирмакинской свиты содержание песчано-глинистых разностей пород увеличивается (табл. 22 рис. 4).

Таблица 21

Средние данные о коллекторских свойствах песчаных и алевритовых пород кирмакинской свиты площасти Бибиэйбат

Горизонты	Гранулометрический состав, %					Среднее значение по верхам КС	Среднее значение по низам КС	Среднее значение по всей КС	
	> 0,25 $\text{мм}$	0,25—0,1 $\text{мм}$	0,1—0,01 $\text{мм}$	< 0,01 $\text{мм}$	Капиллярная вода, %				
I KC <sub>1</sub>	22	16	0,5	22,6	39,9	37,0	0,064	11	13,8
I KC <sub>2</sub>	42	36	0,3	23,0	38,9	37,8	0,064	32	10,3
I KC <sub>3</sub>	81	39	0,28	16,0	47,9	35,8	0,057	21	10,0
II KC <sub>1</sub>	102	21	0,10	1,4	16,3	47,0	0,072	6	10,1
II KC <sub>2</sub>	123	21	0,42	0,8	24,1	44,7	0,068	33	12,3
II KC <sub>3</sub>	136	13	0,15	0,1	32,4	41,4	0,086	15	11,8
Среднее значение по верхам КС	136	136	147	0,5	22,5	43,2	0,067	118	11,3
III KC <sub>1</sub>	149	13	0,9	0,5	15,1	44,6	0,054	8	10,8
III KC <sub>2</sub>	173	24	0,12	0,1	9,9	50,4	0,047	10	11,9
III KC <sub>3</sub>	199	26	0,37	0,1	12,2	49,2	0,050	29	10,2
IV KC <sub>1</sub>	207	8	0,37	1,1	13,7	45,8	0,054	3	8,3
IV KC <sub>2</sub>	225	18	0,8	0,1	5,9	56,3	0,043	6	12,0
IV KC <sub>3</sub>	234	9	0,4	0,2	6,2	53,6	0,043	3	6,8
V KC	254	20	0,23	0,9	3,9	30,1	0,086	10	13,1
Среднее значение по низам КС	254	118	100	1,1	15,7	46,8	0,058	79	11,2
Среднее значение по всей КС	254	254	247	0,7	19,7	44,7	0,063	197	11,3

Таблица 22

Подсвиты	Породы, %	Плохо отсортированные	Песчаные	Алевритовые	Песчано-глинистые
Верхи КС Низы КС	17,7 12,0		23,8 9,0	32,7 37,0	25,8 42,0
Среднее значение по всей КС	15,4		17,8	34,4	32,4

Средний гранулометрический состав пород кирмакинской свиты этой площади в % следующий:

Фракция >0,25 мм	-0,7
0,25–0,1 мм	-19,7
" 0,05–0,01 мм	-44,7
" <0,01 мм	-34,9

Средневзвешенный диаметр зерен в среднем—0,063 мм.

Содержание  $\text{CaCO}_3$  в породах по всему разрезу кирмакинской свиты колеблется от 6,8 до 23,1% (см. Приложение, табл. VII).

В среднем содержание  $\text{CaCO}_3$  (%) для пород верхов КС—11,3 (118 анализов), для низов—11,2 (79 анализов), для всей КС—11,3 (197 анализов).

Значение пористости пород по всему разрезу кирмакинской свиты колеблется от 9,4 до 25,9% (см. Приложение.) табл. VII),

В среднем величина пористости коллекторов (%) для верхов КС составляет 18,7 (160 анализов), для низов—16,5 (115 анализов) и для всей КС—17,8 (по 275 анализов).

По всему разрезу кирмакинской свиты значение проницаемости пород колеблется от 9 до 408 миллидарси (см. Приложение, табл. VII).

В среднем величина проницаемости пород (в миллидарси) для верхов КС составляет 46 (76 анализов), для низов КС—57 (48 анализов) и для всей КС—50 (124 анализа).

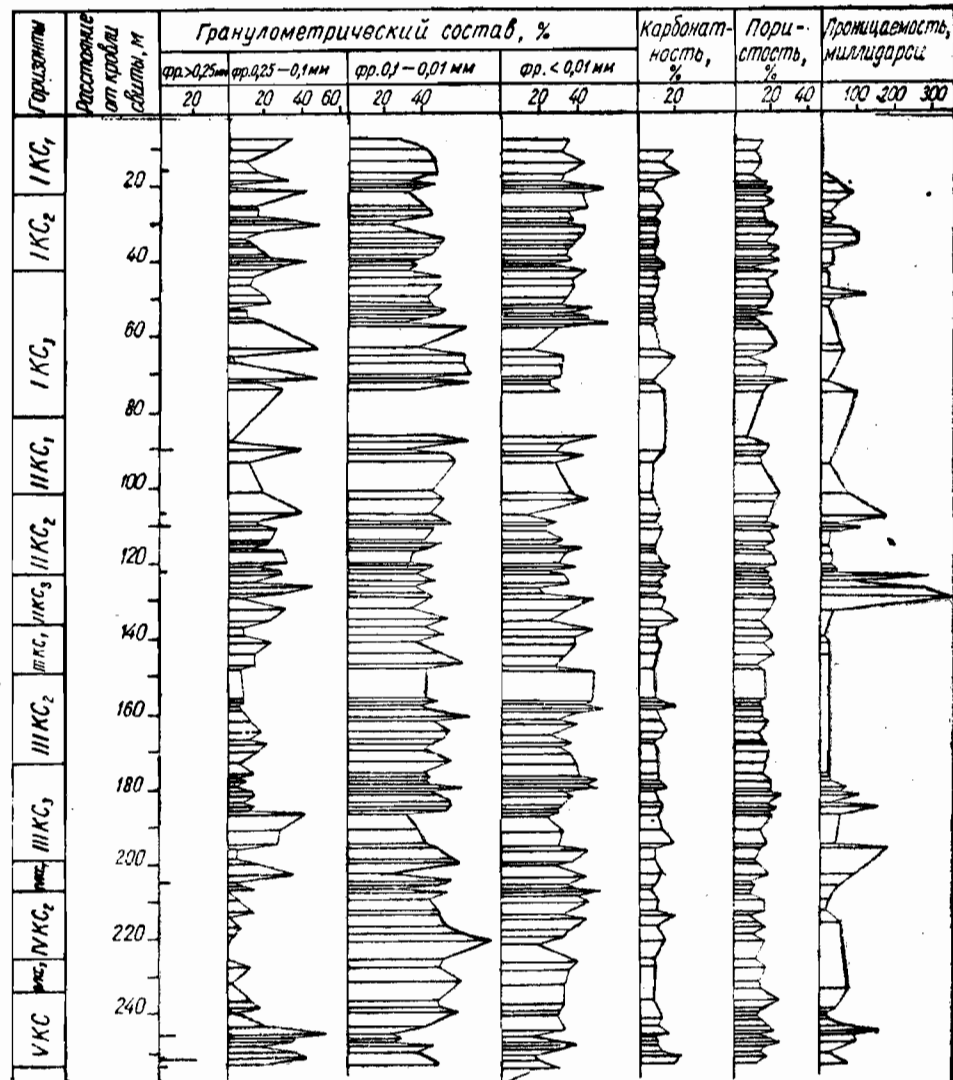


Рис. 10

Коллекторские свойства пород кирмакинской свиты площади Бибиэйбат

В минералогический состав пород коллекторов входят: кварц (50–75%), полевые шпаты (6–15%) и обломки пород (5–20%). Другие материалы встречаются в виде единичных зерен, не превышая 2–4%.

Цемент пород так же, как и на других площадях, глинистый и известковисто-глинистый.

## КОЛЛЕКТОРСКИЕ СВОЙСТВА ПОРОД КИРМАКИНСКОЙ СВИТЫ ПО ДАННЫМ ИССЛЕДОВАНИЯ ОБРАЗЦОВ ЕСТЕСТВЕННЫХ ОБНАЖЕНИЙ

### ПЛОЩАДЬ О-В АРТЕМА

Район о-ва Артема является одним из восточных пунктов, где кирмакинская свита обнажается на дневную поверхность. Изученная часть разреза составляет около 200 м; для характеристики пород коллекторов этого разреза исследовано 113 образцов (см. Приложение, табл. VIII).

Разрез снят В. М. Барышевым и С. Г. Мовсесяном и повторен Г. А. Ахмедовым и Ж. Е. Арутюновой по канаве на юго-западном крыле южной складки о-ва Артема.

Обнаженная часть разреза кирмакинской свиты делится здесь на четыре подсвиты ( $KC_1-KC_4$ ) и на три раздела<sup>1</sup>. Песчаные и алевритовые породы кирмакинской свиты этого района характеризуются значительным содержанием фракции 0,1–0,01 мм. Наибольшее содержание песчаной фракции ( $>0,1$  мм) – 12,2%, характерно для подсвиты  $KC_3$ .

Значительного различия в гранулометрическом составе коллекторов для подсвит и разделов не наблюдается (см. табл. 23). Карбонатность пород коллекторов относительно не велика;  $CaCO_3$  содержится в среднем 4,6–8,6%.

Пористость песчаных алевритовых пород довольно высока и колеблется в средних цифрах в интервале 24,7–27,6% а эффективна пористость  $P_e$  – в интервале от 0 до 18,0%. Наиболее высокая эффективная пористость пород колеблется (считая от кровли свиты), в следующих интервалах: 159–162 м (100–16,0%) и 194–197 м (15,0–18,0%). Диапазон колебаний проницаемости пород коллекторов довольно широк: 0,013–0,980 дарси. Столь большая проницаемость коллекторов кирмакинской свиты о-ва Артема находится в тесной связи с гранулометрическим составом.

Наибольшая проницаемость отмечается для коллекторов  $KC_2-KC_3$ ,  $KC_3$ ,  $KC_1-KC_2$  и  $KC_1$ .

Коллекторы этого района отличаются лучшей отсортированностью и меньшей цементацией и представлены в основном алевритами и песчано-глинистыми разностями (табл. 24).

<sup>1</sup> Полный разрез  $KC$  площади о-в Артема делится на 7 горизонтов.

Таблица 23

Горизонты и разделы	Гранулометрический состав, %			Износ азарином, % $\Delta_{pH}$	Износ азарином, % $\Delta_{pH}$	Износ азарином, % $\Delta_{pH}$	Износ азарином, % $\Delta_{pH}$
	$\wedge 0,25 \text{ mm}$	$0,1-0,01 \text{ mm}$	$>0,1 \text{ mm}$				
$KC-KC_1$	60	48	0,7	8,0	61,7	26,6	48
$KC_1$	25	85	16	0,3	7,6	62,2	29,9
$KC_1-KC_2$	7	92	3	0,2	5,0	61,9	32,9
$KC_2$	18	110	6	0,1	5,1	60,5	34,3
$KC_2-KC_3$	7	117	3	0,6	10,0	65,7	23,7
$KC_3$	38	155	23	0,7	11,9	61,2	26,2
$KC_3-KC_4$	9	164	6	0,3	3,4	65,8	30,5
$KC_4$	26	190	8	0,4	6,4	65,1	28,1
Среднее значение по всей $KC$	—	—	0,6	8,2	62,2	29,0	112
			113				8,3
							113
							26,0
							90
							0,231

Таблица 24

Горизонты и разделы	Породы, %	Pлохо отсортированные	Песчаные	Алевритовые	Песчано-глинистые
Горизонты Разделы		— 2,6	3,3 2,6	75,4 70,1	21,3 24,7
Среднее значение по всей КС		1,5	2,9	72,5	23,1

По данным Г. А. Ахмедова и Ж. Е. Арутюновой, пески, песчаники и алевриты отличаются повышенным содержанием кварца (72,0—75,0%). Зерна его полуокатанные, реже окатанные. Второе место после кварца занимают полевые шпаты (2,0—8,0%).

Остальная часть кластического материала выражена обломками пород, редкими зернами магнетита, ильменита, хлорита, мусковита, глауконита и др.

Песчаные и алевритовые породы cementированы здесь глинистым и известковистым веществом. Содержание цемента колеблется в пределах 10,0—20,0% и в единичных случаях доходит до 70,0—40,0%. Тип цементации контактный, поровый, реже—базальный.

### ПЛОЩАДЬ КИРМАКИНСКАЯ ДОЛИНА

Кирмакинская долина является одним из пунктов, где выходит на дневную поверхность кластический разрез одноименной свиты в полной своей мощности, равной 263 м. Характеристика пород коллектирована по 319 образцам.

По литологическому составу кирмакинская свита делится на верхи и низы КС, которые в свою очередь подразделяются на горизонты. Верхи КС делятся на четыре горизонта ( $I KC_1$ — $I KC_4$ ), а низы—на пять ( $II KC_1$ — $II KC_5$ ). Мощность их колеблется от 16 ( $II KC_3$ ) до 59 м ( $I KC_2$ ).

Гранулометрический состав песчаных и алевритовых пород кирмакинской свиты этого района характеризуется высоким содержанием фракции 0,1—0,01 мм.

Как видно из таблицы 25, различия в гранулометрическом составе пород для верхов и низов свиты не наблюдается.

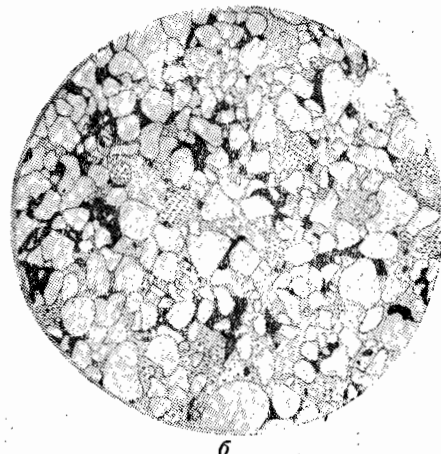
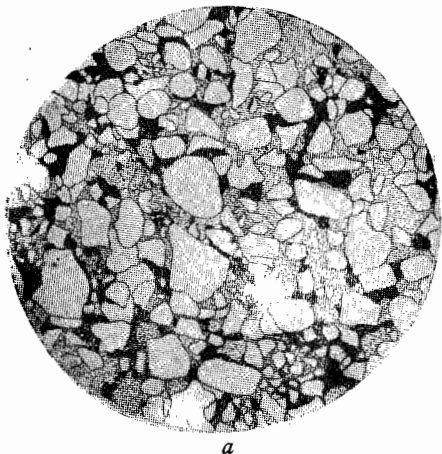
Средняя пористость песчаных и алевритовых пород довольно высокая. Значительных колебаний пористости пород для верхов и низов КС не наблюдается: в среднем для пород I КС она составляет 28,7, а для II КС—28,1%.

Эффективная пористость пород коллектированов колеблется от 1 до 22% (рис. 14). Повышенное значение эффективной пористости пород имеет место в средней и нижней части разреза.

Таблица 25

Средние данные о коллекторских свойствах песчаных и алевритовых пород площади Кирмакинской долины

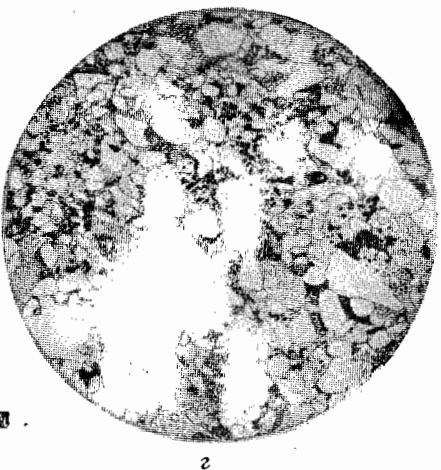
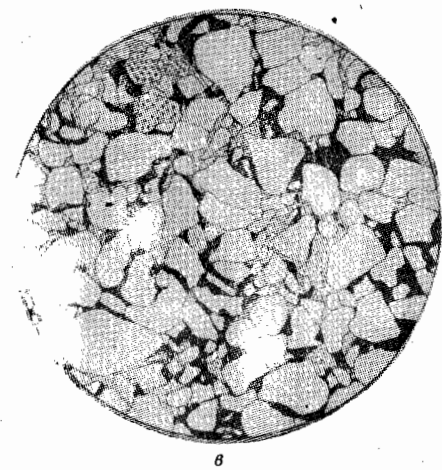
Горизонты	Мощность, м	Гранулометрический состав, %				$\Sigma$
		> 0,25 м.м.	0,25—0,1 м.м.	0,1—0,01 м.м.	< 0,01 м.м.	
$I KC_1$	37	37	25	0,6	11,0	67,2
$I KC_2$	96	59	0,9	1,6	10,0	70,8
$I KC_3$	133	37	48	0,3	16,1	69,4
$I KC_4$	160	27	39	0,5	16,1	63,5
Среднее значение по верхам	160	160	143	0,5	12,0	67,7
$II KC_1$	177	17	40	0,5	13,1	69,5
$II KC_2$	198	21	24	0,3	4,8	68,0
$II KC_3$	214	16	48	0,5	11,6	67,0
$II KC_4$	257	23	51	0,6	13,5	64,5
$II KC_5$	263	26	13	0,4	8,0	60,4
Среднее значение по низам	263	103	176	0,5	12,2	66,5
Среднее значение по всей КС	—	263	319	0,5	12,2	67,0



a

б

о-в Артема

a—КС<sub>1</sub>—П<sub>3</sub> 12%; Ф=0,006; б—КС<sub>2</sub>—П<sub>3</sub> 6%; Ф=0,014

в

г

Кирмакинская долина

в—I КС<sub>1</sub> П<sub>3</sub> 11%; Ф=0,008; г—II КС<sub>4</sub> П<sub>3</sub> 16%; Ф=0,005

Рис. 11

1—минералы и обломки пород; 2—пористое пространство; 3—глинистый цемент; 4—известковистый цемент

Проницаемость пород коллекторов этого района отличается значительным колебанием в пределах 0,009—0,555 *дарси* в крест напластования и 0,009—0,942 *дарси* по напластованию (см. Приложение, табл. IX).

Таблица 26

Подсвиты	Породы, %	Плохо отсортированные		Алевритовые	Песчано-глинистые
		Песчаные	Алевритовые		
Верхи КС Низы КС		0,7 1,1	11,9 9,7	86,7 87,5	0,7 1,7
Среднее значение по всей КС		0,9	10,7	87,1	1,3

Коллекторы кирмакинской свиты этого района представлены в основном алевритами (табл. 26). Другие разности пород наблюдаются крайне редко (рис. 12).

Терригенный материал коллекторов представлен кварцем (63,0—87,0%), полевыми шпатами (2,0—7,0%), обломками глинистых, кремнистых и карбонатных пород и другими минералами (8—10%).

#### ПЛОЩАДЬ КЕЙРЕКИШОР

Район Кейрекишор располагается в западной части Бинагадинского месторождения, где кирмакинская свита обнажается на дневной поверхности. Изученная мощность разреза—147 м. Характеристика коллекторов кирмакинской свиты этого района исследована по 159 образцам.

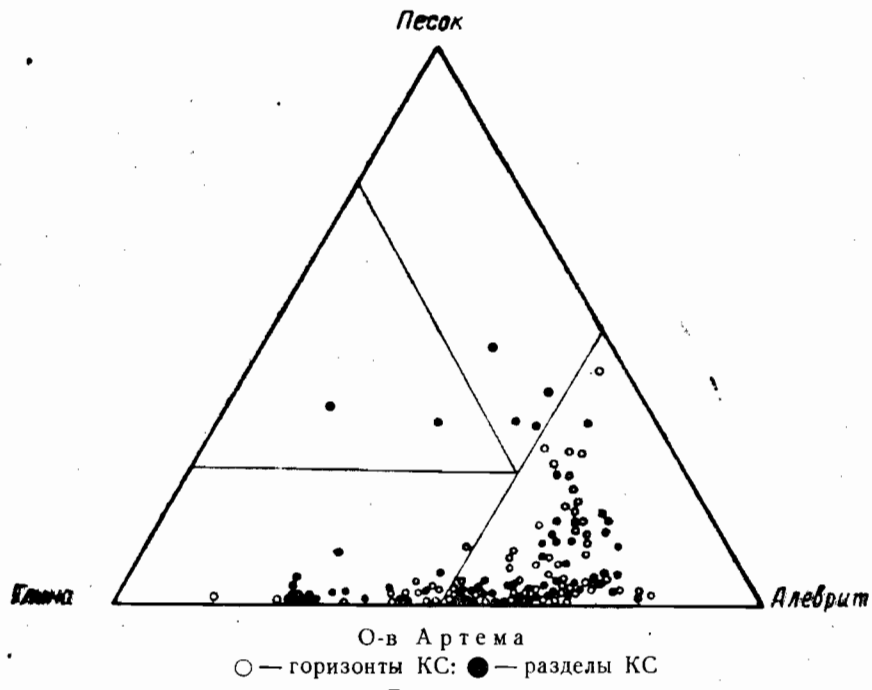
По литологическому составу разрез Кейрекишор подобен разрезу месторождения Бинагады.

Гранулометрический состав песчаных и алевритовых пород КС характеризуется значительным содержанием фракции 0,1—0,01 мм.

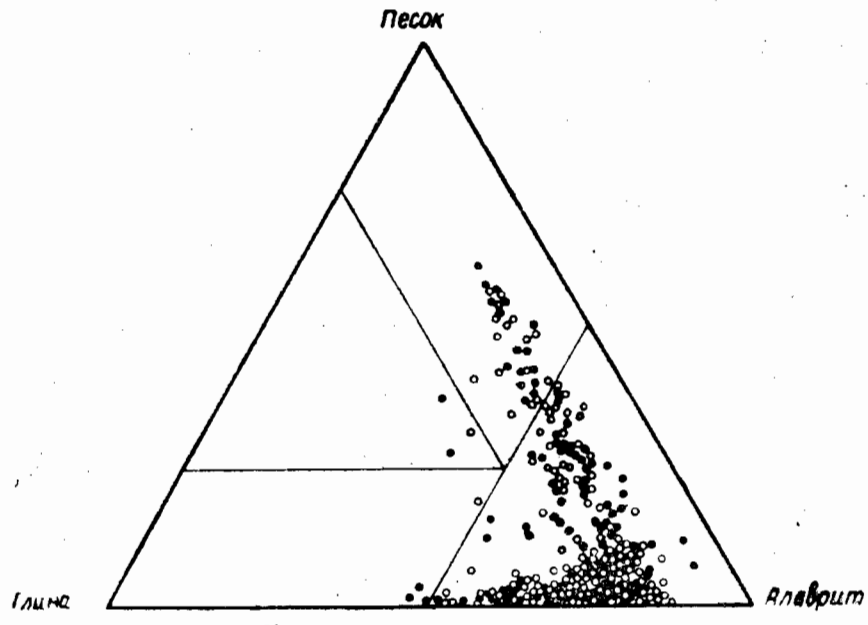
Для КС<sub>3</sub> характерно наибольшее содержание песчаной фракции >0,1 мм—12,4%; с глубиной увеличивается содержание фракции <0,01 мм. Так, для КС<sub>4</sub> она составляет (в средних числах) 32,6%. Карбонатность пород относительно невелика—11,0% (в средних числах), хотя диапазон колебания CaCO<sub>3</sub> широкий—от 3,0 до 37,5% (табл. 27).

Средняя пористость песчаных и алевритовых пород довольно высока и колеблется в интервале от 21,4 до 31,5%.

Проницаемость пород коллекторов района Кейрекишор (сравнительно небольшая и для всей кирмакинской свиты в среднем составляет 0,124 *дарси* при интервале колебаний 0,009—0,596 *дарси* (см. Приложение, табл. X).

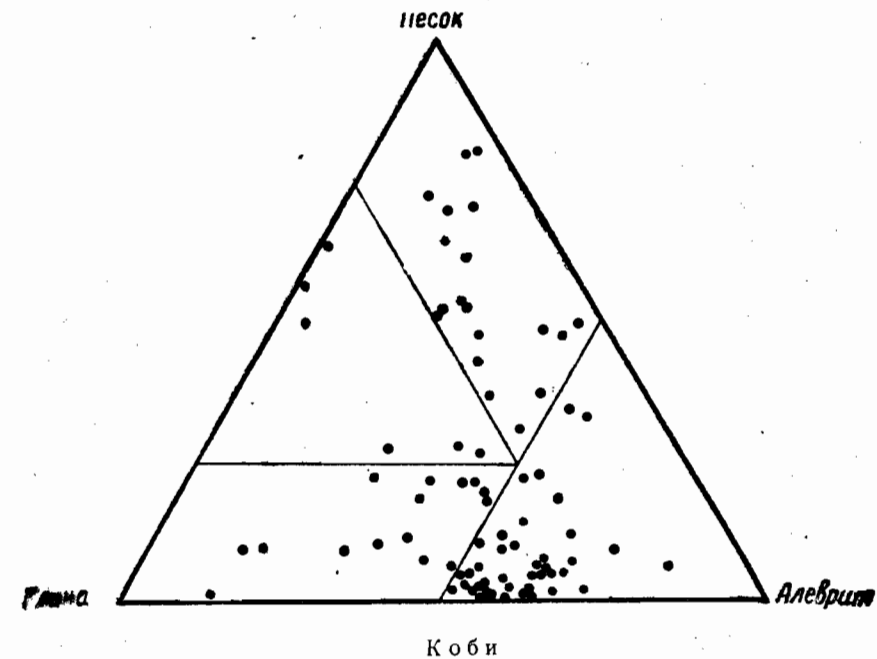


О-в Артема  
○ — горизонты КС; ● — разделы КС

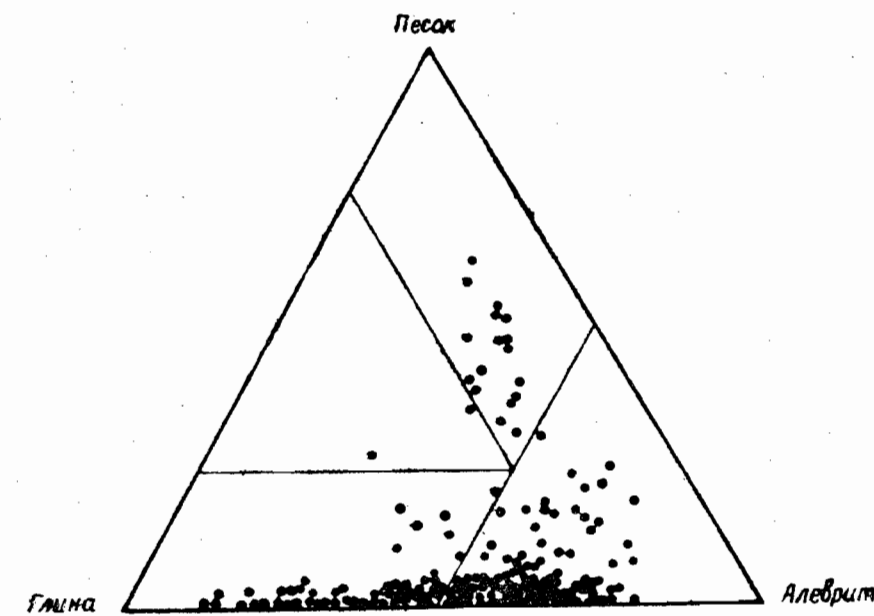


Кирмакинская долина  
○ — верхи КС; ● — низы КС

Рис. 12а



Коби  
○ — горизонты КС; ● — разделы КС



Кейрекишор  
○ — горизонты КС; ● — разделы КС

Рис. 12б

59

## Средние данные о коллекторских свойствах песчаных и алевритовых пород кирмакинской свиты площади Кейрекишор

Горизонты	Мощность, м	Гранулометрический состав, %				Капилляр- воздух- содержа- ние, %	Капилляр- воздух- содержа- ние, %	Гранулометрический состав, %		Капилляр- воздух- содержа- ние, %
		> 0,25 м.м.	0,25—0,1 м.м.	0,1—0,01 м.м.	< 0,01 м.м.			> 0,25 м.м.	0,25—0,1 м.м.	
KC <sub>1</sub>	50	50	17	4,0	14,9	52,4	28,7	20	18,0	14
KC <sub>2</sub>	45	95	80	0,7	9,0	58,0	32,3	80	9,8	79
KC <sub>3</sub>	10	105	10	0,4	15,7	55,8	28,1	10	10,0	10
KC <sub>4</sub>	42	147	41	0,2	6,7	60,5	32,6	40	10,0	40
Среднее значение по всей КС	—	—	148	0,9	9,5	57,6	31,7	150	11,0	143
Среднее значение по горизонтам	117	117	75	1,7	2,06	48,3	29,4	76	11,8	72

Табл. 28

Средние данные о коллекторских свойствах песчаных и алевритовых пород кирмакинской свиты площади Коби

Горизонты	Мощность, м	Гранулометрический состав, %				Капилляр- воздух- содержа- ние, %	Капилляр- воздух- содержа- ние, %	Гранулометрический состав, %				Капилляр- воздух- содержа- ние, %
		> 0,25 м.м.	0,25—0,1 м.м.	0,1—0,01 м.м.	< 0,01 м.м.			> 0,25 м.м.	0,25—0,1 м.м.	0,1—0,01 м.м.	< 0,01 м.м.	
KC <sub>1</sub>	42	42	14	0,5	6,4	59,2	33,9	13	9,2	14	29,3	6
KC <sub>2</sub>	30	72	15	1,1	20,4	51,7	26,8	16	10,0	15	28,4	12
KC <sub>3</sub>	13	85	2	0,6	24,1	53,7	21,6	3	9,6	2	37,6	4
KC <sub>4</sub>	32	117	44	2,3	25,0	43,5	29,2	44	13,3	41	32,9	31
Среднее значение по горизонтам	117	117	75	1,7	2,06	48,3	29,4	76	11,8	72	31,4	53
												0,181

## ПЛОЩАДЬ КОБИ

Коллекторы кирмакинской свиты этого района представлены в основном алевритами—59,4%; песчано-глинистые разности составляют 30,7%, песчаные—8,9%, а плохо отсортированные—1,0%.

Коллекторы этого района отличаются меньшей отсортированностью и большей цементацией. Тип цементации заполнения пор контактный, реже—базальный. Состав цемента известковистый и глинистый. Содержание его в песчаниках колеблется в пределах 3,0—12,0%, в алевролитах—8,0—95,8% (рис. 12 а, б.).

Район Коби является крайним западным пунктом обнажения кирмакинской свиты. Изученная часть разреза составляет 117 м. Характеристика коллекторов этого района исследована по 87 образцам.

По литологическому составу разрез Коби подобен разрезу месторождения Сулутепе.

Гранулометрический состав коллекторов кирмакинской свиты этого района характеризуется значительным содержанием фракции 0,1—0,01 м.м. Наибольшее содержание песчаной фракции (> 0,1 м.м.) характерно для подсвиты KC<sub>4</sub> (25,0%).

Карбонатность пород относительно невелика; содержание CaCO<sub>3</sub> в среднем для всей КС составляет 11,8% (табл. 28), интервал колебания CaCO<sub>3</sub> от 2,9 до 17,0% (см. Приложение, табл. XI).

Средняя пористость пород коллекторов довольно высокая—31,4% и колеблется в интервале от 10,8 до 43,6% (см. Приложение, табл. XI).

Проницаемость коллекторов этого района небольшая, в среднем для всей КС она составляет 0,181 дарси (табл. 28), интервал колебания—от 0,009 до 0,723 дарси (см. Приложение, табл. XI).

Небольшая проницаемость коллекторов КС площади Коби находится в тесной связи с литологическим составом, который представлен алевритовыми породами (50,0%), песчаными (18,0%), плохо отсортированными (23,5%) и песчано-глинистыми (8,5%).

## О ВОЗМОЖНОСТИ ИСПОЛЬЗОВАНИЯ КРИВОЙ ЗАВИСИМОСТИ ПРОНИЦАЕМОСТИ ОТ СОДЕРЖАНИЯ ФРАКЦИИ $<0,01 \text{ мм}$ ДЛЯ ОПРЕДЕЛЕНИЯ ПРОНИЦАЕМОСТИ ПОРОД КИРМАКИНСКОЙ СВИТЫ АПШЕРОНСКОГО ПОЛУОСТРОВА

Как известно, в большинстве случаев отбираемые из скважин керны по тем или другим причинам (рыхлое состояние, малый размер образцов и др.) бывают непригодными для определения величины их проницаемости. Не всегда из скважин, находящихся в бурении, можно взять образцы интересующих нас глубин (техническое состояние колонн, геологические условия и т. д.).

Кроме того, проницаемость, определяемая в лабораторных условиях, также не всегда соответствует действительной величине проницаемости пород коллекторов, из которых были отобраны образцы. Объясняется это, во-первых, тем, что керны могут иметь нарушенную структуру, незаметные на глаз микротрешины; во-вторых — несовершенством лабораторных исследований по определению проницаемости (загрязненностью торцевых поверхностей керна, уменьшением поверхности его живого сечения вследствие проникновения в поры глицерина при заделке керна во втулку.

При подсчете проницаемости по данным продуктивности скважин, к которому все чаще прибегают в настоящее время, особенно при отсутствии кернового материала, как известно, используется формула Дюпии. Применение этой формулы для подсчета проницаемости пластов в случае двухфазного потока „нефть – газ“ дает большие погрешности. Поэтому нами была сделана попытка установить степень зависимости между проницаемостью и содержанием фракции  $<0,01 \text{ мм}$  на основании накопленного большого фактического материала.

Выявленная таким образом зависимость между указанными параметрами может быть использована при исчислении проницаемости пород коллекторов кирмакинской свиты.

Такие зависимости были выявлены нами при характеристике коллекторов отдельных нефтяных месторождений Апшеронского полуострова (рис. 2 и 6). Кроме того, на основе накопленных к настоящему времени данных подобные же зависимости выявлены для всей кирмакинской свиты Апшеронского полуострова в целом. При этом было установлено, что наиболее тесная зависимость имеет место между проницаемостью и содержанием фракций  $< 0,01 \text{ мм}$  (рис. 13, 14).

Рис. 13

Корреляционная таблица проницаемости ( $K$ )—содержания фракции  $<0,01 \text{ м.м}$  для пород коллекторов кирмакинской свиты Апшеронского полуострова

Выявление указанной зависимости позволяет по сглаженной фактической кривой (проницаемость—содержание фракции  $<0,01 \text{ мм}$ ) определить с достаточной для практических целей точностью проницаемость любого образца коллектора.

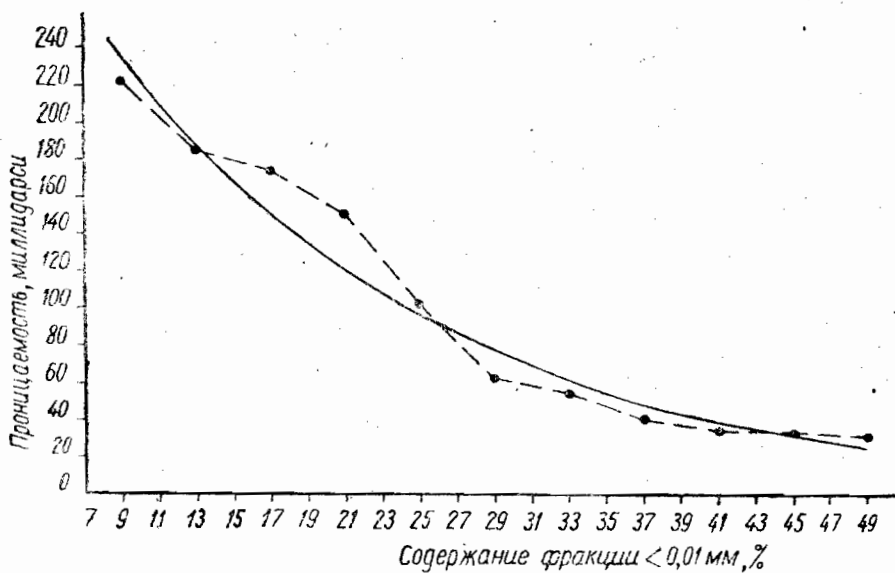


Рис. 14  
Зависимость между проницаемостью (К) и содержанием фракции  $<0,01 \text{ мм}$   
для пород коллекторов кирмакинской свиты Апшеронского полуострова

Используя результаты гранулометрического анализа большого количества образцов, которые по отдельным месторождениям даны в приложении, мы определили их проницаемость. Как следует из данных таблиц приложения, коэффициенты проницаемости, вычисленные по кривой зависимости проницаемости от фракции  $<0,01 \text{ мм}$  в ряде случаев очень близки к значению этого параметра, полученного в результате определения воздухопроницаемости пород коллекторов. Имея в виду это и вычислив проницаемость всех пород, для которых есть данные гранулометрического анализа, мы составили разрезы, характеризующие проницаемость пород коллекторов кирмакинской свиты следующих месторождений Апшеронского полуострова: Бибиэйбат, Бинагады, Чахнагляр, Сулутепе, Балаханы—Сабунчи—Раманы, Сурханы, Бузовны—Маштаги, Кала и о-в Артема (рис. 15).

Эти данные дают наглядное представление об изменении проницаемости пород коллекторов как по разрезам отдельных площадей, так и по всей территории Апшеронского полуострова и позволяют обосновать при выборе эксплуатационных объектов наиболее проницаемые интервалы разреза.

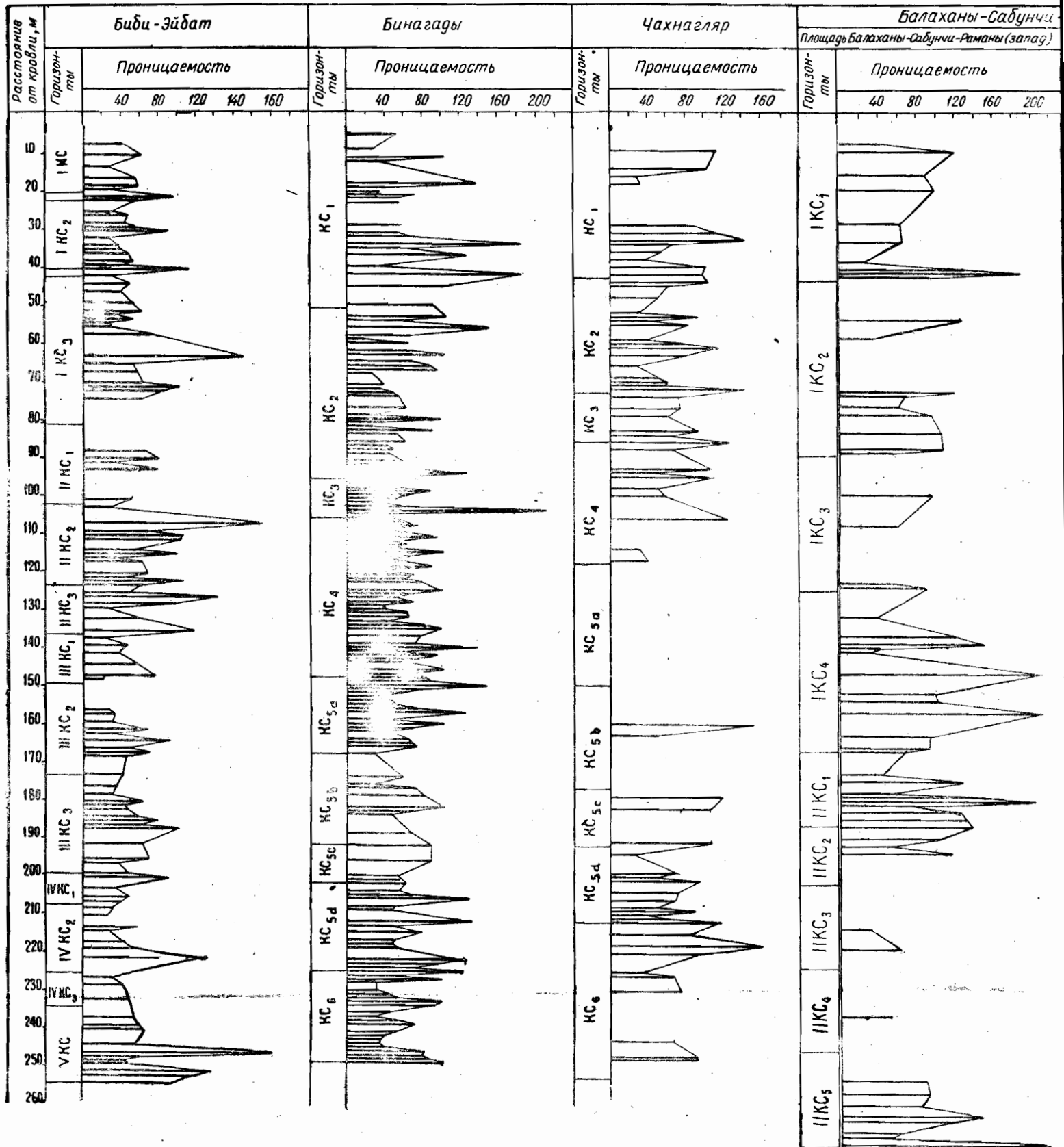


Рис. 15  
Проницаемость пород коллекторов кирмакинской свиты Апшеронского полуострова

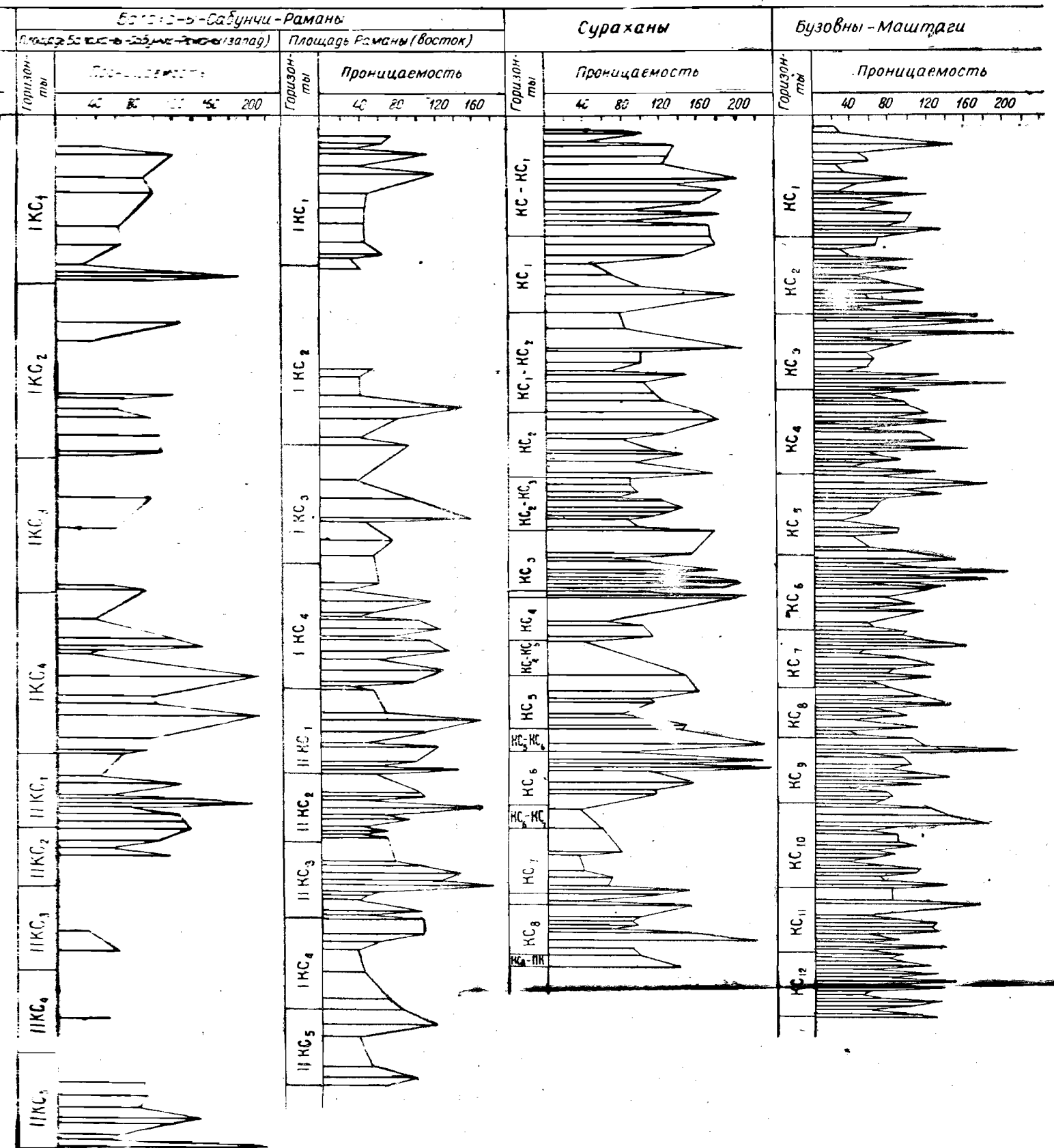


Рис. 15

Гранулометрический состав Амурского полуострова от содержания фракции < 0,01 мм

## НЕКОТОРЫЕ СООБРАЖЕНИЯ ОБ ИЗМЕНЕНИИ СВОЙСТВ ПОРОД КОЛЛЕКТОРОВ КИРМАКИНСКОЙ СВИТЫ АПШЕРОНСКОГО ПОЛУОСТРОВА

Большой теоретический и практический интерес представляет вопрос установления закономерности изменения коллекtorских свойств пород кирмакинской свиты Апшеронского полуострова. Такая закономерность может иметь локальный и региональный характер. Локальный характер присущ отдельным эксплуатационным площадям и районам и в значительной мере зависит от местных условий. Этот вопрос частично рассматривался нами при характеристике пород коллекторов отдельных площадей. В данном разделе мы остановимся на региональной изменчивости свойств пород коллекторов в пределах всего Апшеронского полуострова. Эта изменчивость находится в тесной связи с палеогеографическими условиями осадконакопления. В такой логической связи находятся прежде всего гранулометрический состав пород коллекторов и степень их цементации.

Посредством этих показателей может быть установлена связь пористости и проницаемости пород коллекторов с палеогеографией.

Следует оговориться, что связь пористости и проницаемости пород коллекторов с гранулометрическим составом может быть в значительной мере нарушена в результате вторичной цементации.

Дело в том, что, как это установлено петрографическими исследованиями, в изученных нами районах цементация пород коллекторов кирмакинской свиты носит преимущественно сингенетичный характер. Поэтому сильное влияние вторичной цементации на пористость и проницаемость пород коллекторов, повидимому, не имело места.

Для установления степени влияния фракции  $<0,01 \text{ мм}$  на проницаемость — основное свойство коллекторов пород кирмакинской свиты Апшеронского полуострова, составлены корреляционная таблица (рис. 13) и кривая зависимости (рис. 14). При этом были использованы все накопленные к настоящему времени данные по гранулометрическому составу и проницаемости пород коллекторов кирмакинской свиты.

Из корреляционной таблицы и кривой следует, что при повышении содержания фракции  $<0,01 \text{ мм}$  сильно уменьшается проницаемость пород коллекторов. Этот вывод, вытекающий из фациальных особенностей пород кирмакинской свиты, должен учитываться при

экстраполяции и изменчивости проницаемости на территории Апшеронского полуострова.

Переходя к анализу изменчивости коллекторских свойств пород рассматриваемой свиты, необходимо охарактеризовать исходные данные фактического материала по отдельным площадям. При этом первым обязательным условием для сопоставления результатов исследований по отдельным районам с целью выявления изменчивости коллекторских свойств пород является однородность первичного материала по стратиграфическому разрезу. Между тем, исходные данные, которыми мы располагаем в настоящее время, в полной мере не отвечают этому условию.

Задача еще более осложняется в связи с необходимостью сопоставления данных по образцам из скважин и с полевого сбора. Выяснение степени несоответствия между теми и другими данными в настоящее время невозможно из-за отсутствия бесспорных сравнительных данных. По поводу этого можно сказать только следующее: из скважин выбираются лишь наименее благоприятные образцы пород, которые, благодаря своей уплотненности, сохраняются, а рыхлые и наиболее проницаемые и пористые разности разрушаются и на исследование не попадают. Что касается образцов из обнажений, то они, правильно отражая сравнительную картину строения разреза, дают повышенные значения пористости и проницаемости вследствие разрушающего влияния на них атмосферных агентов.

Таким образом, средние значения пористости и проницаемости, вычисленные по образцам из скважин, дают уменьшенные величины, а по образцам из полевых обнажений—увеличенные, по сравнению с фактическими средними значениями для соответствующих частей разреза. Имея в виду эти замечания, попытаемся осветить по накопленным данным фактическую картину региональной изменчивости коллекторов.

Из литературы [4,6] известно, что в период формирования осадков кирмакинской свиты Апшеронского полуострова основной кластический материал, послуживший для ее образования, переносился с севера, разрушая сушу, расположенную в Каспийском перешейке, погребенном в настоящее время в море. Этому вполне соответствуют и выводы, вытекающие из анализа результатов гранулометрического состава пород коллекторов кирмакинской свиты, средние значения которых по отдельным районам сведены в таблицу 29.

Из этой таблицы следует, что, судя по содержанию фракций  $>0,1 \text{ мм}$ , районы, расположенные относительно севернее (Балаханы, Раманы и Бинагады), были наиболее близко связаны с источниками сноса кластического материала, так как породы кирмакинской свиты этих районов больше всех обогащены песчаной фракцией. К югу и юго-западу от указанных районов содержание песчаной фракции уменьшается, уступая место глинистым разностям. В соответствии с этим и происходит уменьшение проницаемости пород коллекторов КС. Так, например, если в районах, расположенных в относительно северной части Апшеронского полуострова (Балаханы,

Таблица 29

Районы	Гранулометрический состав, %						Капиллярное напряжение, %	Проницаемость, дарси	$\Delta \sigma_{\text{предн}} > 0,1 \text{ мкбарин}$
	> 0,25			0,25—0,1		< 0,01			
	м.м	м.м	м.м	м.м	м.м	м.м			
О-в Артема (суша) (море)	23 28	3,6 0,2	6,6 5,7	53,5 60,2	33,9 27,3	1 772	7,2 11,1	13 27,3	25,9 323
Бузовны	536	1,2	13,4	58,1	21,3	68	10,4 11,5	2,6 63	0,100 0,269
Кала	70	1,4	9,1	68,2	23,4	187	11,8	179	0,119
Сурханы	182	1,2	16,7	58,7					0,120
Балаханы—Сабунчи—									
Раманы (запад)	74	4,3	14,1	56,1	25,5	91	12,3 11,6	71 106	24,1 24,2
Раманы (восток)	109	0,9	21,0	48,0	30,1	106	11,6 12,2	38	26,4 380
Кошанаур	37	2,3	10,7	59,0	28,0	36	12,2 15,7	15,7	22 24,5
Бинагады	393	3,0	13,7	51,7	31,6	370	14,9 15,6	190	15,8 23,9
Чахнагиль	160	2,0	14,5	53,5	30,0	146	14,9 15,6	32	0,110 0,142
Сулутепе	23	0,7	12,0	57,0	30,3	17	15,6 11,3	24,8 275	0,118 17,8
Бибейбат	247	0,7	19,7	44,7	34,9	197	11,3	275	0,050
Среднее значение по образцам из скважин	1882	1,7	14,8	54,2	29,3	1992	12,5	1905	20,2
О-в Артема*	113	0,6	8,2	62,2	29,0	112	8,3	113	26,0
Кирмакинская долина*	319	0,5	12,1	67,0	20,4	—	—	243	91
Кебрекишор*	148	0,9	9,5	57,9	31,7	150	11,0	143	28,4
Кори*	75	1,7	20,6	48,3	29,4	76	11,8	72	29,3
Среднее значение по образцам естественных обнажений	655	1,7	11,8	62,0	25,5	3'8	10,3	571	31,4
Среднее значение по всем КС	2537	1,5	14,0	55,2	28,3	2330	12,2	2476	22,1
									1311 0,155

Понтервальные значения карбонатности коллекторов кирмакинской свиты Ашшеронского полуострова

Районы	Интервалы значений карбонатности, %										Среднее значение анализа скважин, %			
	Ч и с л о с л у ч а е в													
	15—17	17—19	19—21	21—23	23—25	25—27	27—29	29—31	31—33	33—35	35—37	37—39	39—41	41—43
О-в Артема	—	—	—	—	—	—	—	—	—	—	—	—	—	—
Бузорны	—	—	—	—	—	—	—	—	—	—	—	—	—	—
Кала	—	—	—	—	—	—	—	—	—	—	—	—	—	—
Сураханы—Сабунчи	—	—	—	—	—	—	—	—	—	—	—	—	—	—
Раманы	—	—	—	—	—	—	—	—	—	—	—	—	—	—
Бинагады, Чахнаг- ляр, Сулутепе	—	—	—	—	—	—	—	—	—	—	—	—	—	—
Бибиэйбат	—	—	—	—	—	—	—	—	—	—	—	—	—	—
Среднее значение по образцам из сква- жин	1	98	310	507	408	264	146	98	59	42	18	11	13	5
О-в Артема*	1	22	71	14	2	—	—	—	—	—	—	—	—	—
Кейрекипор*	2	7	53	61	9	6	1	—	—	—	—	—	—	—
Коби*.	4	9	26	21	6	1	—	—	—	—	—	—	—	—
Среднее значение по образцам естеств. обнажен.	7	36	150	96	17	7	2	4	1	—	2	1	4	—
Среднее значение по всей КС	8	136	460	603	425	271	148	102	60	42	19	11	15	6

\* Анализы естественных обнажений.

Бузовны, Бинагады), проницаемость пород коллекторов КС по образцам из скважин в общем составляет значительно больше 0,100 дарси, а местами даже больше 0,200 дарси (Бузовны—Маштаги), в Сураханах средняя проницаемость снижается уже до 0,064 дарси, а в Бибиэйбате—до 0,050 дарси.

То же самое наблюдается и по образцам, взятым из обнажений. Так, например, средняя проницаемость пород коллекторов КС на о-ве Артема составляет 0,231 дарси, в Кирмакинской долине средние цифры проницаемости—0,152 дарси, а в районе Коби—0,181 дарси (табл. 29).

Указанные выводы находятся в прямой зависимости от степени залегенности пород коллекторов КС и их отсортированности. Увеличение в коллекторах содержания  $\text{CaCO}_3$  наблюдается также по направлению с северо-востока на юго-запад, в чем легко убедиться при рассмотрении таблицы 29.

На таблице 30 даны поинтервальные значения коллекторов кирмакинской свиты.

Таким образом, соображения о направлении изменчивости коллекторских свойств подтверждаются сравнением свойств коллекторов восточного и западного Ашшерона. При этом напрашивается вывод об ухудшении коллекторских свойств пород кирмакинской свиты Ашшеронского полуострова в направлении с северо-востока на запад и юго-запад.

О том, как отражается эта закономерность в южном направлении, трудно сказать что-нибудь определенное, в связи с отсутствием данных о коллекторах кирмакинской свиты районов Каракучур, о-в Песчаный и других площадей. Надо полагать, что к югу, примерно от о-ва Песчаный, степень залегенности коллекторов кирмакинской свиты увеличится, что отрицательно отразится на отсортированности осадков и на их проницаемости.

Для установления границ распространения зон коллекторов по принятой нами в этой работе классификации требуются дополнительные фактические данные по изучению эффективной пористости и гранулометрии, на основании которых легко удастся вычислить примерное значение проницаемости пород.

В заключение считаем необходимым подчеркнуть, что вытекающие из нашего исследования выводы являются самым первым приближением к действительности, так как данные, положенные в основу их, являются далеко не исчерпывающими.

## Выходы

1. Кирмакинская свита Ашшеронского полуострова выражена тонким чередованием песков, алевритов и глин. Ей свойственна резкая фациальная изменчивость как по разрезу, так и по площади распространения. При этом особенно сильно изменяется характер песчаных и алевритовых прослоев, которые по простиранию часто переходят в более мелкозернистые разности.

Понтервальные значения пористости коллекторов кирмакинской свиты Ашхорского полуострова

Районы	Интервалы значений пористости, %										Интервалы значений пористости, %											
	40-42	38-40	36-38	34-36	32-34	30-32	28-30	26-28	24-26	20-22	18-20	16-18	14-16	12-14	10-12	8-10	6-8	4-6	2			
	Ч и с л о с л у ч а е в										Ч и с л о с л у ч а е в											
О-в Артема	—	—	—	—	—	—	—	—	—	—	—	—	—	—	—	—	—	—	—	39	26,8	
Бузовны	—	—	—	—	—	—	—	—	—	—	—	—	—	—	—	—	—	—	—	532	24,8	
Кала	—	—	—	—	—	—	—	—	—	—	—	—	—	—	—	—	—	—	—	63	23,3	
Сураханы—Сабунчи—	—	—	—	—	—	—	—	—	—	—	—	—	—	—	—	—	—	—	—	179	20,5	
Балханы, Чахнаглер,	—	—	—	—	—	—	—	—	—	—	—	—	—	—	—	—	—	—	—	215	24,5	
Бинагады	—	—	—	—	—	—	—	—	—	—	—	—	—	—	—	—	—	—	—	602	24,2	
Сулутепе	—	—	—	—	—	—	—	—	—	—	—	—	—	—	—	—	—	—	—	275	17,8	
Бибийбат	—	—	—	—	—	—	—	—	—	—	—	—	—	—	—	—	—	—	—	5	17,8	
Среднее значение по образцам из скважин	—	7	5	9	21	75	76	113	164	242	283	346	244	208	62	47	3	—	—	1905	20,2	
О-в Артема*	—	—	—	—	—	—	—	—	—	—	—	—	—	—	—	—	—	—	—	1	113	26,0
Кирмакинская долина*	—	—	—	—	—	—	—	—	—	—	—	—	—	—	—	—	—	—	—	243	28,4	
Кейрекишор*	—	—	—	—	—	—	—	—	—	—	—	—	—	—	—	—	—	—	—	2	29,3	
Коби*	—	—	—	—	—	—	—	—	—	—	—	—	—	—	—	—	—	—	—	5	72	31,4
Среднее значение по образцам из естественных обнажений	3	1	3	1	3	3	3	4	6	15	33	5	98	130	97	61	31	11	5	8	57	28,5
Среднее значение по всей КС	3	8	8	10	24	78	79	117	170	257	316	401	342	338	159	108	34	11	5	8	2476	22,1

\* Анализы образцов из естественных обнажений.

Таблица 2

## Понтервальные значения проницаемости коллекторов кирмакинской свиты Ашхорского полуострова

Районы	Интервалы проницаемости, миллидара										Интервалы проницаемости, миллидара										Ч и с л о с л у ч а е в		
	1-50	50-100	100-150	150-200	200-250	250-300	300-350	350-400	400-450	450-500	500-550	550-600	600-650	650-700	700-750	750-800	800-850	850-900	900-950	950-1000	1000-1050	1050-1100	
	Ч и с л о с л у ч а е в										Ч и с л о с л у ч а е в										Ч и с л о с л у ч а е в		
О-в Артема	8	3	1	3	36	16	19	11	11	7	6	—	—	—	—	—	—	—	—	—	—	—	—
Бузовны	96	40	35	3	1	2	—	—	—	—	—	—	—	—	—	—	—	—	—	—	—	—	—
Кала	26	7	3	1	8	3	2	—	—	—	—	—	—	—	—	—	—	—	—	—	—	—	—
Сураханы—Сабунчи—	60	22	10	8	—	—	—	—	—	—	—	—	—	—	—	—	—	—	—	—	—	—	—
Балханы—Сабунчи—	45	24	9	5	4	2	3	1	1	1	1	—	—	—	—	—	—	—	—	—	—	—	—
Раманы	104	48	43	17	13	5	6	7	8	1	1	1	1	1	1	2	1	—	—	—	—	—	—
Бинагады, Чахнагляр,	72	29	11	3	—	4	1	—	1	1	—	—	—	—	—	—	—	—	—	—	—	—	—
Сулутепе	—	—	—	—	—	—	—	—	—	—	—	—	—	—	—	—	—	—	—	—	—	—	—
Бибийбат	—	—	—	—	—	—	—	—	—	—	—	—	—	—	—	—	—	—	—	—	—	—	—
Среднее значение по образцам из скважин	411	173	112	73	39	32	24	21	17	10	10	7	6	10	4	4	4	4	4	2	1	12	9720,153
О-в Артема*	11	22	14	10	10	6	3	2	—	—	—	3	3	4	1	1	1	1	1	—	—	—	—
Кирмакинская долина*	25	21	11	2	7	4	1	2	1	3	2	1	3	2	1	1	1	1	1	—	—	—	910,231
Кейрекишор*	44	24	7	9	3	1	3	4	2	3	—	—	—	—	—	—	—	—	—	—	—	—	—
Коби*	18	9	6	2	3	1	3	4	2	3	—	—	—	—	—	—	—	—	—	—	—	—	—
Среднее значение по образцам из естественных обнажений	98	76	26	23	30	17	11	10	3	7	8	6	5	2	3	—	1	1	1	1	1	1	1
Среднее по всей КС	509	249	148	96	69	49	35	31	20	17	18	13	11	12	7	4	5	3	2	13	131	0,157	

\* Анализы образцов из естественных обнажений.

2. Результаты изучения коллекторских свойств песчаных, алевритовых и плохо отсортированных пород кирмакинской свиты по естественным обнажениям показывают (табл. 31), что пористость их изменяется в пределах 3,1—43,6% (средняя пористость—28,5%), а проницаемость—в пределах 0,009—0,950 дарси (средняя проницаемость—0,169 дарси). В образцах, взятых из скважин (табл. 32), пористость изменяется от 9,1 до 40,0% (средняя пористость—20,2%), проницаемость—от 0,009 до 0,985 дарси (средняя проницаемость—0,153 дарси). Относительно заниженные значения пористости и проницаемости пород кирмакинской свиты, изученных по образцам из скважин, объясняются выпадением наиболее рыхлых разностей пород при взятии их грунтоносом. Увеличение же значения указанных коэффициентов у пород, взятых из обнажений, следует объяснить разрушающим влиянием атмосферных агентов. В основе оценки коллекторов пород кирмакинской свиты могут быть положены, в первом приближении, промежуточные значения между теми и другими данными.

3. Приведенные показатели средних значений пористости и проницаемости пород коллекторов кирмакинской свиты Апшеронского полуострова (табл. 31, 32) свидетельствуют о принадлежности их к группе среднепроницаемых разностей коллекторов по принятой в этой работе классификации.

4. Составленные разрезы изменения коллекторских свойств пород кирмакинской свиты для отдельных площадей Апшеронского полуострова дают возможность выделить горизонты, представляющие наибольший интерес с точки зрения их эксплуатационной значимости. Эти же данные послужат хорошим критерием для рационального расчленения разреза КС на отдельные горизонты и на основе этого позволят выработать единую разбивку кирмакинской свиты по всей территории Апшеронского полуострова.

5. Аналитическая обработка имеющихся данных о коллекторских свойствах кирмакинской свиты Апшеронского полуострова показала наличие обратной зависимости между проницаемостью и содержанием фракции  $<0,01$  мм; с увеличением содержания фракции  $<0,01$  мм проницаемость пород коллекторов уменьшается. Коэффициент корреляции ( $r$ ), определяющий эту зависимость, оказался в отрицательных значениях для следующих месторождений: о-в Артема—0,882, Бузовны—0,352, Кала—0,435, Сураханы—0,383, Балаханы—Сабунчи—Раманы—0,650, Бинагады, Чахнагляр и Сулутепе—0,657, Бибиэйбат—0,730, для всей КС—0,528.

Эта зависимость позволяет с достаточной для практических целей точностью характеризовать проницаемость слагающих кирмакинскую свиту коллекторов, если известен их гранулометрический состав.

Этот вывод имеет большое практическое значение, поскольку образцы-керны по тем или иным причинам не всегда пригодны для определения проницаемости, а для анализа гранулометрического состава пород таких затруднений почти не наблюдается.

На основании установленной зависимости были составлены раз-

резы (рис. 15), характеризующие проницаемость коллекторов КС ряди месторождений Апшеронского полуострова.

6. Говоря о региональной изменчивости пород кирмакинской свиты Апшеронского полуострова, можно констатировать относительное ухудшение коллекторских свойств в целом в направлении с севера и северо-востока на юг и юго-запад, что находится в тесной связи с палеогеографическими условиями осадконакопления.

## ЛИТЕРАТУРА

1. А в д у с и н П. П. Структура коллекторов нефти. „Изв. АН Азерб. ССР“, 1947, № 6.
2. А в д у с и н П. П., Б а т у р и н В. П. и В а р о в а З. И. Опыты определения влияния минералогического состава песков на фильтрацию через них нефти. НХ, 1937, № 1.
3. А ли е в А. Г. и Па ш а лы Н. В. Результаты изучения пород коллекторов свиты ПК продуктивной толщи Апшеронского полуострова в зависимости от их физических свойств. Тр. Ин-та геологии АН Азерб. ССР, т. XIII, 1947.
4. А ли е в а А. Г. Петрография третичных отложений нефтеносных областей Азербайджана. Азнефтеиздат, 1949.
5. Б а т у р и н В. П. Минералогический состав и нефтеотдача песков. АНХ, 1932, № 2.
6. Г о р и н В. А. Продуктивная толща Апшеронского полуострова. АзОНТИ, 1938.
7. К о с с о в с к а я А. Г. Фациально-минералогические типы глин продуктивной толщи Азербайджана. „Изв. АН Азерб. ССР“, серия геол., 1952, № 4 и 6.
8. Преображенский И. А. Определение пористости несыпучих пород. АНХ, 1931, № 1.
9. Преображенский И. А. Определение пористости сыпучих пород. Тр. АзНИИ, в. V, 1932.
10. П р о з о р о в и ч Э. А. Пористость и механический состав песков и песчаников промысловых площадей Апшеронского полуострова. ОНГИ, в. XXVIII, 1935.
11. Требин Ф. А. Некоторые особенности движения нефти в песчаных породах. НХ, 1937, № 10.

## ПРИЛОЖЕНИЕ

Таблица I

Характеристика коллекторских свойств пород кирмакинской свиты  
площади о-в Артема (суша)

Горизонты и разделы	Мощность, м	Расстояние от кровли по нор- мальной мощности, м	Гранулометрический состав, %				Средневзвешен. диаметр зерен, м	Карбональность, %	Пористость, %	Проницае- мость, дарси	
			> 0,25 мм	0,25—0,1 мм	0,1—0,01 мм	< 0,01 мм					
1	2	3	4	5	6	7	8	9	10	11	12
KC <sub>1</sub>	25	72	3,4	6,3	59,2	31,1	0,055	—	—	—	0,069
KC <sub>2</sub>	18	101	—	0,1	57,5	42,4	0,034	—	—	—	0,037
“	18	105	—	—	—	—	—	7,2	—	—	—
“	18	108	0,5	0,7	57,5	41,3	0,036	—	27,6	—	0,039
KC <sub>3</sub>	38	126	0,1	0,2	69,2	30,5	0,040	—	28,6	0,046	0,071
KC <sub>4</sub>	26	188	40,0	31,2	21,5	7,3	0,087	—	—	—	—
KC <sub>4a</sub>	9	209	0,2	2,2	49,2	48,4	0,069	—	26,0	0,025	0,027
“	9	212	—	0,2	58,2	41,6	0,034	—	27,7	0,061	0,039
KC <sub>4a</sub> —KC <sub>5</sub>	13	219	0,1	0,2	62,2	37,5	0,037	—	—	—	0,048
KC <sub>5</sub>	12	230	0,2	0,4	57,9	41,5	0,035	—	21,1	—	0,039
KC <sub>5</sub> —KC <sub>5a</sub>	17	241	0,5	12,5	49,0	38,0	0,052	—	30,0	—	0,047
“	17	242	0,2	0,5	60,9	38,4	0,037	—	30,6	—	0,046
“	17	244	2,3	7,3	56,0	24,4	0,057	—	—	—	0,100
“	17	250	0,1	0,5	58,0	41,4	0,035	—	24,4	—	0,039
“	17	252	0,3	0,3	50,3	49,1	0,031	—	26,0	—	0,026
KC <sub>5a</sub>	12	256	0,1	6,2	63,2	30,5	0,047	—	—	—	0,071
“	12	257	6,1	19,6	53,3	21,0	0,084	—	28,4	—	0,121
“	12	258	0,2	1,1	52,5	46,2	0,051	—	—	—	0,030
“	12	264	0,9	13,6	46,7	38,8	0,054	—	22,8	—	0,034
“	12	273	7,8	14,7	45,2	32,3	0,074	—	14,4	—	—
“	12	284	4,8	4,8	46,5	43,9	0,050	—	—	—	—

Окончание таблицы I

## Площадь о-в Артема (море)

1	2	3	4	5	6	7	8	9	10	11	12
KC <sub>1</sub>	20	71	0,2	11,0	68,1	20,7	0,058	—	—	—	0,123
•	20	85	0,1	2,8	57,2	39,9	0,039	—	20,8	—	0,042
KC <sub>2</sub>	33	92	0,4	1,9	59,9	37,8	0,037	—	26,7	—	0,048
KC <sub>3</sub>	21	128	0,2	0,4	65,9	33,5	0,039	—	27,9	0,021	0,060
•	21	130	0,1	1,2	52,9	45,8	0,034	—	19,5	0,017	0,031
•	21	133	0,1	0,2	69,3	30,4	0,040	—	28,6	0,046	0,071
•	21	137	0,2	10,9	53,7	35,2	0,051	—	23,9	—	0,065
•	21	138	0,2	0,4	68,5	30,9	0,041	—	27,6	0,060	0,070
•	21	139	0,1	0,9	57,6	41,4	0,036	—	22,5	0,032	0,039
•	21	141	0,1	0,2	54,7	45,0	0,038	—	27,6	—	0,055
•	21	142	0,1	0,4	55,5	44,0	0,034	—	24,5	0,012	0,034
•	21	143	0,1	1,0	70,2	28,7	0,042	—	24,4	—	0,079
•	21	147	0,1	0,2	66,9	32,8	0,039	—	27,9	0,010	0,062
KC <sub>4</sub> —KC <sub>4a</sub>	4	205	0,1	0,3	58,7	40,9	0,035	—	29,6	—	0,038
•	4	207	0,1	0,5	52,5	46,9	0,035	—	25,3	—	0,030
•	4	208	0,4	9,7	66,4	23,5	0,056	—	32,4	—	0,105
KC <sub>4a</sub>	13	219	0,4	15,2	62,2	22,2	0,063	—	31,5	0,150	0,113
KC <sub>5</sub>	10	232	0,9	28,2	34,2	36,7	0,007	—	30,1	—	0,053
•	10	235	0,6	18,5	52,5	28,4	0,065	—	30,2	—	0,080
•	10	240	0,2	0,4	60,2	39,2	0,036	—	28,0	—	0,044
KC <sub>5</sub> —KC <sub>5a</sub>	8	245	0,2	14,7	59,7	25,4	0,060	—	29,0	0,087	0,094
KC <sub>5a</sub>	26	251	0,2	0,9	59,3	39,6	0,037	—	16,9	—	0,043
•	26	253	0,3	0,9	57,9	40,9	0,036	—	33,8	—	0,040
•	16	254	0,3	3,4	68,4	27,9	0,046	—	33,0	0,073	0,082
•	16	258	0,1	0,3	63,7	35,9	0,038	—	29,9	—	0,053
•	16	262	0,4	16,4	43,4	39,8	0,056	—	20,4	—	0,053
•	16	263	0,2	7,2	67,2	25,4	0,051	10,4	26,4	—	0,094

Таблица II

## Характеристика коллекторских свойств пород кирмакинской свиты площади Бузовны—Маштаги

Горизонты	Мощность, м	Гранулометрический состав, %				Карбонатность, %	Пористость, %	Проницаемость, дарси	
		по данным исследованной керновой зависимости						по данным фракции	
		> 0,25 мм	0,25—0,1 мм	0,1—0,01 мм	< 0,01 мм	Среднезернистый диаметр зерен, мм	1	1	2
KC <sub>1</sub>	30	1	0,6	8,6	41,5	49,3	0,042	11,0	17,7
		3	0,5	7,6	47,4	44,5	0,043	10,1	16,1
		4	—	—	—	—	—	—	—
		6	0,1	36,5	45,5	17,9	0,090	6,0	25,2
		8	—	4,7	56,8	38,5	0,041	11,8	14,01
		10	0,1	3,9	62,8	33,2	0,043	13,2	25,8
		11	—	0,5	50,0	49,5	0,039	10,3	24,5
		13	0,8	22,6	32,6	44,0	0,062	11,9	10,5
		15	—	1,5	74,5	24,0	0,043	10,2	29,4
		16	0,2	0,3	61,5	38,0	0,037	12,1	22,3
		18	0,3	4,7	44,2	50,8	0,036	10,3	25,1
		19	0,3	23,1	55,6	21,0	0,073	9,7	25,2
		20	0,5	4,5	58,4	36,6	0,036	9,5	31,0
		21	0,1	0,3	72,5	27,1	0,042	11,1	21,4
		22	—	—	—	—	—	10,5	—
		23	0,1	0,6	59,7	39,6	0,086	11,0	23,9
		24	0,3	9,3	67,3	23,1	0,055	6,1	29,0
		26	0,3	1,1	74,2	24,4	0,043	10,0	28,9
		27	0,2	9,4	60,1	30,3	0,052	10,3	30,0
		28	0,3	36,7	43,8	19,2	0,090	11,0	29,0
		29	0,6	12,2	62,5	24,7	0,059	10,8	24,0
		30	0,5	9,0	59,6	30,9	0,052	11,1	20,1
		32	0,9	11,9	56,2	31,0	0,056	16,6	11,5
		33	—	2,5	47,2	50,3	0,033	11,4	23,7
		34	—	—	—	—	—	13,2	20,6
		35	0,5	13,7	45,9	39,9	0,090	21,3	24,8
		36	0,2	17,9	58,5	23,4	0,065	18,8	25,9
		37	0,3	9,3	45,3	45,1	0,044	12,5	24,7
		38	0,2	2,4	74,0	23,4	0,047	6,7	26,4
		40	0,4	3,6	53,7	42,3	0,039	13,0	22,5
		41	0,4	3,9	63,7	32,0	0,045	12,9	24,2
		42	0,3	3,3	68,8	27,6	0,049	12,2	24,5
		44	0,4	10,7	67,5	21,4	0,060	12,3	27,3

Продолжение таблицы II

1	2	3	4	5	6	7	8	9	10	11	12
KC <sub>2</sub>	20	45	0,5	20,1	44,1	35,3	0,061	10,7	23,4	0,204	0,055
		46	0,6	5,9	59,9	33,6	0,047	12,9	28,9	—	0,060
		47	1,4	1,6	75,3	21,7	0,050	15,8	23,8	0,052	0,116
		48	0,3	3,6	44,0	52,1	0,087	13,6	21,2	0,012	0,023
		49	—	2,6	65,8	31,6	0,042	10,5	21,9	—	0,067
		50	0,7	22,8	61,9	14,6	0,077	10,6	26,5	0,163	0,178
KC <sub>2</sub>	20	51	0,1	4,5	69,7	25,7	0,048	10,4	26,3	0,985	—
		52	5,4	52,5	28,9	13,2	0,110	9,5	25,0	—	0,187
		53	0,3	1,0	71,7	27,0	0,043	—	26,3	—	0,086
		54	0,3	2,7	58,1	43,9	0,037	8,4	26,7	—	0,034
		55	0,6	23,6	65,0	10,8	0,079	11,6	28,0	0,327	0,213
		56	0,1	6,3	49,5	44,1	0,041	12,4	25,4	0,072	0,033
		57	0,1	1,4	74,6	23,9	0,045	10,5	23,0	0,044	0,103
		58	0,1	6,0	66,0	27,9	0,049	11,4	25,0	—	0,082
		59	0,1	6,3	57,7	35,9	0,045	10,4	26,2	—	0,053
		60	0,1	0,5	64,3	35,1	0,054	12,7	30,8	0,027	0,055
		61	—	—	—	—	—	12,0	29,3	—	—
		62	0,3	12,1	55,1	32,5	0,054	11,4	24,1	0,727	—
		64	0,1	1,6	64,3	34,0	0,040	11,2	28,3	0,195	0,059
		65	0,2	3,7	47,3	48,8	0,036	9,4	22,5	0,054	0,026
		66	2,2	11,7	66,9	19,2	0,065	10,4	28,0	0,408	0,134
		67	0,3	3,9	66,6	29,2	0,046	13,0	23,3	0,038	0,076
		68	1,2	34,9	52,4	11,5	0,094	10,4	25,9	0,391	0,205
		69	1,8	29,2	36,1	32,9	0,078	19,9	13,3	0,116	0,062
		70	0,4	12,1	65,3	22,2	0,059	10,1	26,2	0,993	0,113
KC <sub>4</sub>	22	71	0,4	3,0	63,8	32,8	0,038	9,1	26,9	—	0,062
		72	0,1	0,5	71,4	28,0	0,042	10,4	24,4	0,039	0,082
		73	0,2	17,3	57,6	24,9	0,064	11,0	22,2	0,279	0,097
		74	0,4	14,2	61,2	24,2	0,061	11,1	24,5	0,005	—
		76	0,3	13,7	65,3	20,7	0,62	8,6	24,0	0,148	0,123
		77	0,2	10,8	60,2	28,8	0,054	10,0	26,9	0,133	0,078
		78	0,1	51,8	30,3	17,8	0,109	10,9	27,8	0,113	0,144
		79	0,2	20,2	53,9	25,7	0,067	10,5	24,3	0,079	0,093
		80	0,1	7,2	51,5	41,2	0,043	11,5	21,8	0,026	0,040
		81	2,3	12,4	62,8	22,5	0,064	10,3	25,9	0,232	0,111
		83	0,4	12,3	68,0	19,3	0,061	9,9	28,9	—	0,133
		84	0,2	6,2	61,6	32,0	0,047	11,7	19,7	0,021	0,046
		85	0,2	18,1	65,8	15,9	0,069	11,1	25,3	0,315	0,160
		86	0,3	2,9	62,2	34,6	0,042	12,3	23,2	0,058	0,057
		87	0,2	0,2	67,8	31,8	0,034	8,3	26,4	0,397	—
		88	0,1	0,4	73,5	26,0	0,043	10,9	27,5	0,036	0,091
		89	0,2	11,4	54,4	34,0	0,052	11,6	22,9	—	0,059
		90	0,2	4,7	54,3	40,8	0,041	11,2	—	—	0,041
		91	0,3	5,6	74,4	19,7	0,053	9,4	28,9	0,024	—
		92	0,1	9,6	56,9	33,4	0,051	11,5	26,2	0,380	—

Продолжение таблицы II

I	2	3	4	5	6	7	8	9	10	11	12
KC <sub>5</sub>	21	93	—	—	—	—	—	13,6	29,2	0,297	—
		94	1,7	36,0	48,9	13,4	0,096	11,1	28,9	0,107	0,184
		96	0,3	12,7	62,1	24,9	0,060	12,4	28,6	—	0,097
		97	0,3	13,6	66,4	19,7	0,062	9,1	7,0	0,155	0,130
		98	0,2	35,4	36,2	28,2	0,084	10,9	25,9	—	0,081
		99	0,2	4,9	64,4	30,5	0,046	10,1	24,3	0,093	0,071
		100	—	—	—	—	—	12,2	—	—	—
		101	0,3	11,7	54,9	33,1	0,053	13,1	25,3	0,945	—
		102	1,2	4,1	60,4	34,3	0,046	12,5	26,7	0,090	0,058
		104	0,2	1,9	52,3	45,6	0,065	7,9	28,8	0,064	0,034
		106	0,3	9,1	64,3	26,3	0,054	11,9	27,0	0,807	—
		107	0,6	10,9	62,0	26,5	0,056	11,6	24,4	—	0,089
		108	1,9	18,4	38,2	41,5	0,061	—	20,0	0,028	0,039
KC <sub>6</sub>	20	111	0,6	3,4	62,4	33,6	0,044	10,8	22,5	0,013	0,060
		112	0,1	4,1	71,2	24,6	0,048	11,1	21,5	0,033	0,099
		113	—	—	—	—	—	11,5	21,5	0,741	—
		114	0,1	45,0	37,5	17,4	0,101	10,7	29,0	0,028	—
		115	0,4	1,2	67,7	30,7	0,042	9,0	24,8	0,081	0,070
		116	0,3	9,6	68,5	21,6	0,056	11,4	24,9	0,023	—
		117	0,1	4,5	83,8	11,6	0,055	14,2	26,5	0,385	0,214
		118	0,3	10,0	60,5	29,2	0,053	12,0	21,7	0,231	0,076
		119	0,6	30,4	54,4	14,6	0,086	11,7	28,1	0,233	0,170
		120	0,2	5,3	60,8	33,7	0,045	9,8	25,7	0,062	0,060
		121	6,1	16,2	65,6	12,1	0,083	12,3	26,9	0,283	0,198
		122	0,7	4,3	73,7	21,3	0,069	10,6	27,1	0,075	0,119
		124	0,1	4,3	66,2	29,4	0,046	10,9	25,0	0,029	0,075
		125	—	—	—	—	—	19,5	29,2	0,297	—
KC <sub>7</sub>	15	134	—	2,0	72,6	25,4	0,043	12,5	32,9	0,214	0,094
		135	0,3	1,7	75,4	22,6	0,074	11,8	32,7	0,167	0,111
		136	0,3	2,6	78,6	18,5	0,051	9,3	20,2	0,103	0,139
		137	0,2	11,4	72,6	15,8	0,061	11,5	23,8	0,771	0,161
		138	0,3	3,6	56,0	40,1	0,040	14,0	26,8	0,280	—
		139	0,1	2,5	56,7	40,7	0,038	9,0	27,5	0,038	0,041

Продолжение таблицы II

1	2	3	4	5	6	7	8	9	10	11	12
KC <sub>7</sub>	15	140	0,5	3,0	69,5	27,0	0,059	14,1	22,1	0,200	0,087
		141	—	—	—	—	—	8,5	—	—	—
		142	0,3	21,7	57,5	20,5	0,033	10,3	25,7	0,486	0,125
		143	0,2	6,7	65,7	27,4	0,050	8,6	24,4	0,263	0,084
		144	0,2	7,4	63,6	28,8	0,050	8,3	24,2	0,046	0,078
		145	0,8	30,2	48,6	20,4	0,083	9,2	26,3	0,117	0,125
		146	0,1	0,2	62,3	37,4	0,039	11,2	29,7	0,110	0,051
		147	0,3	9,1	60,7	29,9	0,052	10,6	24,8	0,114	0,073
		148	0,4	2,5	68,9	28,2	0,045	12,5	30,7	0,061	0,081
KC <sub>8</sub>	13	149	—	—	—	—	—	12,2	—	—	—
		150	0,1	2,1	46,7	51,1	0,032	8,5	22,4	—	0,114
		151	0,2	14,1	63,6	22,1	0,061	12,5	25,2	0,687	—
		152	1,0	6,1	74,8	18,1	0,056	9,8	29,1	0,068	0,142
		153	0,2	12,2	54,6	33,0	0,054	11,4	23,3	0,058	0,062
		154	2,4	13,5	56,4	27,7	0,063	12,5	25,1	0,178	0,083
		155	2,3	30,2	38,3	29,2	0,082	13,0	19,0	—	0,097
		156	0,6	6,3	51,6	41,5	0,042	10,5	24,3	0,170	0,039
		157	—	—	—	—	—	11,2	—	—	—
		158	0,3	20,5	56,5	22,7	0,069	11,1	25,6	—	0,110
		159	0,1	1,1	54,4	44,4	0,052	9,3	—	—	0,033
		160	0,2	11,6	69,8	18,4	0,060	10,8	26,3	0,333	0,139
		161	1,0	9,4	64,2	25,4	0,057	9,7	25,3	0,084	0,104
KC <sub>9</sub>	17	162	—	—	—	—	—	8,3	—	—	—
		163	0,7	63,8	14,0	21,5	0,225	9,9	24,1	0,190	0,118
		164	0,2	6,1	82,7	11,0	0,057	10,8	29,3	0,371	0,211
		165	0,1	8,2	54,6	37,1	0,047	8,6	20,2	0,033	0,049
		166	0,6	26,7	46,5	26,2	0,075	11,4	26,7	0,082	0,090
		167	—	—	—	—	—	10,4	—	—	—
		168	0,4	5,6	70,9	23,1	0,050	28,9	23,4	0,073	0,105
		169	2,2	5,3	63,1	29,4	0,052	11,4	23,2	0,210	0,075
		170	0,9	31,6	45,0	22,5	0,083	9,8	27,6	0,149	0,113
		171	0,7	21,4	59,8	18,1	0,073	9,3	28,5	0,790	—
		172	0,2	0,7	57,9	41,2	0,036	10,3	20,5	—	0,040
		173	—	8,4	69,1	22,5	0,054	10,1	26,7	0,133	0,112
		174	—	0,6	53,1	46,3	0,033	10,3	22,0	—	0,030
		175	2,3	9,3	58,9	29,5	0,057	14,5	23,0	0,317	0,075
		176	0,5	4,6	67,9	27,0	0,048	9,6	27,9	0,720	—
		177	0,6	12,3	57,3	29,8	0,058	9,7	22,9	0,035	0,074
		178	0,3	6,2	58,7	34,8	0,058	8,5	29,8	—	0,056
KC <sub>10</sub>	22	179	0,2	18,9	59,9	21,0	0,068	7,9	22,4	0,157	0,121
		181	0,5	14,7	66,7	18,1	0,065	16,8	28,6	—	0,142
		183	0,1	0,9	85,0	14,0	0,049	13,1	26,7	0,039	—

Окончание таблицы II

1	2	3	4	5	6	7	8	9	10	11	12
KC <sub>10</sub>	22	184	0,2	11,6	58,9	29,3	0,055	8,9	26,4	0,131	0,076
		185	0,2	11,0	52,8	36,0	0,051	10,8	22,7	0,038	0,053
		186	0,3	26,1	47,6	26,0	0,074	10,8	26,5	0,471	—
		187	—	—	—	—	—	10,0	—	—	—
		188	0,4	8,6	64,9	26,1	0,053	9,5	23,5	0,293	0,091
		189	0,1	3,2	73,1	23,6	0,048	10,8	27,4	—	0,104
		190	0,7	7,2	59,2	32,9	0,049	10,8	23,9	0,141	0,062
		191	0,5	18,2	53,3	28,0	0,064	10,6	24,2	0,080	0,082
		192	0,3	7,6	58,0	34,1	0,048	12,5	23,8	0,491	—
		193	0,6	0,8	51,2	47,4	0,035	11,8	25,0	0,428	—
		194	1,3	17,3	50,7	30,7	0,075	10,6	25,0	0,142	0,070
		195	0,5	3,9	73,6	22,0	0,051	10,0	21,2	0,055	0,114
		196	0,8	17,9	57,7	23,6	0,066	9,5	24,3	0,105	0,104
		197	0,5	9,5	58,6	31,4	0,052	10,9	20,3	0,201	0,067
		198	3,2	15,7	50,3	30,8	0,066	18,1	28,4	0,036	0,070
		199	0,2	16,4	64,2	19,2	0,074	7,0	33,7	0,376	0,134
		200	0,3	9,7	60,6	29,4	0,053	10,6	25,5	0,121	0,076
KC <sub>11</sub>	17	201	—	—	—	—	—	4,5	—	—	—
		202	—	—	—	—	—	10,0	—	—	—
		203	0,2	3,5	68,1	28,2	0,046	8,7	27,4	0,239	0,081
		204	0,2	48,1	37,3	14,4	0,105	7,1	24,2	0,156	0,175
		206	—	—	—	—	—	7,7	—	—	—
		207	0,9	9,8	53,6	35,7	0,051	11,8	19,5	0,347	—
		208	0,2	15,1	58,7	26,0	0,061	8,6	26,6	0,214	0,092
		209	2,4	14,1	63,9	19,6	0,067	7,7	17,6	0,390	0,131
		210	2,3	14,2	62,3	21,2	0,067	12,3	21,0	0,285	0,120
		211	0,4	16,8	63,6	19,2	0,0 6	10,8	26,1	0,248	0,134
		212	0,6	15,6	49,6	34,2	0,058	11,6	24,9	0,125	0,068
		213	12,2	8,0	53,1	26,7	0,081	9,0	25,9	0,053	0,088
		214	0,2	1,6	67,8	30,4	0,042	9,7	21,3	—	0,071
		215	1,0	14,1	65,9	19,0	0,065	11,8	20,6	0,397	0,136
		216	1,4	13,9	50,1	34,6	0,058	12,2	24,5	0,239	0,057
		217	0,6	9,1	64,2	26,1	0,054	12,3	24,5	0,110	0,091
KC <sub>12</sub>	17	218	0,2	8,5	61,5	29,8	0,051	11,5	15,0	—	0,074
		219	5,5	15,5	54,1	24,9	0,075	9,4	17,4	0,242	—
		220	4,8	36,1	39,4	19,7	0,100	12,5	31,7	0,156	0,130
		221	0,5	7,8	56,3	35,4	0,048	15,7	25,1	0,121	0,055
		222	3,7	39,1	36,2	21,0	0,101	8,3	29,4	0,562	—
		223	3,0	23,1	46,7	27,2	0,077	10,1	21,8	0,274	—
		224	2,4	27,3	52,8	17,5	0,085	10,3	13,1	—	0,117
		225	0,1	5,4	59,6	34,9	0,044	10,7	24,2	0,148	0,056
		226	11,5	23,1	46,3	19,1	0,101	11,8	21,1	0,534	—
		227	5,1	17,2	47,2	30,5	0,073	11,8	23,2	0,116	0,071
		228	2,8	19,7	44,5	33,0	0,069	9,3	24,7	0,562	—
		229	6,6	30,2	32,0	31,2	0,092	10,2	36,8	—	0,068
		230	2,8	17,2	60,1	19,9	0,073	8,0	25,5	0,171	0,119
		231	8,0	23,9	45,2	22,9	0,092	9,6	22,6	0,095	0,108
		232	1,4	18,9	48,0	31,7	0,065	10,5	27,1	0,174	0,096
		233	9,9	19,9	45,4	24,8	0,091	15,8	30,0	0,203	0,097
		234	4,6	29,8	45,5	20,1	0,092	9,6	23,1	0,382	—

Таблица III

Характеристика коллекторских свойств пород кирмакинской свиты площади Кала

Горизонты	Мощность, м	Расстояние от кровли по нормальной мощности, м	Гранулометрический состав, %						Проницаемость, дарси			
			> 0,25 мм	0,25–0,1 мм	0,1–0,01 мм	< 0,01 мм	Средневзвешен. диаметр зерен, м	Карбонатность, %				
			1	2	3	4	5	6	7	8	9	10
KC <sub>1–2</sub>	38	4	—	6,2	74,1	19,7	0,052	12,0	27,5	—	—	—
		6	1,0	2,7	69,5	26,8	0,047	10,4	22,8	—	—	—
		9	0,5	1,7	77,8	20,3	0,048	11,7	25,2	0,035	—	—
		11	0,5	16,9	65,1	17,5	0,069	18,0	26,8	0,217	0,148	—
		14	0,3	2,2	74,6	22,9	0,049	13,2	23,5	0,312	—	—
		16	0,1	0,7	70,3	28,9	0,042	18,0	24,7	0,036	—	—
		23	—	2,8	68,4	28,8	0,061	13,0	21,6	0,031	0,078	—
		25	—	0,2	71,7	28,1	0,041	12,5	24,5	0,038	0,081	—
		28	0,1	1,2	74,2	24,5	0,044	12,5	26,5	—	—	—
		30	0,1	15,1	69,5	15,3	0,072	12,0	28,2	—	—	—
		31	—	5,0	70,1	24,9	0,049	9,7	21,8	0,066	0,097	—
		32	0,1	15,3	66,0	18,6	0,066	11,7	25,2	0,043	—	—
		34	64,0	21,5	11,8	2,7	0,236	—	—	—	—	—
		49	39	0,1	1,3	67,5	31,1	0,041	15,3	12,5	—	—
		69	0,1	2,3	74,5	23,1	0,047	13,5	24,3	0,060	—	—
		71	0,1	2,2	75,1	22,6	0,046	11,8	22,3	0,041	—	—
		74	0,1	0,7	71,0	28,2	0,042	12,5	20,5	0,013	—	—
		76	—	0,2	61,1	28,7	0,039	10,0	19,8	—	—	—
KC <sub>5–6</sub>	41	90	—	2,3	77,7	20,0	0,048	13,0	22,5	0,041	—	—
		93	0,1	14,0	70,1	15,8	0,064	12,5	22,7	0,012	—	—
		95	0,1	0,4	78,1	21,4	0,045	14,0	24,0	0,018	—	—
		96	—	1,0	75,8	23,2	0,044	13,5	23,3	0,049	—	—
		101	0,1	5,7	76,5	17,7	0,053	15,0	21,1	0,018	—	—
		105	0,1	10,0	79,0	10,9	0,062	15,0	18,3	—	—	—
		107	0,4	28,8	54,4	16,4	0,082	10,0	25,1	0,184	0,156	—

Окончание таблицы III

1	2	3	4	5	6	7	8	9	10	11	12
KC <sub>5–6</sub>	41	108 109 112 115 119 124 127	0,1 0,1 0,1 0,1 0,1 0,1 0,1	3,8 2,5 74,8 3,0 11,5 6,4 2,0	77,2 72,0 24,4 17,4 70,6 16,3 79,8	18,9 25,4 0,044 0,050 0,062 0,055 18,1	0,050 0,046 0,044 0,050 0,062 0,055 0,048	12,5 15,2 13,5 10,3 11,4 12,5 11,7	21,5 21,8 22,1 21,1 24,2 26,1 23,5	0,034 0,060 0,028 — 0,113 0,099 0,030	— — — — 0,144 — —
KC <sub>7–8</sub>	31	131 139 141 145 146 154	0,6 — — 0,2 — 0,1	10,1 1,2 1,7 15,7 — 2,9	73,8 75,3 68,0 77,2 — 76,5	15,5 23,5 30,3 6,9 — 20,5	0,061 0,045 0,042 0,071 — 0,049	11,4 9,2 7,0 — — 9,8	22,5 — 16,1 21,0 23,4 29,2	0,083 — 0,030 — — —	— — — — — —
KC <sub>9–10</sub>	31	165 166 173 174 176 180 183 187 188	0,1 0,1 — 0,1 0,2 — 0,1 0,1 0,2	5,8 2,5 2,5 1,0 0,5 0,1 0,8 5,5 4,0	73,0 76,5 74,9 74,0 74,5 58,5 69,6 29,6 62,7	21,1 20,9 22,6 24,9 24,8 41,4 41,4 25,8 33,1	0,052 0,048 0,047 0,044 0,051 0,035 0,042 0,049 0,044	7,0 11,0 10,2 8,0 8,8 8,2 10,5 6,5 7,0	— — — — — — 15,2 23,0 31,8	— — — — — — 0,027 — —	— — — — — — — — —
KC <sub>11–12</sub>	30	191 201 202 206 210 212	1,2 0,3 — 0,3 14,8 2,9	33,1 1,3 — 33,9 38,7 38,2	53,1 71,8 — 48,7 32,6 41,9	12,6 26,6 — 17,1 13,9 17,0	0,098 0,044 — 0,088 0,131 0,101	11,8 7,5 — 7,4 10,6 10,5	21,7 22,3 16,5 — 22,1 0,201	0,486 — — — — —	— — — — — —

Таблица IV

Характеристика коллекторских свойств пород кирмакинской свиты  
площади Сураханы

Горизонты и разрезы	Мощность, м	Расстояние от кровли по нормальной мощности, м	Гранулометрический состав, %						Проницаемость, дарси		
			> 0,25 мм			< 0,01 мм					
			0,25–0,1 мм	0,1–0,01 мм	< 0,01 мм	Средневзвешен. диаметр зерен, мм	Карбонатность, %	Пористость, %			
1	2	3	4	5	6	7	8	9	10	11	12
KC-KC <sub>1</sub>	30	2	0,1	0,2	62,1	37,6	0,037	10,8	16,6	—	0,048
	3	0,1	4,2	71,7	24,0	0,047	9,2	24,4	—	0,102	
	5	0,1	0,3	55,8	43,8	0,034	14,0	20,0	0,018	0,034	
	6	1,8	12,7	66,7	18,8	0,065	13,0	21,4	0,070	—	
	9	0,1	3,5	76,5	19,9	0,049	9,5	21,6	0,106	0,128	
	11	0,1	1,3	77,8	20,8	0,046	9,8	20,1	0,024	—	
	15	0,2	42,2	45,8	11,8	0,100	10,8	22,5	0,166	0,202	
	16	0,1	23,2	56,6	20,1	0,073	9,5	23,5	0,021	—	
	18	0,2	19,0	67,7	13,1	0,072	14,0	20,4	0,015	—	
	21	0,2	21,6	62,5	15,7	0,073	14,6	20,1	0,042	—	
	23	1,5	18,5	51,3	28,7	0,066	15,2	18,3	0,036	0,079	
	24	0,1	25,7	60,5	13,7	0,079	11,5	27,0	0,077	—	
	26	3,9	23,2	37,6	35,3	0,075	15,2	15,0	0,074	0,065	
	27	2,5	20,0	63,3	14,2	0,078	15,0	22,7	0,069	—	
	30	2,3	32,4	50,7	14,6	0,092	25,6	13,8	0,009	—	
KC <sub>1</sub>	20	32	0,7	25,2	59,8	14,3	0,080	21,0	19,1	—	0,177
	34	9,9	24,4	61,1	4,6	0,106	11,5	21,6	0,053	—	
	35	0,1	32,4	48,7	18,8	0,084	8,1	25,1	—	0,142	
	37	4,0	20,8	38,6	36,6	0,071	19,9	25,0	—	0,051	
	38	—	—	—	—	—	7,6	22,0	—	—	
	40	0,6	1,0	67,2	31,2	0,042	7,0	20,3	0,076	0,068	
	43	1,2	23,4	51,5	23,9	0,074	17,1	18,2	0,032	—	
	45	0,2	42,2	45,8	11,8	0,100	10,8	12,5	0,166	0,202	
	50	2,1	16,7	50,4	30,8	0,065	10,1	21,5	—	0,071	
KC <sub>1</sub> –2	26	54	—	6,8	65,5	27,7	0,049	10,7	19,9	0,020	—
	59	1,0	17,8	70,0	11,2	0,034	7,0	29,6	—	0,208	
	60	1,0	45,2	29,9	23,9	0,100	12,9	25,0	0,070	0,103	
	63	0,9	6,0	67,4	25,7	0,051	10,0	24,4	—	0,093	
	65	—	19,2	48,7	32,1	0,062	12,5	19,2	—	0,065	
	66	2,2	6,6	73,7	17,5	0,060	10,5	19,7	0,025	—	
	68	—	10,8	65,8	23,4	0,056	9,5	19,6	0,033	0,105	
	71	3,1	13,4	61,6	21,9	0,068	15,4	19,3	0,019	—	
	73	0,8	6,2	72,7	20,3	0,054	10,0	19,8	0,012	—	
	76	2,5	23,3	57,3	16,9	0,081	10,3	21,7	0,101	0,169	

Продолжение таблицы IV

1	2	3	4	5	6	7	8	9	10	11	12
KC <sub>2</sub>	17	78	5,4	20,7	60,0	13,9	0,086	8,7	25,5	—	0,179
	82	0,8	21,9	55,9	21,4	0,073	11,3	18,1	0,025	—	
	83	0,1	2,5	68,5	28,9	0,044	9,1	20,8	0,018	—	
	86	0,2	2,0	76,8	21,0	0,047	11,6	21,1	0,011	—	
	87	—	19,0	63,2	17,8	0,069	12,5	20,9	0,024	—	
	89	0,3	7,6	66,8	25,3	0,052	10,1	25,7	0,050	—	0,095
	92	—	11,9	73,6	14,5	0,062	11,6	23,7	0,111	—	0,174
	93	0,5	15,4	57,1	27,0	0,061	11,5	20,9	0,021	—	
KC <sub>2</sub> –3	14	95	0,1	1,4	72,0	26,5	0,044	14,1	18,5	—	0,089
	97	2,6	13,9	58,4	25,1	0,065	10,1	15,2	0,031	—	0,096
	98	0,2	7,3	61,1	31,4	0,048	12,3	17,7	0,011	—	
	99	—	7,5	71,6	20,9	0,054	12,6	21,7	0,020	—	
	101	1,1	12,7	68,4	17,8	0,064	8,0	21,7	0,019	—	
	102	0,7	9,3	79,2	19,8	0,058	11,9	18,5	0,058	—	0,119
	103	0,4	5,1	71,4	23,1	0,050	9,0	19,7	0,009	—	
	104	1,7	15,6	54,5	27,8	0,064	9,5	21,1	0,048	—	0,083
	106	0,8	3,8	71,3	24,1	0,049	9,0	20,3	—	0,101	
	107	0,6	22,5	62,2	14,3	0,077	16,0	16,5	0,012	—	
KC <sub>3</sub>	16	113	0,1	5,2	78,2	16,5	0,053	7,0	23,4	0,134	0,155
	114	—	0,4	69,5	30,1	0,040	7,0	20,7	0,009	—	
	115	0,1	1,0	75,8	23,1	0,045	8,2	23,8	0,011	—	
	117	0,1	12,3	73,3	14,3	0,063	10,6	24,6	0,192	0,176	
	118	—	3,7	69,9	26,4	0,046	10,0	19,5	0,032	0,090	
	119	0,1	7,8	77,7	14,4	0,057	10,7	20,2	0,088	0,174	
	120	0,2	10,5	77,2	12,1	0,062	11,0	21,0	0,014	—	
	121	0,2	36,6	51,5	11,7	0,094	8,5	23,2	0,067	—	
	122	—	27,5	59,2	13,3	0,081	19,0	24,8	—	0,185	
	123	0,1	1,0	66,0	32,9	0,040	11,0	18,8	—	—	
KC <sub>3</sub> –4	2	124	0,3	32,8	55,8	11,1	0,090	10,0	25,8	—	0,210
		125	6,5	49,9	31,6	12,0	0,125	20,0	21,3	0,088	0,200
KC <sub>4</sub>	11	131	0,4	17,1	49,9	32,6	0,060	14,9	15,2	0,022	0,064
	132	—	6,8	71,5	21,7	0,052	12,2	22,6	0,018	—	
	135	0,7	11,4	65,5	22,4	0,059	16,0	19,3	0,095	0,112	
	136	0,1	6,4	54,1	39,4	0,043	9,9	15,5	—	0,043	
KC <sub>4</sub> –5	9	145	0,2	5,6	76,8	17,4	0,054	9,0	17,0	—	0,148
KC <sub>5</sub>	15	149	1,2	21,4	61,2	16,2	0,075	9,0	23,0	0,061	0,158
	151	0,1	2,2	74,8	22,9	0,046	8,8	20,3	—	0,108	
	152	0,7	19,9	57,1	22,3	0,070	11,0	25,4	0,121	0,112	
	155	—	6,6	64,3	29,1	0,048	9,6	22,3	0,033	0,077	
	156	0,2	4,9	71,7	23,2	0,050	8,4	26,0	0,148	0,107	
	158	0,3	20,7	51,5	27,5	0,072	9,0	34,1	—	0,147	
	159	9,0	29,2	43,8	18,0	0,103	8,4	20,3	0,113	0,143	

Таблица V

Характеристика коллекторских свойств пород кирмакинской свиты  
площади Балаханы—Сабунчи—Раманы (запад)

Горизонты	Мощность, м	Гранулометрический состав, %				Проницаемость, дарси					
		> 0,25 мм		< 0,01 мм							
		0,25—0,1 мм	0,1—0,01 мм	Средневзвешен. диаметр зерен, мм	Карбонатность, %						
1	2	3	4	5	6	7	8	9	10	11	12
IKC <sub>1</sub>	43	7 8 15 19 28 33 37 38 41 42 43	— 0,1 — 0,1 — 0,7 0,2 0,2 0,2 0,1 1,5	2,0 0,7 0,8 2,3 68,2 57,5 15,7 31,0 31,8 31,8 45,0	60,8 78,7 73,6 73,6 31,1 31,4 76,2 21,5 55,8 43,4 8,4	37,2 20,5 25,6 24,0 0,040 0,053 0,070 47,5 12,2 24,7 0,081 0,108	0,039 0,046 0,043 0,046 11,3 11,5 9,0 0,069 0,088 0,081 0,108	8,8 11,5 13,2 11,5 25,1 20,9 9,0 9,0 7,0 11,3 14,0	30,4 26,0 25,0 26,7 0,019 0,107 — 7,3 28,8 30,2 23,5	0,075 — — — 0,093 — — — — 0,331 0,746	0,049 0,124 — 0,093 — 0,068 — 0,067 — 0,028 — —
IKC <sub>2</sub>	46	53 54 58 60 66 71 72 73 76 78 82 83 87 88	— — — — — — — — — — — — — — — —	6,1 — 2,4 — — — — 0,8 3,2 0,8 3,5 — 19,0 6,8 0,7	74,5 — 55,3 — — — — 79,0 66,2 66,5 72,0 — 58,7 70,6 65,6	19,4 — 42,3 — — — — 20,2 30,6 32,6 24,5 — 22,3 22,5 33,7	0,053 — 0,037 — — — — 0,046 0,044 0,040 0,047 — 0,067 0,052 0,039	16,0 11,7 17,5 28,2 12,5 10,9 11,5 23,4 16,0 12,3 11,0 15,0 15,0 8,5 12,5	27,6 24,1 22,8 — — — — — 21,5 21,7 24,6 25,6 19,5 — 27,9	0,077 — — — — — — — 0,054 — — — — — — —	0,134 — — — — — — — 0,070 — — — — — — —
IKC <sub>3</sub>	35	99 107 122 123	0,8 — — 0,1	11,8 4,7 2,5 2,1	63,2 63,2 64,5 72,3	24,2 32,1 33,0 25,5	0,059 0,045 0,042 0,045	11,0 11,0 13,0 14,0	— 27,9 27,3 26,6	— 0,020 — —	0,101 0,065 0,062 0,095

Окончание таблицы IV

1	2	3	4	5	6	7	8	9	10	11	12	
KC <sub>5-6</sub>	5	163 165	17,2 1,2	47,3 26,2	26,3 44,8	9,2 27,8	0,149 0,075	30,4 9,9	20,6 18,9	— —	0,233 0,062	
KC <sub>6</sub>	14	167 168 169 170 173 175 176	12,1 9,5 17,9 1,5 8,8 0,6 1,5	43,0 70,1 45,5 25,6 42,3 20,0 52,2	35,0 20,4 27,5 22,7 16,6 0,078 22,6	9,9 18,9 9,1 27,2 10,8 14,9 10,3	0,131 0,056 0,149 0,258 — 0,187 20,8	15,4 9,5 14,6 25,0 — 0,115 20,8	34,0 0,038 0,035 0,110 — 0,116 —	— — — — — — —	0,224 — — — 0,165 0,115 0,116	
KC <sub>6-7</sub>	6	180 185	— 0,1	2,2 10,8	55,0 55,9	42,8 33,2	0,040 0,051	11,4 8,6	17,4 20,8	— 0,020	0,033 0,061	
KC <sub>7</sub>	17	191 192 196 198 200 201 202	— — — — 0,7 — 1,4	17,0 1,1 6,3 23,2 7,2 40,9 36,0	54,5 55,3 52,1 46,1 60,0 41,9 42,9	28,5 43,6 0,042 0,067 0,049 0,096 19,7	0,061 0,035 0,042 0,067 0,049 0,092 0,092	9,0 12,0 9,1 9,1 16,3 11,3 6,8	19,9 29,6 19,7 22,8 17,9 22,2 —	— — 0,032 0,040 0,022 0,044 0,009	0,079 0,034 0,039 0,070 0,065 — —	
KC <sub>7-8</sub>	3	204 205	0,2 3,7	1,0 39,7	51,5 39,8	47,3 16,8	0,002 0,105	15,8 13,3	— 29,7	— —	0,028 0,158	
KC <sub>8</sub>	13	208 209 210 211 213 214 215 216 218	— 0,1 0,3 — 8,2 0,2 — 0,1 —	11,5 14,6 17,8 11,9 58,2 31,2 57,5 35,2 1,3	63,3 58,9 57,0 55,3 16,1 58,2 40,2 38,4 73,3	25,2 26,4 24,9 32,8 17,5 10,4 0,038 26,3 25,4	0,056 0,059 0,065 0,053 0,136 0,088 0,084 0,084 0,044	9,3 10,5 9,5 9,1 35,1 14,2 11,7 23,0 7,8	18,7 18,6 26,5 12,5 30,9 25,1 16,8 21,4 22,6	0,031 0,029 0,080 0,095 0,125 0,136 0,042 0,182 0,100	— — 0,097 0,062 0,147 0,218 0,042 0,090 —	— — — — — — — — —
KC <sub>8</sub> —ПК	3	221	0,1	27,3	54,5	18,1	0,079	8,8	20,9	0,064	0,142	

Продолжение таблицы V

1	2	3	4	5	6	7	8	9	10	11	12
IKC <sub>4</sub>	42	131	—	2,8	57,0	40,2	0,038	16,2	19,6	0,014	0,042
		136	—	36,5	43,5	20,0	0,089	17,0	25,6	—	0,128
		138	0,6	35,2	47,5	16,7	0,093	13,0	26,6	—	0,153
		139	—	1,3	63,8	34,9	0,038	18,0	16,2	0,017	0,056
		140	—	8,2	46,5	45,3	0,042	15,0	25,8	0,019	0,031
		146	0,1	20,7	68,7	10,5	0,075	10,0	26,5	0,222	0,217
		149	—	—	—	—	—	11,0	22,8	0,790	—
		151	0,1	2,8	72,7	24,4	0,046	12,0	27,7	0,081	0,100
		153	3,0	13,5	60,0	23,5	0,067	11,5	29,6	—	0,105
		155	3,0	28,6	57,7	10,7	0,046	11,5	26,8	—	0,215
		162	4,7	8,2	63,0	24,1	0,064	11,5	25,0	—	0,101
		164	—	—	—	—	—	16,2	—	—	—
		165	32,7	15,9	25,9	25,5	0,141	—	20,1	—	0,094
		166	—	0,6	68,5	30,9	0,040	13,0	24,1	—	0,069
		172	—	4,8	57,0	38,2	0,040	10,5	24,0	—	0,046
IIKC <sub>1</sub>	20	173	—	—	—	—	—	13,6	0,028	—	—
		174	0,2	2,5	77,8	19,6	0,048	13,0	28,4	0,100	0,131
		177	—	0,9	63,9	35,2	0,039	11,8	16,6	0,010	0,055
		178	0,7	21,2	58,1	20,0	0,072	10,8	28,7	0,135	0,128
		179	7,0	34,8	47,0	11,2	0,106	9,0	24,5	—	0,209
		180	0,1	13,0	57,5	29,4	0,056	10,0	22,8	—	0,075
		182	0,3	14,9	64,9	19,9	0,063	13,0	27,6	0,310	—
		184	25,0	35,5	27,1	12,4	0,053	12,5	26,6	—	0,132
		186	0,1	5,5	76,2	18,2	0,053	14,5	27,0	—	0,145
		189	0,4	1,5	75,1	23,0	0,046	12,7	31,0	0,027	—
IIKC <sub>2</sub>	15	191	0,2	10,2	52,3	37,3	0,049	11,0	12,9	0,039	0,049
		193	2,0	7,5	69,0	21,5	0,058	11,5	25,3	0,104	0,118
		209	57,5	15,9	20,3	6,3	0,168	—	18,4	—	—
IIKC <sub>3</sub>	22	213	0,1	0,6	55,1	44,2	0,046	13,1	15,9	0,050	0,033
		218	—	9,6	58,7	31,7	0,051	14,5	17,9	0,013	0,067
		236	0,3	2,4	62,9	34,4	0,051	—	—	—	0,067
IIKC <sub>5</sub>	25	251	40,1	25,2	28,0	6,7	0,136	10,0	27,4	0,512	—
		253	—	6,8	67,2	26,0	0,050	16,0	28,3	—	0,091
		255	—	—	—	—	—	8,0	—	—	—
		256	0,2	4,4	70,0	25,4	0,048	10,8	29,5	—	0,034
		258	—	—	—	—	—	7,0	—	—	—
		259	0,3	14,2	58,0	27,5	0,066	11,3	27,3	—	0,084
		261	—	—	—	—	—	8,7	—	—	—
		262	0,1	49,1	34,0	16,8	0,106	9,2	28,3	—	0,153
		263	7,5	28,8	42,3	21,4	0,098	8,1	15,6	—	0,118
		265	—	—	—	—	—	10,0	—	—	—
		266	2,0	39,3	24,8	33,9	0,090	9,3	25,1	0,067	0,059
		267	8,2	22,7	33,6	35,5	0,085	10,2	19,7	0,073	0,054
		268	—	—	—	—	—	30,0	—	—	—
		269	28,7	38,8	22,7	9,8	0,15	—	—	—	0,225
		270	0,1	31,1	47,4	21,4	0,082	7,5	—	—	0,118
		271	26,4	29,0	23,9	20,7	0,144	17,5	20,2	0,050	—

Продолжение таблицы V

1	2	3	4	5	6	7	8	9	10	11	12
Площадь Раманы (восток)											
IKC <sub>1</sub>	38	4	0,8	30,4	39,9	28,9	0,079	26,3	24,0	—	0,078
		6	0,4	31,9	36,9	30,8	0,080	10,6	21,1	—	0,070
		7	0,1	3,7	48,0	48,2	0,007	11,6	28,4	—	0,027
		9	1,1	33,7	43,5	21,7	0,088	8,1	25,0	—	0,117
		12	0,8	20,6	35,7	42,9	0,060	15,9	19,9	0,018	0,038
		14	—	45,0	34,2	20,8	0,099	12,5	30,0	—	0,122
		19	0,4	25,3	37,2	37,1	0,068	13,5	22,8	0,068	0,050
		23	—	4,4	53,9	41,7	0,040	8,5	29,4	—	0,049
		27	1,5	19,6	41,0	37,9	0,061	19,4	19,1	—	0,047
		32	—	46,2	17,2	36,6	0,092	11,5	34,8	—	0,051
		35	0,1	8,3	60,2	31,4	0,049	13,2	20,9	0,121	0,067
IKC <sub>2</sub>	47	46	0,3	5,8	49,5	44,4	0,042	20,5	18,3	—	0,033
		49	0,6	39,6	23,3	36,5	0,086	11,6	32,3	—	0,051
		65	0,1	29,0	37,4	33,5	0,030	14,6	18,3	0,227	0,060
		67	0,1	8,6	53,0	38,3	0,046	13,7	20,5	0,017	0,046
		72	—	1,5	59,7	38,8	0,037	16,0	27,5	0,086	0,045
		75	1,7	61,2	23,1	14,0	0,032	9,4	33,4	—	0,111
		78	—	25,0	45,7	29,3	0,083	11,4	24,3	0,065	0,076
		83	—	7,0	54,0	39,0	0,033	13,0	25,9	—	0,044
		85	—	3,0	72,0	25,0	0,046	15,0	21,4	—	0,097
IKC <sub>3</sub>	31	94	—	2,5	56,5	41,0	0,038	12,5	20,8	—	0,040
		99	0,1	12,4	63,4	24,1	0,058	9,4	18,8	—	0,101
		104	0,1	17,5	66,0	16,4	0,067	12,0	21,5	—	0,156
		105	0,1	11,6	51,1	37,2	0,050	10,9	10,8	—	0,049
		110	1,5	22,6	47,4	28,5	0,066	12,2	27,1	0,010	—
		114	0,1	10,5	56,0	33,4	0,051	13,3	20,2	—	0,060
		116	—	0,8	33,5	65,7	0,023	14,0	25,4	—	—
IKC <sub>4</sub>	33	121	0,8	23,3	43,5	32,4	0,069	10,5	24,0	—	0,064
		123	—	11,3	40,2	48,5	0,044	7,5	—	—	0,027
		126	0,1	6,6	72,3	21,0	0,054	7,8	28,6	—	0,121
		129	0,3	35,5	30,2	34,0	0,081	7,5	26,7	—	0,059
		130	0,1	8,2	50,8	40,9	0,047	9,8	24,8	0,009	—
		131	0,1	7,1	71,0	21,8	0,065	13,3	13,1	0,086	0,115
		133	0,8	34,0	45,3	19,9	0,088	11,6	23,4	—	0,128
		135	2,9	15,7	49,4	32,0	0,065	—	22,4	0,425	—
		136	2,3	31,0	45,4	21,3	0,087	12,2	25,8	—	0,130
		139	0,9	42,2	38,4	18,5	0,099	10,1	28,0	0,059	0,199
		141	—	40,1	28,3	31,6	0,087	13,0	25,2	—	0,067
		144	3,0	50,2	27,7	19,1	0,113	9,4	25,6	0,165	0,134
		147	—	32,2	43,8	24,0	0,061	11,0	23,7	—	0,102
		148	0,1	5,8	49,1	45,0	0,040	11,2	17,2	0,009	0,031
		149	—	7,0	59,7	33,3	0,047	11,0	20,7	0,014	0,061

Продолжение таблицы V

Окончание таблицы V

1	2	3	4	5	6	7	8	9	10	11	12
IIKC <sub>1</sub>	22	155	0,1	8,8	60,3	30,8	0,050	8,7	22,9	0,022	0,070
		157	23,7	46,7	15,7	13,9	0,162	13,0	27,4	0,009	—
		160	0,3	17,0	60,0	22,7	0,065	18,0	21,5	0,054	0,110
		163	—	5,0	62,0	33,0	0,045	10,0	25,3	—	0,048
		164	—	11,6	50,8	37,6	0,051	14,0	18,0	—	0,128
		166	0,1	6,1	73,8	20,0	0,053	8,6	24,2	—	—
		168	—	23,7	52,9	23,4	0,061	11,0	24,0	0,214	0,105
		169	0,1	4,5	60,9	34,5	0,043	8,2	25,8	0,015	0,057
		170	—	25,0	57,8	17,2	0,077	10,0	29,0	0,480	—
		171	—	3,1	65,5	31,4	0,043	16,0	28,2	—	0,067
IIKC <sub>2</sub>	18	176	1,6	13,1	62,0	23,3	0,063	9,4	25,8	0,225	0,106
		177	—	36,6	41,1	22,3	0,088	10,0	30,2	—	0,113
		178	—	9,7	52,0	38,3	0,031	8,5	19,9	0,011	0,046
		180	0,1	57,0	28,2	14,7	0,016	7,8	28,4	—	0,171
		182	0,1	4,6	63,6	31,7	0,045	10,8	24,3	0,010	0,066
		183	—	16,0	58,5	26,0	0,062	15,0	18,6	0,030	0,097
		185	0,5	8,1	54,3	37,1	0,048	12,0	18,1	0,027	0,049
		186	—	21,5	48,7	29,8	0,066	10,0	26,1	—	0,074
		188	—	4,2	58,0	37,8	0,041	12,5	19,3	0,016	0,047
		189	—	4,7	65,3	30,0	0,046	17,0	25,0	—	0,073
IIKC <sub>3</sub>	20	194	—	21,1	49,6	29,3	0,065	9,5	24,1	0,099	0,076
		195	0,8	25,1	49,5	24,6	0,075	9,5	22,1	0,033	0,099
		197	2,1	43,1	40,6	14,2	0,105	8,0	—	—	0,150
		199	—	28,5	51,5	20,0	0,079	11,2	24,8	—	0,128
		200	0,5	19,0	67,0	13,5	0,072	10,0	30,3	—	0,184
		202	0,1	14,0	54,0	31,9	0,057	11,6	26,3	0,293	—
		203	—	3,5	60,7	35,8	0,041	9,5	24,8	—	0,063
		204	1,0	4,5	53,9	40,6	0,043	11,2	14,3	—	0,041
		207	—	22,5	54,9	22,6	0,070	9,9	27,3	0,148	0,111
		208	0,5	7,2	55,3	37,0	0,046	11,6	22,4	0,014	0,050
IIKC <sub>4</sub>	24	209	0,6	32,6	44,1	22,7	0,084	7,5	27,9	—	0,110
		213	0,7	32,5	44,0	22,8	0,084	7,5	—	—	0,109
		215	0,1	16,6	49,4	33,9	0,058	9,0	18,0	—	0,059
		217	0,7	20,1	38,6	40,6	0,061	11,9	24,5	0,024	0,041
		223	2,5	46,2	28,1	23,2	0,106	7,5	23,1	—	0,107
IIKC <sub>5</sub>	20	230	7,0	21,0	41,5	30,5	0,063	12,0	22,7	0,033	0,071
		233	0,6	21,4	50,4	27,6	0,068	12,4	15,6	—	0,083
		237	7,4	48,8	20,4	23,4	0,115	10,7	24,0	—	0,125
		245	0,1	11,4	46,5	42,0	0,048	19,2	16,7	—	0,038
		248	1,0	11,6	53,4	34,0	0,054	8,0	23,8	—	0,057
		251	0,1	57,6	18,3	24,0	0,112	10,5	40,0	0,344	—
IIKC <sub>6</sub>	30	253	—	17,3	52,1	30,6	0,063	12,5	24,7	—	0,070
		318	0,3	17,2	65,3	17,2	0,068	9,0	27,4	—	0,316
		322	—	0,9	67,7	31,4	0,040	10,2	26,3	—	0,057
		323	0,2	3,2	64,3	32,3	0,043	11,5	20,3	—	0,114
		325	0,3	13,3	43,3	43,1	0,050	11,0	15,8	—	—
		327	0,1	0,4	58,0	41,5	0,035	16,0	24,2	—	—
		329	0,3	11,3	63,2	25,2	0,057	10,0	27,7	—	—
		330	38,0	28,0	18,0	16,0	0,174	6,5	25,1	—	0,036
		332	—	67,2	21,2	0,059	—	25,0	—	—	0,300
		333	0,3	11,3	67,2	21,2	—	—	—	—	—

1	2	3	4	5	6	7	8	9	10	11	12
Площадь Кошанаур											
IIKC <sub>1</sub>	54	23	—	1,2	1,5	53,8	43,5	0,038	10,0	12,5	24,8
IIKC <sub>2</sub>	62	59	0,2	14,8	58,7	26,3	0,060	11,0	27,7	—	—
IIKC <sub>3</sub>	69	69	0,2	51,5	47,8	0,032	—	9,8	—	18,7	—
IIKC <sub>4</sub>	82	82	—	—	—	—	—	—	—	—	—
IIKC <sub>5</sub>	98	98	2,3	12,0	62,4	23,3	0,063	15,0	25,4	—	—
IIKC <sub>6</sub>	49	132	1,9	27,1	68,0	3,0	0,091	—	28,6	0,013	—
IIKC <sub>1</sub>	48	190	—	10,8	53,0	36,2	0,050	13,5	22,1	—	—
IIKC <sub>2</sub>	191	0,2	1,1	65,7	33,0	0,040	—	29,2	0,138	—	—
IIKC <sub>3</sub>	194	—	—	—	—	—	—	13,0	24,4	0,017	—
IIKC <sub>4</sub>	200	—	2,5	73,7	23,8	0,046	10,0	29,1	0,115	—	—
IIKC <sub>5</sub>	202	34,0	25,5	19,1	21,4	0,152	11,6	22,8	—	—	—
IIKC <sub>6</sub>	208	0,3	9,0	63,7	27,0	0,052	12,2	22,9	—	—	—
IIKC <sub>1</sub>	23	220	0,3	2,6	71,3	25,8	0,048	11,2	23,4	—	—
IIKC <sub>2</sub>	222	0,2	2,4	58,5	38,9	0,039	14,5	20,6	0,041	—	—
IIKC <sub>3</sub>	233	0,2	1,4	71,2	27,2	0,066	10,0	21,2	—	—	—
IIKC <sub>4</sub>	236	0,5	37,6	51,3	10,6	0,095	11,0	—	—	—	—
IIKC <sub>5</sub>	243	—	—	—	—	—	—	12,2	—	—	—
IIKC <sub>6</sub>	244	0,1	0,4	60,5	39,0	0,036	10,5	22,5	0,075	—	—
IIKC <sub>1</sub>	246	0,5	0,5	65,2	33,8	0,040	—	13,0	0,009	—	—
IIKC <sub>2</sub>	250	0,1	1,2	74,1	24,6	0,044	13,0	28,3	0,093	—	—
IIKC <sub>3</sub>	256	0,3	13,1	58,6	28,0	0,057	9,0	19,8	0,093	—	—
IIKC <sub>4</sub>	258	0,5	8,0	79,3	12,2	0,060	12,5	22,6	—	—	—
IIKC <sub>5</sub>	263	0,6	23,3	58,7	17,4	0,043	11,0	25,9	0,035	—	—
IIKC <sub>6</sub>	268	0,1	4,7	64,6	30,6	0,045	12,0	31,3	0,064	—	—
IIKC <sub>1</sub>	269	2,0	38,7	37,0	22,3	0,095	11,5	26,0	0,172	—	—
IIKC <sub>2</sub>	271	0,1	0,6	60,6	38,7	0,037	12,1	28,3	—	—	—
IIKC <sub>3</sub>	274	0,4	1,0	63,5	35,1	0,040	11,5	18,7	0,045	—	—
IIKC <sub>4</sub>	279	0,1	0,4	58,3	41,2	0,035	11,5	23,7	0,027	—	—
IIKC <sub>5</sub>	283	0,6	39,7	49,6	10,1	0,099	10,0	26,2	—	—	—
IIKC <sub>6</sub>	307	1,4	28,2	55,5	14,9	0,085	10,0	24,3	0,022	—	—
IIKC <sub>1</sub>	32	318	0,3	17,2	65,3	17,2	0,068	9,0	27,4	0,316	—
IIKC <sub>2</sub>	322	—	0,9	67,7	31,4	0,040	10,2	26,3	0,057	—	—
IIKC <sub>3</sub>	323	0,2	3,2	64,3	32,3	0,043	11,5	20,3	0,114	—	—
IIKC <sub>4</sub>	325	0,3	13,3	43,3	43,1	0,050	11,0	15,8	—	—	—
IIKC <sub>5</sub>	327	0,1	0,4	58,0	41,5	0,035	16,0	24,2	—	—	—
IIKC <sub>6</sub>	329	0,3	11,3	63,2	25,2	0,057	10,0	27,7	—	—	—
IIKC <sub>1</sub>	330	38,0	28,0	18,0	16,0	0,174	6,5	25,1	0,036	—	—
IIKC <sub>2</sub>	332	—	67,2	21,2	—	—	—	25,0	—	—	—
IIKC <sub>3</sub>	333	0,3	11,3	67,2	21,2	0,059	—	—	—	—	—

Таблица VI

Характеристика коллекторских свойств пород кирмакинской свиты  
площадей Бинагады, Чахнагляр, Сулутепе и Кирмаку

Горизонты	Мощность, м	Гранулометрический состав, %						Проницаемость, дарси			
		> 0,25 м	0,25—0,1 м	0,01—0,01 м	< 0,1 м	Средневзвешен. диаметр зерен, м	Карбонатность, %				
1	2	3	4	5	6	7	8	9	10	11	12

## Площадь Бинагады

KC <sub>1</sub>	50	4	4,2	19,0	41,6	35,2	0,064	14,6	29,5	—	0,055
		8	1,8	8,0	40,0	50,2	0,044	29,0	—	—	0,024
		10	8,4	14,1	53,8	23,7	0,084	13,8	26,9	—	0,104
		11	1,3	14,0	40,4	44,3	0,053	21,8	—	—	0,038
		17	3,2	44,4	33,8	18,6	0,105	16,3	26,3	—	0,139
		18	0,3	3,2	59,8	36,7	0,041	11,3	24,6	—	0,051
		19	0,1	1,8	54,1	44,0	0,035	12,1	21,7	0,020	0,033
		20	1,8	9,3	58,7	30,2	0,046	13,6	25,1	—	0,072
		21	0,1	4,4	60,1	35,4	0,043	13,4	25,0	0,291	—
		22	0,9	16,1	47,7	35,3	0,051	13,0	18,3	0,467	—
		28	3,0	19,9	43,7	33,4	0,069	23,3	—	—	—
		30	0,1	5,2	60,0	34,7	0,044	15,4	21,4	0,053	0,057
		31	0,5	38,7	30,0	30,8	0,087	10,8	29,4	0,074	0,070
		33	4,8	18,8	63,0	13,4	0,083	13,6	29,4	—	0,184
		34	—	10,2	55,7	34,1	0,050	11,8	28,3	0,062	—
		36	6,8	19,4	55,2	18,6	0,086	15,6	25,3	—	0,058
		39	—	0,7	52,7	46,6	0,032	15,2	25,0	0,660	—
		41	0,6	20,0	66,2	13,2	0,074	19,2	28,9	0,035	—
		42	—	—	—	—	—	24,3	—	—	—
		43	—	—	—	—	—	20,9	—	—	—
		44	8,6	11,2	56,9	23,3	0,078	17,4	26,1	—	0,107
		45	—	—	—	—	—	22,8	0,095	—	—
		46	1,5	12,7	55,4	30,4	0,058	15,5	17,5	—	—
		47	0,1	1,6	52,4	45,9	0,034	16,9	27,2	—	—
		48	—	—	—	—	—	24,1	0,077	—	—
		49	1,2	7,4	66,2	25,2	0,049	14,7	30,5	—	0,096
		52	1,1	29,1	45,8	24,0	0,083	14,2	26,6	0,236	0,103
		53	9,5	11,4	36,6	42,5	0,071	15,0	21,7	—	0,037
		54	—	—	—	—	—	22,6	—	—	—
		55	1,7	36,7	45,0	16,6	0,114	18,6	29,4	0,316	0,155
		57	0,2	21,9	49,4	28,5	0,067	19,8	23,9	0,070	0,079
		58	5,7	7,4	37,8	49,1	0,053	28,1	24,2	0,192	—
		59	0,1	2,4	66,0	31,5	0,042	17,6	22,4	—	0,067

Продолжение таблицы VI

1	2	3	4	5	6	7	8	9	10	11	12
KC <sub>2</sub>	45	60	—	—	—	—	—	—	—	—	0,030
	61	6,7	4,7	58,2	30,4	0,111	13,6	25,8	0,056	0,071	—
	62	0,1	14,4	63,8	21,7	0,062	15,6	23,7	0,015	—	—
	64	5,4	7,0	43,9	43,7	0,055	13,9	22,9	—	0,034	—
	65	0,2	10,4	63,1	26,3	0,057	13,2	24,6	—	0,060	—
	66	1,2	20,8	53,1	24,9	0,086	15,1	23,5	0,074	0,097	—
	67	0,3	3,1	51,4	45,2	0,037	11,0	25,2	—	0,031	—
	70	0,1	4,0	54,6	41,3	0,040	14,9	—	—	0,040	—
	71	0,1	1,9	56,0	42,0	0,037	13,7	22,9	0,154	—	—
	72	8,4	7,7	47,8	36,1	0,067	16,6	22,7	0,030	0,052	—
	73	2,0	4,2	59,0	34,8	0,047	15,4	24,9	—	0,056	—
	76	0,4	9,0	57,7	32,9	0,083	15,7	23,8	—	0,062	—
	78	0,2	0,6	48,9	50,3	0,031	14,7	20,2	—	0,074	—
	79	0,5	3,7	71,2	24,6	0,048	13,5	28,5	—	0,093	—
	80	6,3	10,6	43,8	39,3	0,063	14,4	22,6	—	0,044	—
	81	0,1	0,8	53,8	45,3	0,034	20,8	23,3	—	0,031	—
	82	1,1	22,1	50,5	25,9	0,071	12,1	23,2	—	0,092	—
	83	0,1	2,8	62,7	34,4	0,041	18,7	23,4	—	0,097	—
	85	0,1	4,9	62,2	32,8	0,039	16,0	20,8	—	0,063	—
	86	3,6	5,5	40,7	50,2	0,046	20,0	22,5	—	0,024	—
	87	14,3	10,6	38,0	37,1	0,085	20,6	22,2	—	0,050	—
	88	5,8	7,7	45,6	36,9	0,059	20,9	25,8	—	0,050	—
	90	0,6	9,8	55,6	34,0	0,085	19,8	28,5	0,077	0,059	—
	91	1,7	16,6	47,3	34,4	0,054	21,0	24,5	0,705	—	—
	92	0,7	4,7	62,4	32,2	0,046	15,0	26,7	0,073	0,065	—
	93	0,2	8,8	71,2	19,8	0,056	18,0	28,7	0,241	0,129	—
	94	3,4	7,8	59,8	29,0	0,077	15,6	27,6	0,028	0,078	—
	95	0,4	14,0	56,5	29,1	0,050	14,0	25,4	0,053	0,077	—
KC <sub>3</sub>	10	96	1,2	7,6	52,6	38,6	0,047	15,5	19,2	—	0,046
	97	7,2	9,4	58,8	34,6	0,067	18,7	24,7	0,046	0,057	—
	98	0,1	16,1	56,8	27,0	0,061	17,3	23,6	0,014	—	—
	99	2,7	15,8	50,3	31,2	0,065	14,2	24,4	—	0,068	—
	100	0,9	8,8	55,0	35,3	0,050	16,0	24,0	0,033	0,051	—
	101	12,3	4,8	39,1	43,8	0,069	18,7	21,7	0,420	—	—
	102	0,2	9,4	59,0	31,4	0,051	15,0	25,7	0,102	0,068	—
	103	39,2	27,4	22,6	10,8	0,178	21,5	28,8	0,165	0,213	—
	104	0,6	7,4	51,5	40,5	0,045	17,0	24,4	0,024	0,041	—
	105	0,4	1,9	60,8	36,9	0,036	13,1	27,1	0,075	0,050	—
KC <sub>4</sub>	42	106	1,6	10,8	55,0	32,6	0,056	12,8	23,8	0,018	—
	107	1,4	14,9	54,7	29,0	0,062	14,3	21,7	0,201	—	—
	108	17,6	10,1	30,4	41,9	0,089	15,8	24,5	—	0,039	—
	109	5,1	12,6	50,1	32,2	0,066	17,9	23,2	0,023	0,065	—
	110	8,4	12,7	54,3	24,6	0,078	16,1	14,9	0,030	—	—
	111	1,6	12,9	48,8	36,7	0,056	15,2	23,4	0,015	—	—
	112	2,8	11,4	53,0	32,8	0,059	14,6	27,0	—	0,053	—
	113	10,4	10,6	42,3	36,7	0,075	12,4	22,8	—	0,050	—
	114	2,0	20,1	54,6	23,3	0,072	15,9	22,6	0,082	0,108	—
	115	—	3,0	65,8	31,2	0,043	18,2	17,5	0,080	0,068	—

Продолжение таблицы VI

1	2	3	4	5	6	7	8	9	10	11	12
KC <sub>4</sub>	42	116	1,9	9,5	51,8	36,8	0,052	12,6	27,4	0,040	0,050
		117	0,4	21,3	45,0	33,3	0,065	14,3	26,7	—	0,061
		118	—	10,0	64,1	25,9	0,054	15,0	28,8	0,115	0,091
		119	0,2	6,8	47,6	45,4	0,041	12,6	25,1	0,168	—
		120	11,2	10,2	48,6	30,0	0,058	11,1	25,7	0,033	0,073
		121	0,1	7,7	60,8	31,4	0,049	13,7	25,3	—	0,068
		122	1,0	7,3	64,5	27,2	0,054	13,6	27,0	0,132	0,085
		123	—	—	—	—	—	22,6	0,018	—	—
		124	1,4	17,9	56,9	23,8	0,067	11,7	26,7	0,066	0,104
		125	2,3	7,9	59,9	29,9	0,055	27,8	20,4	0,043	0,073
		126	1,1	7,8	56,1	35,0	0,049	16,4	28,3	0,026	0,055
		127	1,7	8,9	59,4	30,0	0,055	12,6	24,4	0,108	0,073
		128	2,1	10,0	47,8	40,1	0,042	15,7	21,3	—	0,042
		129	6,8	9,6	43,9	39,7	0,063	26,5	23,6	—	0,043
		130	0,9	5,9	60,7	32,5	0,048	15,4	22,1	—	0,054
		131	0,6	10,2	56,9	32,3	0,052	14,3	21,5	0,011	—
		132	4,5	7,3	41,7	46,5	0,051	18,2	21,8	0,013	0,030
		133	2,7	10,7	58,9	27,7	0,059	14,7	26,1	0,227	—
		134	1,4	12,0	62,8	23,8	0,061	13,2	26,3	0,010	—
		136	5,8	23,8	42,3	28,1	0,084	17,2	24,3	0,058	0,081
		137	—	—	—	—	—	27,6	0,221	—	—
		138	1,8	9,8	58,7	29,7	0,071	11,8	26,2	—	0,074
		139	0,1	3,6	77,8	18,5	0,050	27,5	24,6	0,095	0,139
		140	0,4	12,1	52,2	35,3	0,053	17,8	22,9	0,129	0,054
		141	0,1	2,6	72,5	24,8	0,046	12,6	23,6	0,045	0,097
		142	1,1	44,3	25,3	29,3	0,096	—	—	0,076	—
		143	4,8	11,2	52,7	31,3	0,074	18,6	25,0	—	0,068
		145	0,1	19,7	56,7	23,5	0,067	12,4	24,4	—	0,105
		146	0,1	7,7	57,7	34,5	0,046	18,2	24,8	0,06	0,057
		147	0,5	7,3	64,8	27,4	0,051	19,2	25,2	0,046	0,084

KC <sub>a</sub>	20	148	5,9	14,8	53,7	25,6	0,044	20,1	21,2	0,027	0,093
		149	1,7	29,7	51,6	17,0	0,086	13,7	26,1	—	0,151
		150	2,4	7,4	61,8	28,4	0,063	19,9	24,2	0,160	0,080
		151	2,1	6,1	60,8	31,0	0,052	14,7	22,9	—	0,069
		152	0,9	6,0	44,9	48,2	0,039	12,8	22,4	0,059	0,027
		153	2,8	20,6	39,3	37,3	0,067	13,6	29,9	—	0,049
		154	7,3	9,6	46,5	36,6	0,066	13,8	22,7	0,011	0,051
		155	1,7	10,8	59,2	28,3	0,057	15,4	21,6	0,017	—
		156	4,4	16,4	58,5	19,7	0,012	17,7	24,4	—	0,129
		158	0,1	2,1	55,0	42,8	0,036	13,9	21,0	—	0,036
		159	3,8	12,5	60,4	23,3	0,064	21,2	26,1	—	0,106
		160	3,3	9,5	59,9	27,3	0,060	14,8	18,9	—	0,085
		161	0,4	7,2	56,2	36,2	0,046	11,8	26,0	—	0,052
		163	0,2	2,2	66,2	31,4	0,042	17,0	17,0	—	0,068
		164	0,2	2,0	56,1	41,7	0,042	12,9	24,3	0,011	—
		165	0,9	11,4	58,8	28,9	0,056	13,3	21,1	0,019	—
		167	1,7	7,7	44,6	46,0	0,045	18,5	21,2	—	0,030

Продолжение таблицы VI

1	2	3	4	5	6	7	8	9	10	11	12
KC <sub>5e</sub>	24	173	0,7	9,7	56,4	33,2	0,051	10,6	30,2	0,097	0,061
		175	0,3	1,3	53,5	44,9	0,035	24,2	24,2	0,124	—
		176	0,9	9,6	50,3	39,2	0,054	15,2	26,8	—	0,077
		178	—	0,1	72,2	27,7	0,041	—	28,5	0,036	0,083
		181	0,1	0,2	76,7	23,0	0,056	—	23,6	0,162	0,109
		182	—	18,0	52,3	29,7	0,062	14,2	—	—	0,074
		183	6,3	8,1	48,9	36,7	0,062	17,5	32,6	0,013	—
		187	—	—	—	—	—	17,4	—	—	—
		188	0,1	0,2	8,9	30,8	0,046	—	27,1	0,014	—
		189	—	—	—	—	—	—	15,8	—	—
		191	2,6	12,4	59,0	26,0	0,038	17,4	28,8	0,035	0,091
KC <sub>5c</sub>	10	195	2,7	19,1	51,7	26,5	0,071	11,7	25,5	0,126	0,088
		196	—	—	—	—	—	—	13,7	—	—
		199	1,1	23,3	42,7	32,9	0,099	17,6	—	—	0,062
		200	—	20,1	45,0	34,9	0,061	15,1	—	—	0,056
		201	7,8	32,5	26,7	33,0	0,096	15,9	24,8	—	0,062
KC <sub>5d</sub>	23	203	4,6	20,5	39,9	35,0	0,073	17,5	20,6	0,018	—
		204	5,4	25,1	37,8	31,7	0,081	15,3	20,4	—	0,066
		205	1,5	53,2	25,7	19,6	0,113	12,8	—	—	0,131
		207	1,9	13,7	47,8	36,6	0,058	11,9	26,2	—	0,051
		208	—	—	—	—	—	—	18,1	0,105	—
		209	3,4	24,9	34,7	37,0	0,071	19,8	—	—	0,050
		211	1,0	17,0	62,8	19,2	0,068	24,7	25,4	0,072	—
		212	0,2	12,0	53,4	34,4	0,053	11,8	—	—	0,057
		213	2,9	10,0	51,0	36,1	0,056	11,2	26,5	—	0,052
		214	0,9	13,8	57,1	28,2	0,060	15,3	25,8	0,199	0,081
		216	11,2	13,3	40,2	35,3	0,031	16,3	21,0	—	0,055
		217	0,7	11,9	50,5	36,9	0,052	16,3	29,9	0,023	0,050
		219	2,6	24,4	36,9	36,1	0,072	13,9	27,5	0,032	0,052
		221	2,7	27,4	49,2	20,7	0,084	13,8	—	—	0,123
		222	4,0	4,2	66,7	25,1	0,057	—	31,1	0,112	0,096
		223	0,2	3,5	65,7	30,6	0,044	9,3	21,2	0,030	0,070
		224	1,5	42,7	35,0	20,8	0,099	7,8	—	—	0,122
KC <sub>6</sub>	24	225	3,7	8,5	44,2	43,6	0,052	17,5	16,9	0,196	—
		226	3,8	16,7	54,9	24,6	0,072	11,8	21,1	—	0,099
		227	0,5	12,3	44,4	42,8	0,049	11,9	24,3	0,117	—
		229	2,3	12,6	41,7	43,4	0,047	18,2	25,2	—	0,035
		230	0,3	3,9	56,5	39,3	0,040	14,7	26,9	0,015	0,044
		231	9,0	18,6	35,4	37,0	0,050	20,5	20,5	0,072	0,050
		232	3,9	40,0	32,2	23,9	0,100	12,1	28,1	0,143	0,102
		233	8,1	39,6	26,9	25,4	0,109	12,7	12,7	—	0,094
		235	3,6	11,0	49,3	36,1	0,059	19,2	19,2	—	0,052
		236	31,2	13,6	6,8	48,4	0,123	17,2	24,4	0,024	0,027
		237	17,8	18,3	27,6	36,3	0,102	15,2	20,3	0,047	0,054
		239	3,9	22,8	43,9	29,4	0,077	18,8	22,8	0,013	—
		240	8,5	12,9	46,0	32,6	0,075	20,4	27,2	0,073	0,063
		241	3,3	11,3	44,6	40,8	0,056	15,5	22,7	0,010	—
		242	24,9	28,7	35,5	10,9	0,145	14,7	24,2	—	0,212
		243	—	2,2	55,3	42,5	0,036	15,5	16,5	—	0,037

Продолжение таблицы VI

1	2	3	4	5	6	7	8	9	10	11	12
KC <sub>8</sub>	24	244	0,1	1,7	56,1	42,1	0,036	15,8	19,0	—	0,038
		245	2,0	23,4	47,3	27,3	0,074	15,2	23,2	—	0,082
		246	1,4	20,2	50,2	28,2	0,069	14,4	—	—	0,081
		247	3,7	33,5	35,6	27,2	0,090	15,2	27,3	0,250	—
		248	9,4	41,5	26,3	22,8	0,116	13,7	22,1	0,021	0,109
		Площадь Чахнагляр									
KC <sub>1</sub>	42	8	0,9	163,4	63,4	22,3	0,062	9,9	26,3	—	0,112
		13	2,1	4,7	69,7	23,5	0,054	—	31,8	0,120	0,105
		15	1,6	3,8	48,6	46,0	0,040	10,9	31,0	—	0,030
		17	1,6	9,1	40,6	48,7	0,045	13,7	26,9	—	0,027
		28	1,4	23,2	48,7	26,7	0,073	17,0	25,7	0,366	—
		30	0,1	13,3	64,3	22,3	0,060	21,0	32,5	0,138	0,113
		32	0,9	24,2	57,3	17,6	0,077	17,6	21,8	—	0,146
		33	1,0	7,1	59,4	32,5	0,050	17,1	24,6	—	0,064
		35	0,1	0,3	65,4	34,2	0,061	—	25,9	—	0,058
		37	0,8	5,2	50,3	43,7	0,041	13,9	26,3	—	0,034
		39	1,3	8,0	66,2	24,5	0,055	17,1	25,8	—	0,099
		41	1,5	11,9	62,3	24,3	0,061	12,8	24,3	—	0,100
		Площадь Чахнагляр									
KC <sub>2</sub>	30	43	0,7	31,4	46,0	21,9	0,083	12,4	29,0	0,014	—
		44	4,6	12,0	50,7	32,7	0,064	16,6	25,5	—	0,062
		47	2,4	12,9	49,3	35,4	0,059	15,0	26,9	0,047	0,054
		48	—	—	—	—	—	30,0	0,878	—	—
		50	—	—	—	—	—	25,0	0,116	—	—
		51	—	0,3	55,3	44,4	0,033	16,6	—	—	0,033
		52	2,3	1,5	71,2	25,0	0,050	14,4	27,4	0,073	0,097
		53	1,7	9,4	47,5	41,4	0,051	14,2	23,9	0,023	0,039
		54	0,2	13,5	59,3	27,0	0,058	12,8	26,0	0,112	0,087
		55	—	—	—	—	—	17,3	0,017	—	—
		56	—	—	—	—	—	27,8	0,062	—	—
		57	—	—	—	—	—	28,4	0,444	—	—
		58	—	0,6	54,4	45,0	0,033	12,4	22,5	—	0,032
		59	0,9	8,8	66,7	23,6	0,056	11,6	27,0	0,016	—
		60	2,6	8,4	66,5	22,5	0,060	12,8	26,6	0,029	—
		62	2,6	23,5	45,3	28,6	0,075	13,5	—	—	0,073
		65	5,2	15,7	30,8	48,3	0,062	13,5	28,6	0,017	0,027
		66	—	—	—	—	—	29,0	0,035	—	—
		68	0,6	5,9	56,4	37,1	0,040	15,6	28,2	—	0,060
		69	0,8	8,6	56,6	34,0	0,050	14,2	28,0	—	0,059
		70	2,6	10,1	53,3	34,0	0,056	15,7	27,0	—	0,059
		71	2,3	11,4	68,7	17,6	0,065	14,0	29,9	—	0,147
		Площадь Чахнагляр									
KC <sub>3</sub>	13	73	2,8	15,4	53,6	28,2	0,066	13,9	28,0	—	0,081
		74	—	—	—	—	—	28,0	0,011	—	—
		76	0,1	8,7	61,7	29,5	0,051	13,8	26,3	0,034	0,076
		78	—	0,3	67,8	31,9	0,039	14,8	—	—	0,066
		Площадь Чахнагляр									

Продолжение таблицы VI

1	2	3	4	5	6	7	8	9	10	11	12
KC <sub>3</sub>	13	79	—	—	—	—	—	—	—	34,8	0,135
		81	—	—	—	—	—	—	—	29,7	0,074
		82	0,3	9,5	65,2	25,0	0,055	11,4	23,2	0,128	0,097
		83	—	8,0	60,3	31,7	0,048	13,5	22,6	0,065	0,066
		85	0,2	32,8	46,7	20,3	0,085	12,3	—	—	0,126
		Площадь Чахнагляр									
KC <sub>4</sub>	32	87	1,0	5,7	63,0	30,3	0,050	21,8	—	—	0,072
		88	—	—	—	—	—	—	—	0,113	—
		90	—	—	—	—	—	—	—	0,209	—
		91	—	—	—	—	—	—	—	25,9	0,037
		92	—	2,9	73,9	23,2	0,047	13,2	—	—	0,107
		93	0,1	0,4	63,8	35,7	0,038	10,8	—	—	0,053
		94	1,7	17,5	58,7	22,1	0,069	16,1	24,8	0,032	—
		95	0,1	0,5	63,5	35,9	0,038	11,4	—	—	—
		97	—	2,7	63,2	34,1	0,043	9,6	38,2	0,136	—
		99	0,2	6,8	59,2	33,8	0,047	—	29,2	0,018	—
		105	1,2	25,0	53,7	20,1	0,078	16,8	23,1	—	0,127
		113	1,2	4,5	50,8	43,5	0,047	14,5	27,3	—	0,034
		116	1,9	13,9	43,2	41,0	0,056	13,7	20,1	—	0,040
		Площадь Чахнагляр									
KC <sub>5a</sub>	27	159	0,1	20,6	62,5	16,8	0,072	—	27,4	—	0,152
		162	0,1	5,4	57,3	37,2	0,043	16,7	26,3	0,183	—
KC <sub>5c</sub>	15	178	0,3	12,1	66,8	20,8	0,060	12,7	28,8	0,188	0,122
		181	0,2	12,9	63,6	23,3	0,059	10,2	24,7	0,057	—
		190	0,1	10,4	64,3	23,2	0,056	20,9	16,4	—	0,107
KC <sub>5d</sub>	20	193	0,1	8,6	42,2	49,1	0,041	15,2	—	—	0,026
		196	—	—	—	—	—	21,6	—	—	—
		198	0,1	5,7	63,9	30,3	0,047	14,2	22,9	0,231	—
		199	2,4	7,5	51,0	39,1	0,050	23,2	17,9	—	0,044
		200	2,2	19,9	52,6	25,3	0,071	18,6	20,1	—	0,095
		203	0,9	12,4	57,3	29,4	0,057	13,9	21,1	0,058	0,075
		205	1,9	37,4	30,2	30,5	0,086	22,6	22,3	0,044	0,070
		207	1,6	10,0	51,8	36,6	0,065	14,2	19,1	—	0,051
		208	4,1	12,1	58,1	25,7	0,066	14,4	21,5	—	0,093
		209	0,3	2,8	55,0	41,9	0,038	13,3	22,4	0,033	0,031
		210	0,3	7,2	60,0	32,5	0,048	20,6	23,4	0,085	0,064
		211	5,4	43,8	28,8	22,0	0,112	13,3	22,8	0,198	0,114
KC <sub>6</sub>	41	214	0,1	3,9	69,0	27,0	0,046	17,6	24,6	—	0,087
		217	7,7	45,8	30,9	15,6	0,121	14,8	20,7	0,145	0,164
		219	1,9	25,4	47,3	25,4	0,077	12,2	20,2	0,035	—
		224	0,2	4,5	50,4	44,9	0,038	18,4	17,8	—	0,032
		225	0,5	23,9	44,3	31,3	0,069	17,9	21,0	0,114	—
		229	0,4	17,3	52,6	29,7	0,059	17,3	22,7	0,131	0,074
		242	12,0	19,0	37,5	31,5	0,091	15,4	20,4	0,171	—
		246	6,5	0,6	67,1	25,8	0,059	14,2	26,1	—	0,092
		247	5,9	24,6	43,9	25,6	0,086	11,5	19,6	0,191	—
		252	—	—	—	—	—	—	—	—	0,342
		Площадь Чахнагляр									

Таблица VII

Характеристика коллекторских свойств пород кирмакинской свиты  
площади Бибейбат

1	2	3	4	5	6	7	8	9	10	11	12
Площадь Сулутепе											
KC <sub>1</sub>	42	1. 20 22 26 27 31 34	— 3,1 2,2 2,1 0,3 0,1 1,3	— 70,6 47,0 54,7 52,7 66,0 49,0	— 26,3 59,6 43,1 47,0 33,6 49,6	— 0,046 0,033 0,036 0,031 0,039 0,034 0,034	— — — — 10,0 — —	19,4 30,2 21,2 26,5 21,1 24,7 25,8	0,041 — — — 0,013 — —	0,090 0,024 0,035 0,029 0,025	—
KC <sub>4</sub>	32	111 115	0,1 1,0	1,4 15,9	73,4 65,0	25,1 18,1	0,044 0,067	11,6 19,5	22,6 21,8	0,619 0,113	0,142
KC <sub>5a</sub>	32	120 128 133 143 148 149	0,3 — 0,1 0,3 — 0,2	2,1 — 0,5 5,5 75,9 3,9	75,2 — 64,4 16,3 20,0 75,9	22,4 — 35,0 — — 20,0	0,047 — 0,038 0,038 0,050 0,050	12,9 13,3 11,3 — 11,2 —	28,1 18,0 25,2 26,5 27,4 —	0,110 — — 0,034 — —	0,100 — 0,055 0,158 0,128
KC <sub>5b</sub>	27	176	0,1	6,9	64,5	28,5	0,049	11,0	24,0	—	0,080
KC <sub>5c</sub>	15	177 178 180 182 185	0,8 2,7 — — 0,5	11,9 38,4 — — 12,6	63,9 29,1 — — 57,6	23,4 29,8 — — 29,3	0,054 0,093 — — 0,057	13,3 24,1 — — 14,2	21,3 19,4 27,0 23,7 —	0,240 0,022 0,068 0,020 0,104	— — — — 0,076
KC <sub>5d</sub>	20	204 206 207 209	— — — 1,5	— — — 22,7	— — — 50,6	— — — 25,2	— — — 0,073	— 24,5 16,6 20,6	28,3 0,015 — —	— 0,106 — 0,095	—
KC <sub>6</sub>	41	226 231 233 237 240	— — 0,6 — —	— — 31,4 51,7 —	— — 16,3 — —	— — 0,086 — —	— — 16,2 — —	18,5 23,0 — 16,3 25,3	0,015 — — 0,251 —	— — 0,157	—

Горизонты	Мощность, м	Гранулометрический состав, %						Проница- емость, дарси				
		> 0,25 м.м.		0,25—0,1 м.м.		< 0,01 м.м.		Средневзвешен. диаметр зерен, м.м	Карбонатность, %	Пористость, %	по данным исследо- ваний кернов	по кривой зависимости от давления прокачки
1	2	3	4	5	6	7	8	9	10	11	12	
IKC <sub>1</sub>	22	7	—	35,9	25,4	38,7	0,079	—	16,1	—	—	0,035
		10	0,5	24,9	42,1	32,5	0,070	17,2	11,7	—	—	0,046
		13	0,6	5,5	47,3	46,6	0,039	12,3	15,5	—	—	0,025
		16	1,3	16,2	47,9	34,6	0,060	15,2	—	0,009	—	—
		18	0,3	34,8	31,5	33,4	0,081	10,0	17,3	0,042	0,045	0,025
		19	—	2,0	50,0	48,0	0,033	—	16,2	—	—	—
		20	—	0,5	42,2	57,3	0,027	8,7	22,0	—	—	—
		21	0,5	42,9	32,0	24,6	0,095	8,6	19,0	0,081	0,067	0,045
		22	—	16,8	50,0	33,2	0,056	—	14,3	—	—	—
		—	—	—	—	—	—	—	—	—	—	—
IKC <sub>2</sub>	20	23	—	—	—	—	—	—	24,1	0,045	—	—
		25	0,5	11,6	40,4	47,5	0,046	12,4	15,5	—	0,025	0,037
		26	—	18,0	44,7	37,3	0,058	10,1	15,9	0,017	0,033	0,034
		28	0,1	16,2	44,2	39,5	0,061	8,7	17,2	0,033	0,042	0,026
		29	0,6	36,8	27,9	34,7	0,083	12,3	20,2	0,014	0,042	0,020
		30	0,5	50,2	23,2	26,1	0,104	10,2	24,7	0,070	0,062	0,014
		32	0,2	16,3	37,0	46,5	0,052	9,6	21,4	0,098	0,026	0,020
		34	0,2	7,1	51,9	40,8	0,043	10,2	16,5	0,089	0,033	0,034
		35	0,1	10,6	49,3	40,0	0,048	10,2	22,9	—	—	0,034
		36	0,6	13,6	49,0	36,8	0,054	9,5	23,8	0,023	0,038	0,023
		38	0,1	20,7	43,8	35,4	0,055	8,5	16,7	—	0,041	—
		39	0,3	25,1	35,1	39,5	0,066	10,4	25,4	—	0,034	—
		40	0,4	43,9	33,1	22,6	0,087	12,3	18,6	0,027	0,073	—
		41	0,2	30,1	37,1	32,6	0,075	15,4	—	0,009	—	—
		42	0,1	22,9	31,4	45,6	0,060	9,1	23,9	0,018	0,026	—

Продолжение таблицы VII

1	2	3	4	5	6	7	8	9	10	11	12	
IIC <sub>3</sub>	39	44 0,1 46 0,2 48 — 49 0,2 51 0,2 52 — 53 0,3 54 0,1 55 0,8 56 — 57 0,1 61 — 63 0,1 65 0,3 67 0,1 70 — 71 — 72 — 74 1,1	14,2 11,9 — 21,4 23,4 — 9,9 0,1 11,5 — 0,4 — 47,9 2,4 3,9 0,5 — 47,9 7,6 30,5	49,9 48,7 — 41,6 44,0 46,0 54,5 52,0 41,6 46,1 58,9 32,1 — 36,5 62,5 62,4 66,5 28,6 65,4 36,6	35,8 39,2 — 36,8 32,4 51,7 35,4 47,8 0,048 0,049 8,8 — 15,5 34,8 33,6 33,0 23,5 0,051 11,0 31,8	0,054 0,050 — 0,063 0,068 0,032 0,050 0,031 0,048 0,050 9,6 — 0,105 0,041 0,043 0,039 0,101 0,051 0,078	10,9 10,1 — 8,2 8,2 9,9 6,8 — 9,6 13,3 8,8 — 11,7 21,1 — — 8,3 11,0 14,5	16,2 19,3 21,3 19,4 18,8 9,8 22,2 — — — 18,4 20,6 — — 18,2 17,5 25,0 22,3 16,6	— 0,013 0,123 — 0,027 0,010 — — 0,023 — 0,041 0,035 0,065 — 0,056 — 0,041 — 0,015 0,017 0,071	0,040 0,035 — 0,038 0,046 — 0,023 0,024 0,026 — 0,047 0,097 — 0,041 0,044 0,045 0,070 0,059 0,041		
IIKC <sub>1</sub>	21	86 88 0,5 90 6,1 91 — 93 0,7 101 —	— 0,1 40,9 0,1 12,2 18,5	47,5 66,0 24,9 53,1 59,8 45,3	52,4 32,5 28,1 0,165 28,3 36,2	0,029 0,041 0,165 0,032 0,057 0,058	— — 14,3 — 8,8 7,8	— 19,8 17,7 14,2 14,8 25,9	— — — — 0,017 0,071	— 0,046 0,056 0,025 0,055 0,039		
IIKC <sub>2</sub>	21	103 0,2 107 1,9 109 0,7 110 2,7 111 1,4 114 1,2 115 1,3 116 — 117 0,6 120 0,5 121 — 122 2,3 123 0,1	0,4 41,4 14,5 17,9 26,8 22,4 22,4 10,4 30,7 33,0 12,9 30,1 30,4	53,7 44,1 52,8 56,7 48,8 42,9 52,2 46,5 36,5 35,7 48,0 44,9 37,5	45,7 12,6 32,0 22,7 23,0 33,5 24,1 43,1 32,2 30,8 17,1 22,7 32,0	0,003 0,058 0,072 0,079 0,068 0,073 0,073 0,044 0,008 0,081 0,051 0,085 0,060	8,5 13,0 10,8 — 0,079 — 9,0 9,4 9,3 12,6 17,1 10,3 15,2	21,8 19,5 17,7 24,5 18,1 21,8 17,4 16,3 20,8 22,1 15,1 20,3 19,0	— 0,174 0,023 0,106 0,022 — 0,019 0,019 0,027 0,037 0,044 0,034 0,266	0,026 0,112 0,052 0,072 0,071 0,045 0,068 0,029 0,047 0,052 0,035 0,072		

Продолжение таблицы VII

1	2	3	4	5	6	7	8	9	10	11	12	
IIKC <sub>3</sub>	13	124 125 126 128 129 132 135	— — 0,2 32,7 — 0,1 —	13,4 49,3 46,9 35,6 43,1 2,7 12,0	— 37,3 17,5 24,0 0,083 50,7 32,3	— 0,052 0,120 9,1 0,033 14,8 0,072	— 10,1 13,2 21,9 14,8 11,9 21,5	20,8 17,8 22,1 0,408 23,0 19,3 14,9	0,050 — 0,277 — 0,024 0,031 —	— — — 0,077		
IIIKC <sub>1</sub>	13	137 139 141 144 147 148	0,1 8,1 0,6 15,4 0,7 —	6,0 54,0 23,2 36,6 15,4 6,4	43,4 37,4 39,6 33,3 28,5 43,2	50,5 0,047 0,064 0,058 0,051 50,4	0,037 9,6 12,2 10,7 — 8,0	9,1 21,1 14,6 22,3 11,9 15,8	18,5 21,1 0,009 0,024 0,023 —	— — 0,024		
IIIKC <sub>2</sub>	24	156 157 158 159 161 162 164 166 167 169 173	— 0,2 0,1 0,3 0,1 0,4 0,1 — 0,4 0,1 —	8,7 7,7 6,3 8,0 0,2 11,1 18,5 10,2 22,7 17,7 3,9	48,6 43,5 55,2 44,8 30,0 46,1 56,4 51,9 46,0 44,8 56,0	43,1 38,4 21,1 11,1 30,0 42,4 25,0 37,9 30,9 37,4 40,1	48,2 0,043 0,035 0,043 0,040 0,048 0,065 0,048 0,068 0,058 0,039	0,041 12,0 21,1 16,0 — 11,9 14,4 10,7 8,0 9,8 10,1	9,8 13,5 15,3 16,0 — 17,8 13,6 15,4 17,2 18,4 16,2	16,9 — — — — — — — — — —	— — — 0,027 0,052 0,030 0,066 0,037 0,050 0,037 0,034	
IIIKC <sub>3</sub>	26	176 177 178 179 180 181 182 184 185 186 187 191 195 196 199	0,1 — 0,1 — 0,1 0,1 — 0,2 — — 0,5 0,8 — 0,2 0,2	15,4 2,5 10,9 0,6 4,3 14,8 14,1 7,2 15,3 10,0 41,6 29,4 27,7 5,5 5,4	42,6 45,3 43,4 46,8 64,4 45,5 48,7 58,5 56,4 57,0 34,1 38,0 42,6 47,3 56,4	41,9 52,2 45,6 52,6 31,2 39,6 37,2 34,1 28,3 33,0 23,8 31,8 29,7 47,3 38,0	0,052 0,032 0,045 0,029 0,044 0,053 0,053 0,047 0,059 0,051 0,094 0,076 0,073 0,038 0,043	10,2 — 10,3 12,7 14,3 8,3 — 10,1 11,4 — 10,5 12,5 17,9 8,7 7,5	16,1 — 20,1 — 20,4 19,9 — 16,3 23,0 — 20,3 14,0 18,1 15,5 12,0	0,010 0,014 0,027 — 0,072 0,040 — 0,014 0,055 — 0,050 — 0,038 — 0,028		

Окончание таблицы VII

1	2	3	4	5	6	7	8	9	10	11	12
IVKC <sub>1</sub>	8	200	0,7	12,8	60,1	26,4	0,058	—	12,9	—	0,061
		203	0,6	35,6	17,0	46,8	0,076	11,5	18,7	0,087	0,025
		205	5,0	1,6	56,7	36,7	0,051	—	—	—	0,078
		206	—	8,6	50,8	40,6	0,045	7,8	11,4	0,044	0,033
		207	0,8	15,5	25,5	58,2	0,046	5,4	10,3	—	—
IVKC <sub>2</sub>	18	208	—	0,7	55,9	43,4	0,034	—	9,4	—	0,028
		210	0,2	5,6	45,2	49,0	0,038	10,7	16,7	0,014	0,024
		213	0,1	14,7	51,5	33,7	0,056	9,0	16,3	0,011	0,044
		214	0,2	0,7	50,2	48,9	0,032	21,3	—	—	0,024
		216	—	—	—	—	—	15,3	0,050	—	—
		217	0,2	7,5	53,7	38,6	0,045	8,8	17,7	—	0,035
		219	0,1	3,1	61,9	34,9	0,041	—	—	—	0,042
		221	—	0,1	80,6	19,3	0,045	13,0	7,0	—	0,083
		—	—	—	—	—	—	—	—	—	—
IVKC <sub>3</sub>	9	226	0,1	0,5	54,5	44,9	0,033	8,5	10,3	—	0,026
		228	0,2	12,2	48,9	38,7	0,051	9,0	17,0	—	0,035
		232	—	—	62,0	38,0	0,036	—	12,3	—	0,037
		234	—	—	—	—	—	—	14,9	0,074	—
VKC	20	237	0,9	13,3	50,5	35,3	0,056	8,9	24,1	—	0,041
		239	0,1	16,5	50,0	33,4	0,058	—	13,0	0,042	0,044
		240	3,9	4,9	59,4	31,8	0,055	—	14,5	0,014	0,048
		241	—	—	—	—	—	—	12,6	0,011	—
		242	—	—	—	—	—	12,2	14,9	0,012	—
		244	—	21,8	42,7	35,5	0,063	7,9	19,4	0,061	0,041
		245	—	—	—	—	—	—	22,0	0,163	—
		246	9,3	54,2	25,0	11,5	0,137	16,8	—	0,091	0,120
		247	—	38,7	29,0	32,3	0,085	7,3	19,6	—	0,047
		248	—	35,7	24,5	39,8	0,078	10,8	25,2	0,095	0,034
		249	0,2	14,1	48,6	37,1	0,054	9,0	17,0	—	0,038
		251	4,8	38,4	38,2	18,6	0,103	12,7	13,8	0,015	—
		252	22,1	45,4	10,1	22,4	0,153	23,1	16,9	—	0,073
		254	5,0	30,0	39,7	25,3	0,091	17,2	11,8	0,058	0,064
		—	—	—	—	—	—	—	—	—	—

Таблица VIII

Площадь о-в Артема																
Горизонты и раздельные мощности, м			Расстояние от начала разреза по истинной мощности, м				Гранулометрический состав, %				Карбонатность, %		Проницаемость, дарси			
1	2	3	> 0,25 м	0,25—0,1 м	0,1—0,01 м	< 0,01 м	1	2	3	4	5	6	7	8	9	10
KC—KC <sub>1</sub>	60	1,0	0,8	8,3	58,5	32,4	6,5	34,7	—	—	—	—	—	—	—	—
		1,6	0,7	1,2	82,0	16,1	6,5	29,3	—	—	—	—	—	—	—	—
		2,4	0,7	13,5	71,0	14,8	6,5	28,6	—	—	—	—	—	—	—	—
		3,1	0,6	6,2	68,2	25,0	5,0	26,5	0,199	—	—	—	—	—	—	—
		3,9	0,2	5,7	58,7	35,4	29,6	13,3	0,710	—	—	—	—	—	—	—
		6,0	0,3	0,5	61,5	37,7	6,5	21,7	0,073	—	—	—	—	—	—	—
		6,3	0,2	0,5	67,7	31,6	7,0	21,9	0,228	—	—	—	—	—	—	—
		6,7	0,3	1,6	78,1	20,0	8,5	32,3	0,090	—	—	—	—	—	—	—
		7,8	0,1	0,2	56,2	43,5	11,0	20,0	0,053	—	—	—	—	—	—	—
		8,7	2,5	30,2	35,0	32,3	7,0	34,7	—	—	—	—	—	—	—	—
		8,9	0,1	0,2	62,7	37,0	7,0	9,2	0,230	—	—	—	—	—	—	—
		11,1	0,2	33,2	47,7	18,9	7,0	33,7	—	—	—	—	—	—	—	—
		12,7	0,3	1,5	60,9	37,3	8,3	23,3	0,250	—	—	—	—	—	—	—
		13,8	0,3	2,8	61,6	35,3	8,3	26,9	0,111	—	—	—	—	—	—	—
		14,9	0,3	3,4	71,2	25,1	9,3	24,9	0,113	—	—	—	—	—	—	—
		15,6	0,3	1,4	66,3	32,0	7,8	24,8	0,041	—	—	—	—	—	—	—
		18,3	0,3	2,6	61,6	35,5	7,8	39,9	—	—	—	—	—	—	—	—
		19,0	0,7	1,9	48,6	48,8	8,3	24,4	—	—	—	—	—	—	—	—
		20,1	1,9	31,5	60,1	6,5	9,3	30,2	0,633	—	—	—	—	—	—	—
		21,2	1,2	3,9	77,1	17,8	7,0	26,8	0,058	—	—	—	—	—	—	—
		22,6	1,3	4,1	67,8	26,8	11,0	17,3	0,172	—	—	—	—	—	—	—
		23,7	1,4	10,8	61,8	26,0	6,5	22,1	—	—	—	—	—	—	—	—
		24,4	0,5	4,2	73,7	21,6	15,7	26,6	0,096	—	—	—	—	—	—	—
		25,4	0,4	9,7	75,0	14,9	9,3	28,5	—	—	—	—	—	—	—	—
		27,4	0,4	1,9	56,2	41,5	9,3	24,5	—	—	—	—	—	—	—	—
		30,0	0,1	2,8	53,7	43,4	8,5	29,0	0,078	—	—	—	—	—	—	—
		32,1	0,5	2,6	72,6	24,3	9,0	28,8	0,139	—	—	—	—	—	—	—
		34,0	0,5	10,2	67,8	21,5	10,0	10,0	0,840	—	—	—	—	—	—	—
		34,8	0,2	2,2	55,2	42,4	9,0	18,8	0,400	—	—	—	—	—	—	—
		35,6	0,1	0,7	60,2	39,0	9,0	27,9	—	—	—	—	—	—	—	—
		36,5	0,8	12,7	68,5	18,0	9,0	26,5	—	—	—	—	—	—	—	—
		37,2	0,7	13,8	66,5	19,0	8,0	24,4	0,898	—	—	—	—	—	—	—
		39,2	0,6	2,6	55,3	41,5	9,0	30,1	0,272	—	—	—	—	—	—	—
		40,4	0,2	0,3	53,8	45,7	9,0	31,6	0,350	—	—	—	—	—	—	—
		41,0	0,5	1,5	70,5	27,5	9,0	27,6	0,387	—	—	—	—	—	—	—
		42,0	0,2	5,2	73,7	20,9	7,0	26,9	0,251	—	—	—	—	—	—	—
		43,0	0,7	10,7	65,2	23,4	7,0	24,5	0,607	—	—	—	—	—	—	—
		44,2	0,4	8,5	63,5	27,6	8,5	22,4	0,247	—	—	—	—	—	—	—
		45,0	0,1	1,2	53,0	45,7	8,5	21,7	0,055	—	—	—	—	—	—	—

Продолжение таблицы VIII

1	2	3	4	5	6	7	8	9	10
KC—KC <sub>1</sub>	60	46,4	1,2	35,2	16,7	46,9	7,0	24,1	0,268
		51,0	1,2	2,5	67,0	29,3	6,0	24,6	0,180
		52,0	0,1	15,0	70,5	14,4	6,0	25,8	—
		53,0	2,8	13,8	63,7	19,7	8,5	25,9	0,548
		54,3	0,8	10,3	51,2	37,7	8,5	19,2	0,600
		54,5	2,2	30,2	51,2	16,4	8,5	25,3	0,115
		55,0	2,7	12,7	62,7	21,9	7,0	23,5	0,253
		57,5	0,2	3,2	52,7	43,9	9,0	22,3	0,283
		60,0	0,7	3,7	56,5	39,1	8,5	22,1	0,062
KC <sub>1</sub>	25	62,0	0,2	15,2	58,6	26,0	8,5	24,4	0,090
		63,4	0,4	28,7	53,9	17,0	8,3	26,5	—
		64,7	0,4	4,9	74,5	20,2	9,3	28,8	0,197
		66,0	0,1	5,1	57,5	37,3	8,3	24,9	—
		67,0	0,4	3,7	53,9	42,0	—	20,6	0,608
		68,3	0,1	0,7	64,2	35,0	8,3	29,5	0,695
		70,3	0,2	6,5	64,0	29,3	8,3	28,6	0,121
		71,7	0,1	2,8	75,4	21,7	8,2	28,8	0,123
		72,5	0,4	2,2	74,7	22,7	8,3	27,8	0,153
		73,9	0,8	5,4	66,3	27,5	9,3	24,8	0,019
		74,9	0,2	0,8	59,0	40,0	9,3	24,8	—
		76,5	0,1	2,3	63,3	34,3	9,3	24,8	0,099
		77,4	0,3	1,6	50,6	47,5	8,3	18,9	—
		80,4	0,4	8,9	71,4	19,3	8,3	29,2	0,185
		80,9	0,8	26,3	59,9	13,0	7,4	28,1	—
		83,4	0,1	5,8	48,8	45,3	8,3	27,6	0,175
KC <sub>1</sub> —KC <sub>2</sub>	7	87,0	0,1	1,7	63,7	34,5	7,4	26,6	0,080
		88,9	0,5	11,5	64,5	23,5	8,3	27,4	0,044
		90,1	0,1	1,9	57,5	40,5	8,3	25,0	0,074
KC <sub>2</sub>	18	92,8	0,1	1,6	65,0	33,3	7,0	25,8	0,097
		100,9	0,1	2,7	48,4	48,8	7,4	27,1	0,175
		102,1	0,1	4,0	63,0	32,9	7,4	24,6	0,058
		104,4	0,1	0,8	53,9	45,2	7,4	23,4	0,058
		107,8	0,1	4,3	69,9	25,7	6,5	28,7	0,078
		109,2	0,2	17,1	62,6	20,1	7,4	27,2	0,235
KC <sub>2</sub> —KC <sub>3</sub>	7	113,3	0,1	6,2	75,0	18,7	6,0	28,0	0,593
		115,2	1,7	22,2	58,0	18,1	6,0	24,6	0,193
		116,8	0,1	1,5	64,1	34,3	8,0	23,1	0,014

Окончание таблицы VIII

1	2	3	4	5	6	7	8	9	10
KC <sub>3</sub>	38	118,5	0,1	1,1	50,2	48,6	9,0	23,7	0,224
		119,9	0,2	27,2	58,7	13,9	7,5	23,9	0,516
		122,3	0,2	0,4	69,0	30,4	8,0	26,4	0,048
		123,8	3,7	38,7	45,7	11,9	7,5	29,2	—
		125,6	1,7	19,7	62,7	15,9	9,0	28,3	0,747
		127,1	1,7	15,7	63,6	19,0	8,0	28,9	0,127
		129,0	0,1	0,4	72,0	27,5	7,5	32,0	0,333
		130,0	0,1	24,9	58,0	17,0	8,0	27,0	0,290
		132,0	0,2	3,5	73,0	23,3	7,5	30,9	0,602
		133,8	0,7	2,5	52,5	44,3	9,0	26,5	0,307
		135,0	0,2	1,4	69,9	28,5	7,4	23,4	0,082
		136,0	0,2	4,0	70,4	25,4	7,8	24,2	0,124
		139,0	0,5	7,9	64,7	26,9	7,0	22,2	0,107
		139,9	0,1	0,5	53,6	45,8	8,3	25,9	0,245
		141,0	0,9	21,7	59,7	17,7	8,3	30,0	0,131
		142,6	0,6	18,2	64,0	17,2	8,2	25,1	0,980
		143,8	0,2	10,6	69,3	19,9	6,5	20,8	0,078
		145,5	0,3	1,0	49,5	49,2	6,5	25,3	—
		147,0	0,2	1,1	69,6	29,1	7,4	21,1	0,502
		149,2	3,6	42,8	35,8	17,8	11,5	22,8	0,015
		151,2	0,1	2,6	65,2	31,8	6,6	22,7	0,025
		153,0	0,3	15,1	66,0	18,6	8,3	23,2	0,087
		154,0	0,6	13,2	65,6	20,6	7,8	32,8	0,032
KC <sub>3</sub> —KC <sub>4</sub>	9	156,9	0,9	4,1	74,3	20,7	8,3	27,3	0,173
		158,0	0,1	1,6	67,5	30,8	8,0	23,8	0,123
		159,2	0,2	2,5	65,0	32,3	7,0	24,4	0,038
		160,7	0,1	2,1	65,2	32,6	7,0	25,7	0,021
		162,2	0,5	1,5	63,8	34,2	7,5	30,7	0,03
		164,0	0,2	8,7	58,8	32,3	8,0	26,7	0,240
KC <sub>4</sub>	26	164,9	0,5	6,5	66,5	26,5	9,1	27,7	0,230
		165,2	1,8	35,8	52,5	9,9	7,5	30,0	0,562
		166,0	0,3	1,8	70,7	27,2	7,5	25,6	—
		167,4	0,2	1,5	82,7	15,6	8,0	30,0	—
		169,0	0,2	2,2	66,7	30,9	7,5	26,1	0,063
		170,8	0,1	1,0	53,5	45,4	8,0	26,2	0,068
		172,8	0,1	1,7	55,5	42,7	8,0	29,6	0,224
		174,7	0,1	1,1	72,5	26,3	8,0	26,9	0,131

Таблица IX

## Площадь Кирмакинская долина

Горизонты	Мощность, м	Расстояние от начала разреза, м	Гранулометрический состав, %						Пористость, %	Проницаемость по напластованию, дарси	Проницаемость в крест напластованию, дарси
			> 0,25 мк	0,25—0,1 мк	0,1—0,01 мк	< 0,01 мк	4	5	6	7	8
1	2	3	4	5	6	7	8	9	10		
IKC <sub>1</sub>	37	0,9	0,7	4,7	66,7	27,9	31,2	—	0,055		
		4,7	0,1	0,5	75,9	23,5	30,0	0,066			
		5,3	0,2	3,2	84,0	12,6	30,1	—			
		9,3	0,1	1,8	61,3	36,8	23,1	0,194			
		12,7	1,1	37,5	48,6	12,8	29,52	0,317			
		14,5	1,9	10,5	75,2	12,4	31,9	—			
		17,0	0,2	5,4	82,1	12,3	31,55	—			
		18,0	0,8	1,3	70,3	27,6	28,8	0,077			
		21,9	0,1	1,2	61,2	37,5	28,2	—	0,059		
		27,0	0,8	19,2	65,5	14,5	29,3	0,178	—		
		32,7	0,5	6,7	66,9	25,9	27,1	0,029	—		
		35,1	0,1	0,3	79,5	20,1	31,5	0,048	0,047		
		37,2	0,5	4,0	73,9	21,6	26,2	0,215	—		
IKC <sub>2</sub>	59	40,6	0,9	35,4	54,2	9,5	29,6	0,076	0,071		
		47,2	4,9	51,9	33,7	9,5	29,8	—			
		48,7	0,2	7,6	83,7	8,5	30,6	0,387			
		49,4	0,9	47,9	41,7	9,5	32,1	—			
		56,8	0,3	6,9	70,3	22,5	28,4	0,192			
		57,5	0,4	1,5	78,5	19,6	35,3	0,050			
		58,6	—	0,1	73,5	26,4	30,1	—	0,134		
		60,9	2,8	13,9	70,7	12,6	30,7	—			
		62,0	0,4	1,0	78,0	20,6	30,5	0,082			
		62,8	0,5	1,9	80,8	16,8	—	—			
		66,7	1,5	16,9	68,3	13,3	31,1	0,054			
		70,7	0,1	0,1	68,0	31,8	28,5	0,115			
		75,1	0,3	14,1	74,9	10,7	30,6	—			
		76,5	—	0,1	70,7	29,2	24,8	0,015			
		78,2	0,1	0,2	73,9	25,8	23,7	0,012			
		9,7	1,2	5,2	81,9	11,7	32,5	0,784			
		84,0	0,3	1,8	81,9	16,0	30,6	—			
		85,5	0,4	0,9	80,7	18,0	31,9	0,237			
		88,0	0,2	0,4	80,9	18,5	30,1	—	0,103		
		89,5	—	0,2	73,2	26,6	29,1	0,575			
		89,9	0,3	1,0	75,7	23,0	23,6	—	0,013		
		90,8	0,4	8,4	76,9	14,3	—	—			
		92,8	0,2	0,4	80,4	19,0	29,4	0,267			
		93,8	0,2	0,9	85,2	13,7	33,6	0,729			
		94,5	0,1	0,2	68,7	31,0	34,3	0,190			

Таблица IX

Продолжение таблицы IX

1	2	3	4	5	6	7	8	9	10
IKC <sub>3</sub>	37	97,2	0,4	1,9	80,5	17,2	27,7	0,137	—
		97,8	0,1	0,2	64,2	35,5	25,3	0,114	0,202
		98,9	0,1	0,4	78,4	21,1	29,1	—	—
		100,2	0,4	5,9	81,9	11,8	—	—	—
		101,0	0,1	0,2	63,9	35,8	31,2	0,212	0,176
		102,8	0,1	0,2	79,0	20,7	29,6	—	0,585
		104,0	0,9	2,7	76,2	20,2	25,0	—	—
		105,0	—	0,2	77,4	22,4	28,7	0,137	—
		106,5	0,2	14,4	73,7	11,7	33,6	—	—
		106,9	0,2	3,5	85,7	10,6	—	—	—
		108,2	0,1	0,5	75,0	24,4	24,8	0,035	—
		108,4	0,4	18,7	64,8	16,1	29,6	—	—
		108,6	0,2	0,5	68,2	31,1	26,9	—	0,325
		109,4	0,2	2,9	63,9	33,0	22,1	0,018	—
		111,5	0,1	0,7	82,5	16,7	26,6	0,615	—
		112,2	0,2	0,5	77,4	21,9	28,2	0,056	0,038
		113,8	0,3	13,5	68,1	18,1	30,0	0,064	0,316
		114,6	0,4	51,2	36,4	12,0	33,5	—	—
		114,8	0,4	40,2	41,4	18,0	24,3	—	—
		115,0	0,3	38,4	50,2	11,1	31,6	0,434	—
		116,3	0,1	2,7	77,5	19,7	29,7	—	0,388
		116,7	0,1	0,2	70,4	29,3	25,0	0,019	—
		119,5	0,3	27,9	54,5	17,3	23,6	0,094	—
		120,8	0,4	3,9	80,2	15,5	31,9	0,805	0,110
		121,4	0,1	1,0	88,0	10,9	28,9	0,292	—
		122,4	0,2	0,7	77,9	21,2	30,2	—	0,036
		123,2	0,1	0,4	79,0	20,5	26,4	—	0,024
		124,4	0,8	16,9	51,4	30,9	27,4	0,022	—
		125,1	0,2	2,2	78,7	18,9	30,2	0,488	—
		126,2	0,1	0,9	75,9	23,1	30,4	—	0,101
		126,5	0,2	2,5	77,4	19,9	27,8	0,145	—
		127,3	—	0,9	54,0	45,1	28,6	0,163	—
		128,3	0,1	1,5	69,4	29,0	25,2	0,104	0,011
		129,7	0,1	0,6	78,9	20,4	28,3	0,121	0,149
		132,4	1,7	26,4	57,6	14,3	30,4	—	—
		132,7	0,1	0,1	68,1	31,7	27,3	0,016	—
		133,1	0,9	35,4	50,9	12,8	—	—	—
IKC <sub>4</sub>	27	134,5	0,1	0,3	67,9	31,7	26,6	—	0,073
		134,6	0,1	0,2	70,4	29,3	26,9	—	0,018
		135,1	0,2	0,4	55,7	44,2	—	—	—
		135,3	0,4	30,5	56,5	12,6	31,4	0,808	—
		136,8	0,2	3,3	73,1	23,4	27,2	0,942	—
		136,9	0,1	0,2	67,0	32,7	30,9	—	—
		140,7	1,5	15,3	63,6	19,6	25,1	0,060	—
		141,5	1,0	22,9	62,7	13,4	32,9	0,358	—
		143,2	0,2	9,0	76,9	13,9	28,9	—	0,071
		143,6	0,5	31,5	44,2	23,8	25,0	—	0,095
		147,3	2,3	50,9	36,4	10,4	25,7	0,203	0,096
		147,7	0,1	0,2	69,0	30,7	28,9	0,030	—

Продолжение таблицы IX

1	2	3	4	5	6	7	8	9	10
IIKC <sub>4</sub>	27	148,3	0,2	18,9	68,4	12,5	26,3	—	0,014
		150,3	0,1	0,4	72,9	27,6	29,2		
		150,6	0,2	23,4	66,2	10,2	—	0,042	—
		150,8	0,3	1,9	78,9	18,9	29,2		
		151,5	0,7	4,8	77,9	16,6	29,3	0,363	—
		151,9	0,2	3,5	79,0	17,3	31,6	0,347	—
		152,0	0,1	0,9	84,9	14,1	27,3	0,129	0,058
		152,8	0,2	2,8	77,7	19,3	29,9	0,225	—
		158,3	0,5	36,3	48,5	14,7	27,0	0,136	0,041
		158,9	1,5	51,7	31,5	15,3	27,8	—	—
IIKC <sub>1</sub>	17	159,7	0,2	17,3	65,9	16,6	26,7	—	0,014
		160,4	0,2	15,0	70,0	14,8	33,6		
		161,2	0,2	0,4	81,4	18,0	27,1	—	—
		163,4	0,5	15,0	67,5	17,0	30,8		
		164,4	0,1	0,4	78,4	21,1	30,2	—	0,023
		165,7	0,2	4,1	81,9	13,8	—	—	0,077
		166,2	0,5	13,9	70,9	14,7	26,9	—	0,260
		167,2	0,2	0,7	81,7	17,4	29,6	—	—
		169,1	0,1	0,2	70,9	28,8	23,8	0,057	—
		172,4	0,5	23,6	54,1	21,8	27,7	0,119	0,093
		172,7	0,1	0,3	77,9	21,7	30,5	0,095	—
		173,3	0,2	0,9	77,8	21,1	29,6	—	—
		173,5	0,2	2,4	82,9	14,5	—	—	—
		174,2	0,1	1,3	74,8	23,8	32,5	0,048	—
		175,0	0,1	1,2	82,9	16,8	30,4	—	0,126
		175,6	0,2	0,5	71,2	28,1	27,3	0,012	—
		178,6	0,6	20,6	66,1	12,7	30,1	0,314	0,302
IIKC <sub>2</sub>	21	182,2	1,0	24,9	62,0	12,1	30,3	0,641	0,533
		185,9	0,1	0,2	80,0	19,7	25,4	0,159	—
		186,6	0,5	0,6	77,2	21,7	26,9	0,054	0,055
		187,4	0,4	2,9	70,9	25,8	28,2	—	0,112
		187,7	0,1	0,1	68,9	30,9	27,8	—	0,528
		188,5	0,1	0,2	63,2	36,5	24,0	—	0,073
		189,4	0,3	3,3	68,6	27,8	28,2	0,117	0,045
		191,3	0,4	15,0	66,8	17,8	29,6	0,217	0,117
		193,9	0,2	0,3	69,7	29,8	30,7	—	0,271
		194,7	0,1	0,2	80,9	18,8	26,4	0,161	—
		197,5	0,3	13,8	67,1	18,8	29,5	0,362	0,071
		197,9	0,2	1,2	72,2	26,4	29,4	—	0,045
		198,2	0,1	0,1	80,4	19,4	—	0,116	—
		198,7	0,2	0,4	77,5	21,9	30,3	—	0,044

1	2	3	4	5	6	7	8	9	10
IIKC <sub>3</sub>	16	200,1	0,2	10,0	68,0	21,8	29,0	0,213	0,132
		201,1	1,4	26,7	59,4	12,5	26,6	0,332	—
		202,4	0,3	4,6	77,0	18,1	31,0	0,221	0,258
		202,9	0,7	18,2	70,4	10,7	—	0,022	—
		205,1	0,2	1,1	70,1	28,6	26,8	0,130	0,047
		206,3	0,9	11,8	56,8	30,5	26,8	0,119	—
		207,4	0,1	0,2	61,7	38,0	25,0	0,035	—
		208,2	0,3	13,3	67,5	18,9	29,0	0,146	—
		209,2	0,2	7,8	75,2	16,8	28,9	0,167	0,279
		210,6	0,1	1,2	71,8	27,9	27,5	—	0,032
		210,6	0,2	8,4	72,4	19,0	28,1	—	0,108
		211,1	0,3	1,3	73,0	25,4	28,5	—	0,054
		211,8	1,2	57,0	33,4	8,4	30,2	0,326	0,467
		212,2	1,0	42,0	45,2	11,8	28,3	0,266	0,399
		214,0	0,4	23,5	62,1	14,0	28,3		
IIKC <sub>4</sub>	23	215,0	0,1	3,9	69,5	26,5	27,8	0,184	0,025
		216,7	0,2	2,8	72,9	24,1	29,6	0,197	—
		217,3	0,1	0,7	66,2	33,0	29,2	—	0,014
		217,9	1,9	25,9	40,9	31,3	29,3	—	0,254
		218,1	0,2	30,2	56,7	12,9	33,4	—	0,097
		221,2	0,5	19,9	66,4	13,2	29,4	0,367	0,248
		221,7	0,4	2,9	71,7	25,0	20,6	—	—
		223,0	1,1	16,6	69,6	12,7	30,3	0,270	0,461
		223,9	0,5	5,5	78,9	15,1	—	0,189	
		226,9	0,8	35,7	50,6	12,9	28,3	0,555	0,239
		230,3	0,8	11,9	67,2	20,1	26,6	0,167	0,083
		231,3	0,5	3,5	73,3	22,7	26,9	0,234	0,05
		231,8	1,8	1,2	59,3	37,7	25,3	0,178	0,017
		232,1	0,1	0,1	62,1	37,7	28,5	0,026	—
		233,0	1,0	8,3	60,2	30,5	12,7	—	—
		234,4	0,1	0,1	48,2	51,6	20,2	0,143	—
IIKC <sub>5</sub>	26	240,2	0,0	0,7	59,1	40,2	23,6	0,070	0,009
		240,8	0,1	1,6	76,5	21,8	22,2	0,036	—
		242,8	0,6	41,9	47,8	9,7	29,7	0,396	0,438
		244,1	0,6	9,1	70,1	20,2	25,8	0,110	—
		245,1	0,4	14,7	70,7	14,2	28,9	0,258	0,278
		246,2	0,5	11,7	64,9	22,9	28,2	0,035	—

Таблица X

Продолжение таблицы X

## Площадь Кейрекишор

Горизонты и разрезы

Мощность, м	Горизонты и разрезы	Гранулометрический состав, %						Карбонатность, %	Пористость, %	Проницаемость, дарси
		> 0,25 мм	0,25—0,1 мм	0,1—0,01 мм	< 0,01 мм	Карбонатность, %	Пористость, %			
1	2	3	4	5	6	7	8	9	10	
KC <sub>1</sub>	50	1,7	—	—	—	—	—	—	—	0,597
		2,2	10,2	38,8	32,5	18,5	3,0	—	—	—
		3,2	3,2	12,5	56,0	28,3	36,0	7,8	—	0,511
		4,5	—	—	—	—	—	—	—	—
		5,1	2,2	29,7	48,2	19,9	—	—	—	—
		6,0	8,0	27,7	39,3	25,0	29,0	10,2	—	—
		6,7	5,8	11,8	36,8	45,6	42,0	16,0	—	—
		7,6	0,3	0,7	56,0	43,0	10,5	28,0	—	—
		12,5	0,3	0,7	62,5	36,5	8,0	29,9	0,172	—
		13,3	—	—	—	—	8,3	—	—	—
		14,0	0,9	1,6	59,3	38,2	8,3	32,2	0,027	—
		14,3	—	—	—	—	—	—	0,240	—
		14,5	8,5	34,3	38,2	19,0	38,3	3,0	—	—
		14,8	—	—	—	—	—	—	0,231	—
		15,1	8,1	13,1	49,5	29,3	21,0	5,2	0,076	—
		18,1	—	—	—	—	10,4	3,0	0,017	—
		25,2	0,2	2,7	62,9	34,2	6,0	18,9	0,040	—
		25,6	—	—	—	—	36,5	7,9	0,011	—
		25,8	15,9	37,4	35,7	11,0	40,5	—	—	—
		27,5	0,5	7,5	77,3	14,7	9,5	—	0,558	—
		29,1	0,3	7,9	64,5	27,3	10,0	—	—	—
		36,5	0,4	5,1	63,3	31,2	9,5	30,2	0,016	—
		37,5	—	—	—	—	10,0	—	—	—
		38,5	—	—	—	—	—	—	0,028	—
		41,8	0,8	8,2	66,5	24,5	10,0	—	—	—
		49,4	3,3	12,8	42,9	41,0	13,2	24,3	—	—

1	2	3	4	5	6	7	8	9	10
KC <sub>2</sub>	45	50,9	2,0	7,8	53,5	36,7	3,6	7,5	—
		51,1	0,7	27,0	27,1	45,2	8,8	2,9	0,175
		51,7	0,3	25,5	65,8	8,4	8,3	31,1	—
		52,6	0,7	16,0	62,2	21,1	9,5	30,3	0,217
		53,4	0,7	2,4	54,3	42,6	8,8	26,6	0,011
		53,6	0,5	3,4	64,6	31,3	28,3	30,7	—
		53,9	0,2	2,4	56,7	40,7	8,8	28,6	0,192
		54,1	0,2	3,0	54,0	42,8	17,5	20,4	—
		54,6	0,2	2,5	63,1	34,2	8,8	26,4	—
		54,8	0,2	1,2	62,7	35,9	10,0	23,3	0,323
		55,0	1,7	11,1	69,3	17,9	9,3	33,4	—
		55,2	0,2	3,3	56,7	39,8	8,3	13,0	—
		55,4	1,1	15,6	51,5	31,8	10,0	33,3	—
		55,7	0,5	1,8	65,7	32,0	10,5	32,5	—
		55,9	0,2	9,8	76,1	13,9	9,5	34,2	—
		56,4	0,2	3,4	71,4	25,0	8,7	32,0	—
		56,7	8,2	8,3	65,0	18,5	10,0	30,6	0,190
		57,1	—	—	—	—	—	—	0,210
		58,0	0,5	1,9	64,2	33,4	11,4	28,1	—
		58,5	0,3	3,2	52,1	44,4	11,4	25,5	0,217
		58,9	0,3	2,3	53,9	43,5	11,4	28,4	—
		59,1	0,8	1,8	51,5	45,9	9,5	30,9	0,094
		59,4	8,3	6,0	39,7	46,0	10,5	25,3	0,072
		59,9	0,2	7,7	57,7	34,4	8,8	29,3	0,018
		60,4	7,0	6,2	47,3	39,5	11,4	34,1	0,010
		61,6	1,1	15,0	66,3	17,6	8,8	10,2	—
		61,8	0,3	20,6	63,9	15,2	5,3	31,4	0,034
		62,0	0,6	13,1	72,6	13,7	10,8	33,4	0,055
		64,7	0,4	4,3	53,9	41,4	15,7	33,5	—
		65,1	0,7	3,7	48,4	47,2	7,5	32,3	0,233
		65,9	0,6	7,9	43,5	48,0	18,3	29,2	0,125
		66,8	1,4	6,2	58,9	33,5	8,0	31,0	0,041
		67,4	0,3	1,6	58,9	39,2	10,0	30,8	0,035
		70,4	0,4	2,5	63,3	33,8	9,5	32,9	—
		70,8	0,2	1,9	55,0	42,9	8,8	33,0	0,257
		71,0	0,3	3,9	49,2	46,6	14,0	27,5	0,082
		71,3	0,8	7,4	63,3	28,5	9,5	32,4	0,268
		71,5	0,3	6,5	62,1	31,1	9,5	33,0	0,094
		73,0	0,4	4,4	58,5	36,7	14,4	31,4	0,048
		74,1	0,2	1,6	60,2	38,0	10,5	21,2	0,010
		75,2	1,0	2,0	67,0	30,0	8,8	31,3	0,153
		76,2	—	—	—	—	—	—	0,069
		77,3	0,4	3,9	65,8	29,9	8,8	31,3	—
		77,5	0,3	5,3	66,6	27,8	8,8	30,6	0,055
		77,8	0,1	0,9	51,0	48,0	9,1	35,4	0,141
		78,3	0,1	4,5	68,8	26,6	8,8	35,2	0,061
		79,2	0,5	1,2	53,1	45,2	8,8	42,2	0,013

Продолжение таблицы X

Окончание таблицы X

Таблица XI

Площадь Коби

Горизонты	Мощность, м	Расстояние от начала разреза по истинной мощности, м	Гранулометрический состав, %				Карбонатность, %	Пористость, %	Проницаемость, дарси	
			> 0,25 мм	0,25—0,1 мм	0,1—0,01 мм	< 0,01 мм				
	1	2	3	4	5	6	7	8	9	10
KC <sub>1</sub>	42	4,2	1,3	8,5	52,3	37,9	3,5	32,7	—	0,077
		4,5	0,3	19,0	47,0	33,7	5,7	34,8		
		4,8	2,3	9,2	55,7	32,8	8,0	31,1		
		7,8	0,3	0,7	64,6	34,4	9,5	30,0		
		10,4	0,1	1,9	68,2	29,8	9,5	31,8		
		12,1	0,5	3,7	64,6	31,2	9,5	10,8		
		13,4	0,1	9,6	57,8	32,5	10,1	25,9		
		14,4	0,2	0,3	56,7	42,8	9,2	34,0		
		14,7	0,1	0,1	59,5	40,3	—	33,2		
		17,0	0,3	5,4	64,7	29,6	10,5	32,4		
		18,0	0,6	5,7	53,7	40,0	9,5	28,7		
		18,4	0,1	1,2	57,6	41,1	10,5	20,4		
		20,0	0,3	5,4	65,2	29,1	13,0	29,5		
		20,1	0,6	18,2	61,2	20,0	10,5	34,8		
KC <sub>2</sub>	30	24,5	0,2	22,3	56,0	21,5	9,5	23,4	0,105	0,042
		31,0	2,2	19,4	53,6	24,8	9,7	29,5		
		31,4	—	—	—	—	—	—		
		31,7	0,2	5,1	68,1	26,6	9,5	30,8		
		32,2	1,0	7,5	64,0	27,5	8,0	33,0		
		33,4	0,2	2,9	51,5	45,4	8,7	28,7		
		33,8	0,9	4,2	53,5	41,4	8,3	18,3		
		34,8	0,8	1,2	57,5	40,5	7,4	25,9		
		35,3	0,1	3,4	63,4	33,1	6,1	27,2		
		35,8	0,5	5,5	64,7	29,3	5,5	25,3		
		36,2	2,2	59,6	23,4	14,8	8,0	26,3		
		36,7	0,8	4,0	58,7	36,5	8,3	30,1		
		37,3	2,4	14,9	50,1	32,6	36,6	27,1		
		37,8	3,1	61,5	18,7	16,7	5,8	33,6		
		37,9	1,1	47,8	43,9	7,2	—	31,6		
		39,5	—	—	—	—	10,5	—		
		39,8	1,1	47,1	48,0	3,8	11,4	35,0		
KC <sub>3</sub>	13	40,1	1,2	45,9	46,4	6,5	9,8	36,4	0,045	0,020
		40,7	—	—	—	—	9,5	—		
		42,5	—	—	—	—	—	—		
		43,0	—	—	—	—	—	—		
		46,9	0,1	2,2	61,0	36,7	10,5	38,8		

### Окончание таблицы XI

1	2	3	4	5	6	7	8	9	10
KC <sub>4</sub>	32	47,0	0,2	2,0	73,0	24,8	10,0	33,2	0,328
		47,2	1,5	7,8	73,7	17,0	12,9	33,2	0,372
		47,6	0,1	0,1	62,3	37,5	8,8	36,8	0,131
		47,8	1,9	10,0	41,1	47,0	14,0	38,7	—
		48,0	0,9	4,4	51,1	43,6	7,0	36,5	0,022
		48,2	3,0	6,2	56,3	34,5	8,8	38,4	0,393
		48,4	6,0	46,5	25,9	21,6	38,3	75,1	0,010
		48,6	5,9	12,3	38,6	43,2	3,8	39,4	—
		48,7	2,0	51,1	25,7	21,2	4,8	35,0	—
		48,8	7,7	14,7	38,2	39,4	35,6	12,2	—
		49,2	0,5	49,5	5,5	44,5	48,0	30,3	—
		49,6	0,5	54,1	28,0	17,4	8,7	34,0	—
		49,8	1,2	50,4	25,0	23,4	8,2	33,9	—
		50,0	1,5	52,0	28,6	17,9	7,0	43,2	—
		50,2	0,6	47,6	34,1	17,7	8,7	41,0	—
		50,4	1,3	41,5	35,5	21,7	12,0	43,6	—
		50,7	3,2	25,7	29,4	41,7	44,2	23,5	—
		50,9	0,6	36,3	41,2	21,9	12,5	17,5	—
		51,1	12,5	68,0	15,0	4,5	8,0	32,0	0,087
		51,1	—	—	—	—	—	—	—
		51,2	1,0	32,0	57,5	9,5	7,5	30,9	0,041
		51,8	9,1	62,0	21,0	7,9	8,0	40,5	0,460
		51,9	1,3	69,6	16,5	12,6	8,8	35,2	0,053
		52,3	0,1	57,3	0,9	41,7	8,0	28,4	0,027
		52,6	0,1	57,3	0,9	41,7	9,5	33,3	0,072
		53,0	—	—	—	—	8,8	—	0,058
		53,5	0,3	2,7	55,6	41,4	8,0	35,5	0,353
		54,4	0,3	11,5	66,0	22,2	7,0	—	—
		55,2	0,5	19,2	46,1	34,2	8,8	21,2	0,011
		55,4	6,1	8,0	57,0	28,9	8,3	15,9	0,131
		55,5	6,0	0,2	84,2	9,6	—	—	0,036
		55,6	0,1	0,5	58,7	40,7	8,0	—	0,033
		55,7	0,1	0,5	65,0	34,4	32,0	33,3	—
		56,1	2,4	14,9	50,1	32,6	35,6	25,6	0,178
		56,5	9,7	14,8	45,2	30,3	8,3	33,2	0,237
		57,1	2,2	32,4	54,9	10,5	9,3	26,4	—
		57,7	0,5	28,0	40,2	31,3	18,1	29,3	0,983
		58,9	5,4	30,2	48,7	15,7	13,0	30,1	0,114
		59,0	—	—	—	—	—	—	—
		60,3	—	—	—	—	—	—	—
		61,7	1,7	4,9	45,5	47,9	7,5	29,9	0,068
		61,9	0,2	3,5	53,8	42,5	5,8	38,5	0,341
		62,1	0,8	28,9	48,6	21,7	7,0	35,3	0,250
		62,4	0,7	7,2	68,4	23,7	17,8	36,4	0,330
		62,4	—	—	—	—	—	—	0,412
		62,9	—	—	—	—	—	—	0,015
		63,1	1,6	1,3	57,4	39,7	9,5	33,5	0,043
		63,3	0,1	4,8	64,7	30,4	8,7	30,7	0,124
		63,8	0,3	5,4	50,5	43,8	9,2	21,9	—
		64,3	—	—	—	—	—	—	—
		64,4	0,2	22,3	29,7	47,8	10,0	32,2	0,287

## ОГЛАВЛЕНИЕ

Предисловие . . . . .	5
Введение . . . . .	8
Краткая характеристика кирмакинской свиты Апшеронского полуострова .	13
Коллекторские свойства пород кирмакинской свиты по данным исследования образцов из скважин . . . . .	15
Площадь о-в Артема . . . . .	15
Площадь Бузовны . . . . .	20
Площадь Кала . . . . .	28
Площадь Сураханы . . . . .	30
Площадь Балаканы—Сабунчи—Раманы . . . . .	34
Площади Бинагады, Чахнагляр, Сулутепе . . . . .	42
Площадь Бибиэйбат . . . . .	48
Коллекторские свойства пород кирмакинской свиты по данным исследования образцов естественных обнажений . . . . .	52
Площадь о-в Артема . . . . .	52
Площадь Кирмакинская долина . . . . .	54
Площадь Кейрекишор . . . . .	57
Площадь Коби . . . . .	61
О возможности использования кривой зависимости проницаемости от содер- жания фракции $< 0,01 \text{ м.м}$ для определения проницаемости пород кирмакинской свиты Апшеронского полуострова . . . . .	62
Некоторые соображения об изменении свойств пород коллекторов кирмакин- ской свиты Апшеронского полуострова . . . . .	65
Выводы . . . . .	69
Литература . . . . .	74
Приложение . . . . .	75

Редактор издательства *В. И. Долгов*

Тех. редактор *М. И. Певзнер*

Корректор *Ж. Н. Волкова*

Подписано к печати 1/XII 1956 г.  
Формат бум.  $70 \times 92\frac{1}{16}$  = 4,75 бум. Печ. лист.  
8,77. Уч.-изд. лист 10,73 + 2 вклейки.  
ФГ 19960. Тираж 500. Заказ 341.  
Цена 10 руб. 35 коп.

Типография „Красный Восток“  
Министерства культуры  
Азербайджанской ССР.  
Баку, ул. Ази Асланова, 80.

АЗЭРБАЙЧАН ССР ЭЛМЛЭР АКАДЕМИЯСЫ  
*Нефт экспедициясы*

А. Н. ЭЛИЕВА, Л. В. МИНЗБЕРГ, Л. А. НИКОЛАЕВА  
АБШЕРОН ЯРЫМАДАСЫ КИРМАКИ ЛАЙ ДЭСТЭСИ  
СУХУРЛАРЫНЫН КОЛЛЕКТОР ХҮССИЙЁТЛЭРИ

Азәрбайчан ССР Элмләр Академиясы Нәшрийаты  
Бакы — 1956

#### ОПЕЧАТКИ

Стр.	Строка	Напечатано	Следует читать
11	св. 8	Один	Одним
11	св. 24	имеют проницаемостью	имеют проницаемость
11	сн. 13	кололок	колонок
13	сн. 4	глауколит	глауконит
14	св. 19	ставролитом	ставролитом
14	св. 23	330 м	330 м
18	табл. 3, сн. 9	35,8	5,8
20	св. 1	продколлекторов	пород коллекторов
46	сн. 9	района табл. (в %)	района (в %)
52	сн. 10	(100—16,0%)	(10,0—16,0%)
54	св. 13	классический	классический
66	сн. 23	обнаружений	обнаружений
74	сн. 8	Алиева А. Г.	Алиев А. Г.
120	сн. 5	А. Н. Элиева	А. Н. Элиев

Заказ 341